

الجمهورية الجزائرية الديمقراطية الشعبية

République Algérienne Démocratique et Populaire

وزارة التعليم والبحث العلمي
Ministère de l'Enseignement et de la Recherche Scientifique

ECOLE NATIONALE POLYTECHNIQUE

المدرسة الوطنية المتعددة التقنيات
BIBLIOTHEQUE — المكتبة
Ecole Nationale Polytechnique

DEPARTEMENT GENIE HYDRAULIQUE

PROJET DE FIN D'ETUDES

pour l'obtention du diplôme d'ingénieur d'état

SUJET

**Etude de Faisabilité d'un
Barrage sur l'Oued Mellegue**

W. de Tébessa

12 PLANCHES

Proposé par :

D. G. I. H.

Etudié par :

Mr ANNAD Djamel

dirigé par :

Mr MOULOUDI Y.

Mr BENNECER Med Cherif

PROMOTION JANVIER 1986

الجمهورية الجزائرية الديمقراطية الشعبية

République Algérienne Démocratique et Populaire

«O»

وزارة التعليم والبحث العلمي

Ministère de l'Enseignement et de la Recherche Scientifique

«O»

ECOLE NATIONALE POLYTECHNIQUE

«O»

المدرسة الوطنية المتعددة التقنيات
BIBLIOTHEQUE — المكتبة
Ecole Nationale Polytechnique

DEPARTEMENT GENIE HYDRAULIQUE

PROJET DE FIN D'ETUDES

pour l'obtention du diplôme d'ingénieur d'état

SUJET

**Etude de Faisabilité d'un
Barrage sur l'Oued Mellegue**

W. de Tébessa

Proposé par :

D. G. I. H.

Etudié par :

Mr ANNAD Djamel

dirigé par :

Mr MOULOUDI Y.

Mr BENNECER Med Cherif

PROMOTION JANVIER 1986

1. 1. 1. 1. 1. 1. 1. 1.

0000000 D T D T C A C F S 0000000

-0-0-0-0-0-0-0-0-



- Je dédic ce modeste travail à :

- Ma mère
- Mon père
- Mes frères , ma soeur
- Toutes la famille
- Mes grandos-mères (paternelle,maternelle)

ANNAAD Djamel
-0-0-0-0-0-0-

- T -

0000000 DEDICACES 0000000

-0-0-0-0-0-0-0-0-0-



- Je dédie ce modeste travail à :

- Ma mère
- Mon père
- Mes frères et soeurs
- toutes la famille
- Ma future épouse

RENNACER M^{ed} cherif
-0-0-0-0-0-0-0-0-0-0-

00000000 ~ REMERCIEMENTS ~ 00000000

Nous Tenons à remercier :

المدرسة الوطنية المتعددة التقنيات
BIBLIOTHEQUE — المكتبة
Ecole Nationale Polytechnique

- Tous les professeurs et responsables ayant contribué à notre formation .
- Notre promoteur M^r MOULOUDI YAVIA , pour ces conseils et ces orientations .
- M^r AMRANE "ingenieur à la D.G.T.E " pour son aide et ces conseils
- Toutes personnes ayant contribué à l'élaboration de cette these .

0000000 SOMMATRES 0000000

المدرسة الوطنية المتعددة التقنيات
BIBLIOTHEQUE —
المكتبة —
Ecole Nationale Polytechnique

Introduction

I^{ere} PARTIE

--Représentation géographique

1- localisation

2- relief

II^{eme} PARTIE

-- Etude hydrologique

1 - sources des apports

2 - caractéristiques des stations d'observations

3 - climats

 3.1 - caractéristiques climatiques

 3.2 - évaporation et perte par évaporation

4 - précipitations

 4.1 - précipitation moyenne annuelle

5 - pluies maximales journalières

6 - conclusion sur les précipitations

7 - caractéristiques du bassin versant

 7.1 - courbe hypsométrique

 7.2 - caractéristiques de formes

8 - caractéristiques du réseau hydrographique

9 - caractéristiques volumétriques de la retenue

10 - apport liquide

11 - approche des crues

12 - érosion hydrique

13 - envasement

14 - régularisation

15 - laminage des crues

TIT^{OME} PARTIE

- Etude technique de l'ouvrage

- 1 - généralité
- 2 - étude géologique
- 3 - conception du barrage
- 4 - réseau d'écoulement
- 5 - étude de la stabilité de l'ouvrage

IV^{OME} PARTIE

- Ouvrages annexes

- 1 - dérivation provisoire
- 2 - évacuateur de crues
- 3 - vidange rapide
- 4 - prise d'eau

V^{OME} PARTIE

- Coût-Estimation

المدرسة الوطنية المتعددة التقنيات
BIBLIOTHEQUE —
المكتبة —
Ecole Nationale Polytechnique



0000000 PLANCHES 0000000
.....

- Coupe geologique de la cuvette n° 1
- Determination graphique de la lame deversée n° 2
- Schéma d'étude de la stabilité n° 3
- Profil transversal de la digue en terre n° 4
- Vue en plan du barrage n° 5
- Coupe transversale de la derivation provisoire n° 6
- Coupe transversale de la tour de prise d'eau n° 7
- Coupe longitudinale de la tour de prise d'eau n° 8
- Profil longitudinal de l'évacuateur de crues n° 9
- coupes transversales de la digue n° 10

— INTRODUCTION —

Dans le cadre de l'utilisation rationnelle des ressources en eau du territoire national, pour répondre aux besoins de la région en eau potable, la direction générale des infrastructures hydrauliques s'est engagé pour la réalisation de plusieurs retenues proposées sur les oueds "MEDJERDA" et "MELLEGUE".

Cette présente thèse, traite une étude de faisabilité d'un barrage sur l'oued MELLEGUE.

Ce dernier est l'un des plus grands oueds de la wilaya de "TIPASSA". Son bassin versant limité à la frontière tunisienne est supérieur à 5000 km^2 .

L'ouvrage aura pour but la lutte contre l'érosion hydrique des terres, causée par les violentes crues et fera face aux besoins de la ville de "OUANZA" en eau potable.

Cependant, aucun besoins spécifiques pour l'irrigation n'a été mentionné.

I. REPRESENTATION GEOGRAPHIQUE

1. Localisation

Le site du barrage oujdjet est situé dans l'ample vallée de l'oued MITTRAGUE qui coule vers le nord-ouest à 10 km environ de la ville "BOUAZZA".

Le site se localise à l'endroit où se retrécit la vallée là où le côté du fond de l'oued se trouvant à une altitude de 540 m , et les appuis s'élevant à une altitude de 580 m de chaque côté des rives .

Pien qu'on trouve une depression de 560 m d'altitude situé dans la rive gauche de l'oued .

Le site proposé possède les coordonnées géographiques en unité Lambert suivants :

$$X = 980,40$$

$$Y = 310,58$$

$$Z = 540,00$$

2. Relief

Dans la cuvette du barrage , ne tombe aucune communication telle que voie ferrée ou routes , de même aucune agglomération n'est immergée.

Par conséquent , du point de vue relief , la réalisation du barrage ne créera aucune complication .

II. ETUDE HYDROLOGIQUE

1. SOURCES DES APPORTS

L'oued Mellegue reçoit les apports de deux oueds importants (l'oued Meskiana et l'oued Chabra)

La vallée de l'oued Meskiana est représentée par le sous bassin, sud ouest de l'oued Mellegue

La vallée de l'oued Chabra est représentée par le sous bassin , sud-est de l'oued Mellegue

La vallée de l'oued Mellegue est située au sud d'el-aouinet

La présence de huit stations d'observations au niveau du bassin versant, nous permet d'obtenir l'apport réel de l'oued

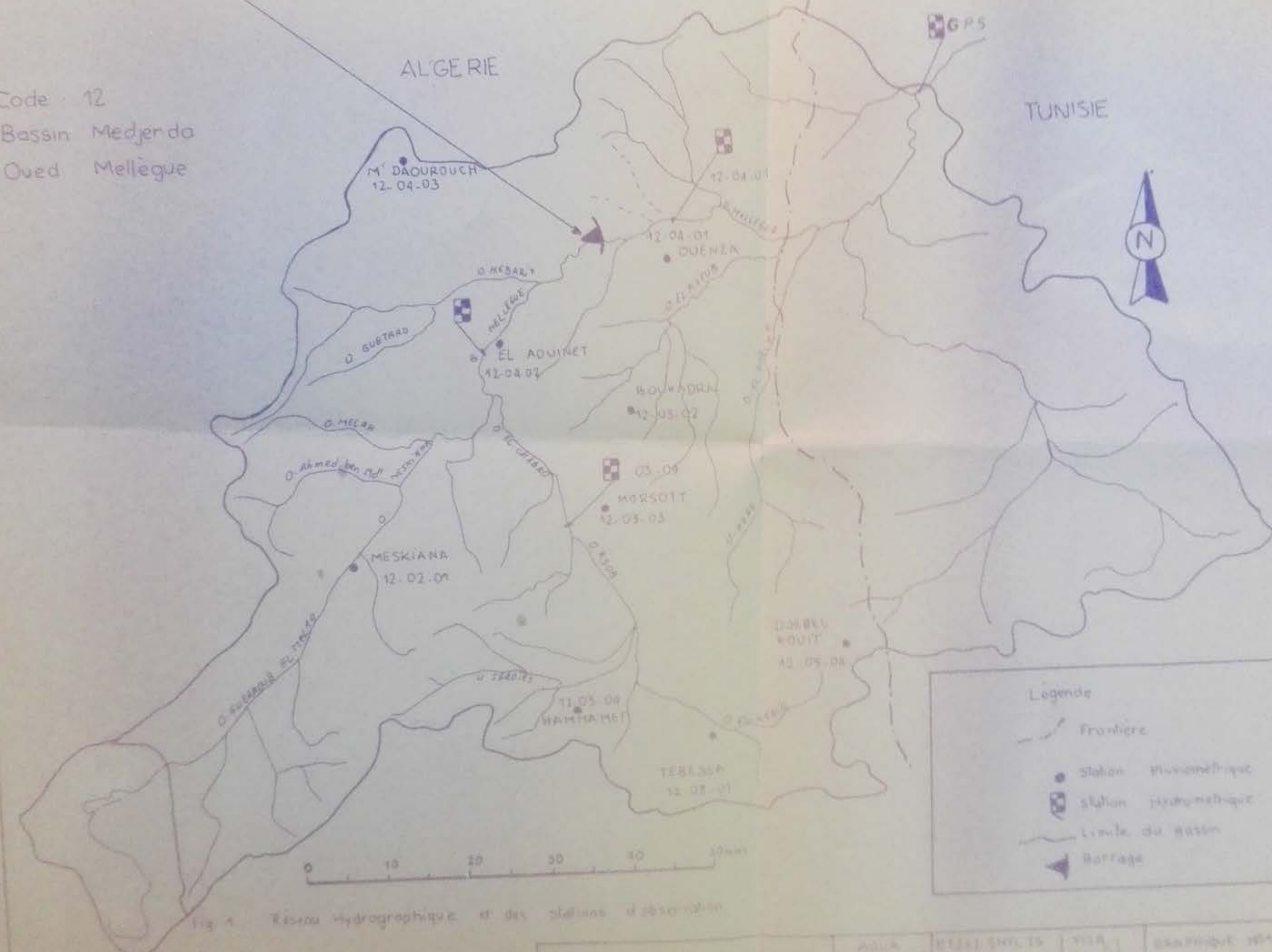
La densité des stations d'observations dans le bassin versant est de 2 stations par 1000 km^2 (voir la figure n°1)

2. CARACTERISTIQUES DES STATIONS D'OBSERVATIONS

Codes	Stations	Altitudes (m)	Type de la station
12.04.01	Ouanza	480	Hydrom-pluviom
12.07.03	Morsset	778	Hydrom-Pluviom
12.07.02	Ouadhadra	885	Pluviométrique
12.02.01	Meskiana	860	Pluviométrique
12.02.06	Risbel-katif	1064	Pluviométrique
12.04.02	Midourcuch	870	Pluviométrique
12.01.02	El-aouinet	654	Hydrom-Pluviom
12.03.06	Ammoumet	880	Pluviométrique
12.03.01	Abesssa	850	Pluviométrique

La localisation de ces stations est donné par la figure n° 1

PH 003 86
Avant p. 4



3. CLIMAT

3.1 - caractéristiques climatiques

Le bassin versant de l'oued Mellegue est domine par un climat de hautes plaines telliennes , caractérisé par des températur moyennes comprises entre 15° et 16° ,et par un regime continental.

La majeure partie du bassin versant appartient à une zone de tendance semi-aride à aride .

L'hygrometrie de l'air varie de 65% en hiver à 35 % en été le sirocco est assez fréquent en été , souflant pendant 50 jours par an au maximum , mais en moyenne 16 jours par an .

Les parametres climatiques sont donnees par le tableau suivant

Parametres	Mois de l'année											
	S	O	N	D	J	F	M	A	Ma	Ju	Jui	Ao
Nombre de jours de pluie	5	5	6	7	8	7	7	6	6	4	3	3
Températures moyennes °c	23	16	11	7	6	7	10	14	18	23	27	26
Nombre de jours de gelé	0	0	1	6	6	4	2	0	0	0	0	0
Humidité relative	50	57	66	67	67	63	55	46	48	41	36	39
Intensité des vents	16	19	19	28	20	23	21	21	21	20	21	17
Nombre de jours de sirocco	1	1	0	0	0	0	1	1	2	3	5	2

3.2 - Evaporation et perte par évaporation

au niveau du bassin versant , on dispose d'une station de mesure de l'évaporation du type bac - colorado. cette station peut-être considerer assez representative , puisqu'elle se situe à une altitude moyenne de 860 m, et possede une durée d'observation de 18 années . Les valeurs de l'évaporation sont données ci-dessous

Evap (mm)	Mois												total
	S	O	N	D	J	F	M	A	Ma	Ju	Jui	Ao	
Maxi-	312	200	113	99	93	194	295	216	269	455	192	382	2769
Moy-	206	126	71	50	49	71	122	149	203	278	347	279	1951
Mini-	151	89	37	21	17	39	43	79	131	197	215	200	1378

Pour obtenir l'évaporation au niveau de la retenue, on utilise un coefficient de réduction égale à 0,8.

L'évaporation en fonction des fréquences est caractérisée par les données qui suivent :

fréquences	évaporation (mm) au bac	évaporation (mm) à la retenue
0,001	3380	2700
0,01	2936	2350
0,1	2134	1950
0,5	1951	1500

L'évaporation à la retenue dépasse deux mètres en hauteur d'eau en cas de sécheresse. Les pertes par évaporation sont estimées à 20% en moyenne de l'apport retenue dans le barrage.

4. Precipitations

a.1- precipitation moyenne annuelle

a) utilisation des cartes pluviométriques

Parmis les cartes pluviométriques les plus couramment utilisées, il y a celle de "chaumont" et celle de "gaussen" (1950, 1971).

L'utilisation de ces cartes, nous donnent les résultats suivants

Cartes	Precipitations moyennes annuelles (mm)	
	station G.P.5	site du barrage
Gaussem	411	386
Chaumont		375

La station G.P.5 se trouve en territoire tunisien, ayant une surface de 9140 km^2 . La carte de Gaussem couvre une partie importante du territoire tunisien; contrairement à celle de Chaumont. De ce principe les valeurs obtenues par la carte de Gaussem présentent plus de précision.

b) utilisation des données de mesures

La répartition des précipitations mensuelle est représentées par le tableau suivant. Notons que la moyenne arithmétique des données de mesures est évaluée à : $\bar{P} = 385 \text{ mm}$

Répartition mensuelle et Annuelle des précipitations (mm)

STATIONS	Mois												TOTAL (mm)
	S	O	N	D	J	F	M	A	Ma	Ju	Jui	AO	
TEBESSA	32	59	28	30	31	23	36	35	39	32	10	12	337
	9	9	8	9	9	7	11	10	12	9	3	4	100%
MESHIANA	36	35	27	33	32	35	44	36	44	32	13	16	383
	9	9	7	9	8	9	12	10	12	8	3	4	100%
EL-AOUINET	20	37	23	29	34	34	42	43	51	27	9	19	368
	6	10	6	8	9	9	12	12	14	7	2	5	100%
DJEBEL-KUIF	45	47	47	38	38	29	48	40	50	21	12	25	440
	10	11	11	9	7	6	11	9	12	5	3	6	100%
OUANZA	30	43	29	36	36	31	39	47	42	35	16	22	406
	7	10	7	9	9	8	10	12	10	9	4	5	100%
BOU-MHADRA	28	38	26	34	28	24	40	51	43	28	11	22	373
	8	10	7	9	8	6	10	14	12	8	3	5	100%
MORSOTT	55	57	62	40	40	26	35	62	56	36	15	32	516
	11	11	12	8	8	7	5	12	11	7	2	6	100%
MDAOUROUCH	23	44	38	45	66	46	58	63	47	25	13	19	487
	5	9	8	9	14	9	12	13	10	5	3	4	100%

c) utilisation de la méthode de "Thiessen"

La méthode de "Thiessen" est définie par l'application de la formule suivante :

$$\bar{P} = \frac{\sum p_i \cdot s_i}{\sum s_i}$$

p_i : précipitation moyenne de la station i (mm)

s_i : surface élémentaire i (km^2)

\bar{P} : précipitation moyenne annuelle (mm)

données de base :

n°	surfaces (km^2)	précipitations moyennes (mm)
1	60	300
2	360	520
3	230	261
4	1040	322
5	400	370
6	360	330
7	130	404
8	440	490
9	620	368
10	276	138
11	90	121

Les résultats obtenus par l'application des différents procédés sont les suivants :

Procédés	Précipitations moyennes annuelles (mm)
carte de Gaußen	386
carte de Chaumont	375
formule de Thiessen	380
moyenne arithmétique	385

Pratiquement, les valeurs obtenues sont assez stables. Pour la suite de notre étude, on adopte la valeur suivante :

$$\bar{P} = 386 \text{ mm}$$

5. PLUIES MAXIMALES JOURNALIERES

L'analyse de la stabilité des paramètres caractérisant les pluies maximales journalières en fonction de leurs fréquences et de leurs durées d'observations à partir des lois d'ajustements nous donne les résultats suivants

Lois	Cumbel	Pearson III	Gatton III
Fréquence	0,1 0,01 0,001	0,1 0,01 0,001	0,1 0,01 0,001
stations			
Tebessa	52	78 105 50 74 96	50 79 113
Djebel kouif	72	119 164 65 106 146	70 119 165
Rou-khadra	73	119 164 70 118 165	67 125 200
Ouanza	57	84 111 54 72 87	55 75 93
Yammamet	63	100 132 57 81 102	58 85 113
Midaourouch	63	100 136 60 96 129	59 92 128
Morsott	61	95 129 56 81 109	56 82 110
Meskiana	68	113 156 66 112 158	64 117 183

Parmis ces paramètres on retient pour la suite de notre étude ceux obtenus par la loi de Cumbel

Fréquence	0,1	0,01	0,001
Pluies journalières maximales (mm)	73	119	164

6. CONCLUSION SUR LES PRÉCIPITATIONS

Les résultats de calcul des précipitations au niveau du bassin versant, montrent que la zone est moyennement arrosée la moyenne interannuelle de la précipitation est de

$$\bar{H} = 386 \text{ mm}$$

7. Caractéristiques du bassin versant

7.1 - courbe hypsométrique

Les altitudes maximales et minimales sont respectivement :

1583 m; 540 m. La superficie totale du bassin versant est de :

$S = 4006 \text{ km}^2$. Son hypsometrie est déterminée par les données suivantes

n°	Altitudes (m)	Surfaces partielle (km^2)	Surfaces cumulées (km^2)	% partiels	% cumulés
1	540-560	1040	1040	26	26
2	560-580	620	1660	15,5	41,5
3	580-600	440	2100	11	52,5
4	600-620	400	2500	10	62,5
5	620-640	360	2860	9	71,5
6	640-660	360	3220	9	80,5
7	660-680	270	3490	6,9	87,4
8	680-700	230	3720	5,7	93,1
9	700-720	130	3850	3,2	96,3
10	720-740	90	3940	2,2	98,5
11	740-760	60	4000	1,5	100,0

La courbe hypsométrique est représentée par le graphe qui suit.

7.2 - caractéristiques de forme

Les paramètres de formes définissant le bassin versant de l'oued Mellegue sont les suivants :

7.2.1 - coefficient de compacité

D'après la formule de "GARAUET TUS" on a :

$$K = \frac{P}{2\sqrt{\pi \cdot S}} \approx 0,28 \cdot \frac{P}{\sqrt{S}}$$

P : périmètre du bassin versant (km)

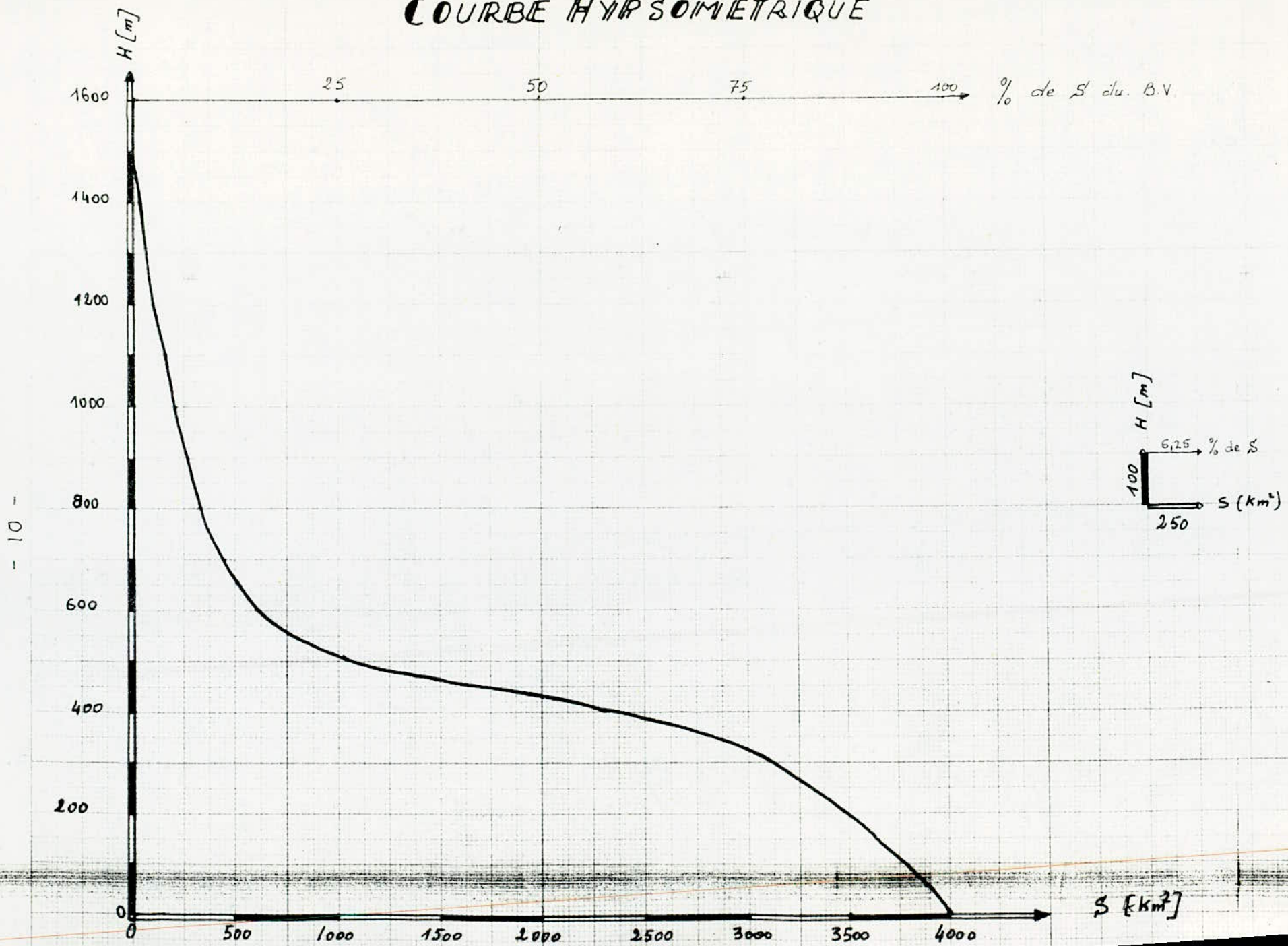
S : surface du bassin versant (km^2)

7.2.2 - rectangle équivalent

Le rectangle équivalent est donné par l'expression mathématique suivante :

$$\frac{L}{l} = \frac{k \cdot \sqrt{S}}{1,12} \cdot \left(1 \pm \sqrt{1 - \left(\frac{1,12}{k} \right)^2} \right)$$

COURBE HYPSOMETRIQUE



L : longueur équivalente (km)

l : largeur équivalente (km)

K : indice de compacité

7.2.3- Indice de pente

$$P = \frac{\Delta}{L}$$

$$= Alt. 5\% - Alt. 95\%$$

8. CARACTÉRISTIQUES DU RESEAU HYDROGRAPHIQUE

8.1- Densité de drainage

$$D_d = \frac{\sum L_i}{S}$$

$\sum L_i$: longueur de tous les talwegs de la superficie du bassin versant (km)

S : superficie du bassin versant (km^2)

8.2- coefficient de torrentialité

$$C_t = D_d \cdot F$$

D_d : densité de drainage

F : coefficient de drainage $F = \frac{N}{S}$

N : nombre de drains suivant la classification de HORTON

S : superficie du bassin versant (km^2)

8.3- Temps de concentration

Pour caractériser la dynamique du bassin versant de l'oued mellègue , on détermine le temps de concentration à l'aide de la formule de STANDOTT , qui est valable pour notre bassin versant.

$$T_c = \frac{4\sqrt{S} + 1,5 \cdot L}{0,8 (H_{moy} - H_{mini})^{1/2}}$$

S : superficie du bassin versant (km^2)

L : longueur du talweg (km)

H_{moy} : altitude moyenne du bassin versant (m)

H_{mini} : altitude minimale du bassin versant (m)

PARAMETRES HYDROGRAPHIQUES ET GEOMORPHOLOGIQUES
DU BASSIN VERSANT DE L'OUED MELLEGUE

TYPES DE PARAMETRES	UNITÉ	SITE DU DÉPARTEMENT
Superficie du bassin versant	$s : (\text{km}^2)$	4006
Périmètre du bassin versant	$p : (\text{km})$	280
Coordonnées	Lambert	$X = 980,40$ $Y = 310,58$ $Z = 540,00$
Altitudes	Max Moy Min	$\pi_{\max} : (\text{m})$ 1583 $\pi_{\text{moy}} : (\text{m})$ 845 $\pi_{\min} : (\text{m})$ 540
Tonqueur du talweg principal	$L : (\text{km})$	116
Tonqueur du rectangle équivalent	$L : (\text{km})$	99,9
Indice de compacité	$K : _$	1,33
Coefficient de torrentialité	$c_t : _$	30,30
Densité de drainage	$n_d : (\text{km}^{-1})$	3,98
Temps de con centration	$T_c : (\text{heure})$	31,0

9. CARACTÉRISTIQUES VOLUMÉTRIQUES DE LA RETENUE

9.1- variation du volume et de la surface en fonction de la hauteur

Les surfaces correspondantes à chaque altitude, sont déterminées par planimétrie : \mathcal{A}_{pi}

Les surfaces élémentaires correspondantes à chaque couche sont :

$$\mathcal{A}_{e_1} = \frac{2}{3} \mathcal{A}_{p_1}$$

$$\mathcal{A}_{e_{i+1}} = \frac{\mathcal{A}_{p_i} + \mathcal{A}_{p_{i+1}}}{2}$$

Les volumes élémentaires sont obtenus par :

$$\Delta V_1 = \mathcal{A}_{e_1} \cdot \Delta H_1$$

$$\Delta V_{i+1} = \mathcal{A}_{e_{i+1}} \cdot \Delta H_{i+1}$$

ΔH_i : différence de cotes entre deux courbes de niveau
Le volume retenu par chaque couche est déterminé par :

$$V_r = \Delta V_i + \Delta V_{i+1}$$

Cotes (m)	Hauteur (m)	Surfaces de la cuvette			Volumes
		\mathcal{A}_p (km^2)	\mathcal{A}_e	ΔV	V_r
540	0,00	0,00		0,26	0,26
545	5,00	0,40		0,70	1,30
550	10,0	1,0		1,50	4,80
555	15,0	2,0		2,80	12,30
560	20,0	3,65		4,20	26,45
565	25,0	6,15		7,67	50,25
570	30,0	9,20		10,75	89,25
575	35,0	12,25		12,63	143,0
580	40,0	13,0			206,15

200

16

175

14

150

12

125

10

100

8

75

6

50

4

25

2

0

0

COURBES BATHYMETRIQUES

"

ALTITUDESUPERFICIEVOLUME

"

VOLUME [km^3] ↑
 SUPERFICIE [km^2] ↓

surface

VOLUME

540

545 550

555

560

565

570

575

580

ALTITUDE [m]

10. CALCUL DE L'APPORT LIQUIDE

10.1 - Utilisation des formules d'estimations

Il existe plusieurs formules d'estimation de la lame d'eau
ces formules sont généralement liées à des paramètres
climatiques ou hydrologiques.

Pour estimer la valeur de la lame d'eau éculée, on utilise la
formule de SAMIE, valable pour les zones ayant une pluviométrie
qui varie de 300mm à 400 mm.

Étant donné que la pluviométrie du bassin versant de l'oued
Mellegue est voisine de 400 mm, il semble raisonnable de
l'appliquer.

Formule de SAMIE

$$\bar{A} = \bar{P} \cdot (293 - 2,2 \sqrt{S})$$

S : superficie du bassin versant (km^2)

\bar{P} : précipitation moyenne annuelle (m)

\bar{A} : lame d'eau éculée (mm)

Pour avoir une meilleure estimation, l'application de plusieurs
formules s'avère nécessaire, parmi ces formules on a :

Formule de TURC

$$\bar{A} = \bar{P} - D$$

D : déficit d'écoulement moyen (mm)

$$D = \frac{\bar{P}}{(0,9 + \frac{\bar{P}^2}{L^2})^{1/2}}$$

\bar{P} : précipitation moyenne annuelle (mm)

L : coefficient climatique : où (variable thermique)

$$L = 300 + 25T + 0,05 \cdot T^3$$

T : température en °C

Formule de DERY

$$\bar{A} = \frac{0,515 \cdot \bar{P}^{2,684} \cdot D_d^{0,5} \cdot S^{0,842}}{S} \cdot 10^3$$

S : superficie du bassin versant (km^2)

\bar{P} : précipitation moyenne annuelle (m)

\bar{A} : lame d'eau éculée (mm)

Formule dite ALGERIENNE

$$\bar{A} = \bar{P} \cdot \left(1 - 10^{-k \cdot \frac{\bar{P}}{P}} \right)^2$$

k : coefficient qui dépend de la surface du bassin versant

$$k = 0,18 - 0,01 \cdot \ln S$$

\bar{P} : précipitation moyenne annuelle (m)

\bar{A} : lame d'eau éculée (mm)

10.1.1 Fiabilité des formules appliquées

La fiabilité de ces formules est liée à plusieurs facteurs à savoir, climatiques, hydrologiques....etc mais certaines d'entre elles, telle que la formule de SAMTE, et celle de TURC ont été établi à partir d'un grand nombre de bassin versant au niveau du territoire national

10.2 Utilisation des données de mesures

L'estimation des données de mesures de cinq (5) années d'observations au niveau de la station de OUANZA, on donne les résultats suivants

Mois	S	O	N	D	J	T	M	A	Ma	JU	Jui	AO	T
Apports													
10^6 m^3	8,98	12,9	0,64	52,44	8,216,5	12,6	2,9	2,8	0,8	2,60	75,0		

au niveau de la station G.P.5 sur le territoire Tunisien, l'apport moyen annuel est estimé à $\bar{A} = 71 \cdot 10^6 \text{ m}^3$

Les résultats de calculs sont regroupés ci-dessous

Méthodes	Apports moyens annuel mm	10^6 m^3	Notes
Formule de TURC	18	72	$\bar{P} = 375 \text{ mm}$
	18,4	74	$\bar{P} = 386 \text{ mm}$
Formule de SAMTE	21,5	86	$\bar{P} = 375 \text{ mm}$
	23	92	$\bar{P} = 386 \text{ mm}$
Formule de DERRY II	21,5	86	$\bar{P} = 386 \text{ mm}$
	19,9	72,6	$\bar{P} = 375 \text{ mm}$
Formule " ALGERE-II"	17,1	68,4	$\bar{P} = 375 \text{ mm}$
	18,6	74,52	$\bar{P} = 386 \text{ mm}$
Station G.P.5	17,8	71	9 années d'obs
Station "OUANZA"	18,8	75	5 années d'observations

tant donné que les valeurs obtenues présentent une variation assez considérable, on adopte la valeur moyenne annuelle de l'apport estimé par la station G.P.5, puisqu'elle possède une durée d'observation de neuf années. Donc l'apport interannuel sera :

$$A = 71 \cdot 10^6 \text{ m}^3$$

- module de l'écoulement

$$M_e = \frac{A}{T}$$

A : apport moyen interannuel 10^6 m^3
 T : période annuelle $\pi = 31 \cdot 10^6 \text{ s}$

- module de l'écoulement relatif

$$M_r = \frac{M_e}{S}$$

M_e : module de l'écoulement (m^3/s)
 S : superficie du bassin versant (km^2)

Les résultats de calculs sont :

$A (10^6 \text{ m}^3)$	Volume d'eau éoulée (mm)	$M_e (\text{m}^3/\text{s})$	$M_r (1/\text{s} \cdot \text{km}^2)$
71	17,8	2,25	0,56

- coefficient de variation

L'application de certaines formules empiriques, nous permet d'évaluer le coefficient de variation.

a) formule de "SKLOVSKI-CHEVLEV"

$$C_v = 0,78 - 0,291 \cdot \ln M_e - 0,0063 \cdot \ln (S+1)$$

M_e : module de l'écoulement (m^3/s)

b) formule de "PRADOUN"

$$C_v = \frac{0,93}{r} \cdot k$$

k : coefficient de réduction (0,25 à 1)

M_r : module relatif de l'écoulement
 $(1/\text{s} \cdot \text{km}^2)$

c) formule de "UKRIVIPRODHOZ"

$$C_v = \frac{0,7}{M_r}$$

M_r : module relatif de l'écoulement
 $(1/\text{s} \cdot \text{km}^2)$

Résultats de calculs

Formules	SKLOVSKI-CHEVLEV	PRADOUN	UKRIVIPRODHOZ
C_v	0,63	0,63	0,75

La valeur moyenne adoptée est : $C_v = 0,67$

11. APPROCHE DES CRUES

Puisque les pluviométries annuelles sont moyennes, les averses et les crues sont violentes, elles provoquent des dégâts importants dans le bassin versant. Donc, il est intéressant de faire un approche des débits de crues. Pour cela, on utilise plusieurs formules.

11.1- utilisation des abaques

Tes débit de crues obtenus par l'utilisation d'une abaque dite "courbe enveloppe des crues", sont :

Frequencies	0,1	0,01	0,001
Q_{\max} : Débit de crues (m^3/s)	1600	3400	5200
q_{\max} : Débits de crues spécifiques ($l/s.km^2$)	400	850	1300

11.2- utilisation de la formule "MATTHEWS-CHAPMAN"

$$Q_{\max}(p) = 2 \cdot k \cdot \log(1+A \cdot \bar{P}) \cdot \frac{S}{\sqrt{L}} \cdot \sqrt{1+b \cdot \log \frac{1}{1-\bar{P}}} - \log S$$

$Q_{\max}(p)$: débit de crue de fréquence (p) (m^3/s)

\bar{P} : précipitation moyenne annuelle (m)

S : superficie du bassin versant (km^2)

k, A : coefficients, respectivement : topographique et climatique du bassin versant. $k = 2,0$; $A = 22$

L : longueur du talweg (km)

Tes résultats obtenus sont :

Frequencies	0,1	0,01	0,001
Q_{\max} (m^3/s)	/	1420	1950
q_{\max} ($l/s.km^2$)	/	355	488

11.3 - méthode de l'hydrogramme synthétique

Cette méthode permet de calculer les débits de crues instantanés de différentes fréquences. En application de cette méthode, on admet les hypothèses suivantes :

1- l'inverse génératrice de la crue se repartit uniformément sur le bassin versant.

2- la vitesse de transfert de la crue est constante.

3- le pluie efficace peut être calculer à partir d'une réduction de perte par rétention (déficit, évaporation, infiltration)

- vitesse moyenne de transfert

$$v = \frac{L}{T_c} \quad L : \text{longueur de talweg (km)}$$

$$T_c : \text{temps de concentration (heures)}$$

$$v = 1,05 \text{ m/s}$$

- hauteur de la pluie de courte durée ,de fréquence (p)

$$\frac{H_t(p)}{24} = \left(\frac{t}{24} \right)^b \quad b : \text{exposant climatique}$$

$$b = 0,3$$

- intensité efficace de la pluie de durée (t) et de fréquence (p)

$$I_{ef}(t), (p) = \frac{P_{max},(t), (p) - D(t)}{t}$$

$P_{max},(t), (p)$: pluie maximale de durée (t) et de fréquence (p)

$D(t)$: déficit de l'écoulement en fonction du temps, il est estimé à 13,5 mm pour la première heure et augmente de 0,5 mm pour chaque heure qui suit .

- débit maximal de crue instantané

$$Q_{max},(t), (p) = \frac{I_{ef},(t), (p) \cdot S_c}{3,6}$$

$I_{ef},(t), (p)$: intensité efficace de durée (t) et de fréquence (p)

S_c : surface conditionnée (km^2)

La crue maximale observée dans la région en 1969 est de :

$$Q_{max} = 6600 \text{ m}^3/\text{s}$$

Les résultats obtenus par la méthode synthétique sont :

$$Q_{0,1} = 2000 \text{ m}^3/\text{s} ; Q_{0,01} = 4000 \text{ m}^3/\text{s} ; Q_{0,001} = 5900 \text{ m}^3/\text{s}$$

- tableau récapitulatif des différents résultats

Méthodes	Débits de crues maximales (m^3/s)		
	0,1	0,01	0,001
abaque de cheurion	1600	3400	5200
hydrogramme synthétique	2000	4000	5900
Vallot-Boutier	/	1420	1950

RESULTATS. DE LA
METHODE SYNTHETIQUE

durée de l'averse <i>t</i> (h)	$\frac{H_t}{H_{24}}$	Pluie brute (mm)			désficit de la pluie (mm)	Pluie efficace (mm)			fréquence sur 8 h nuelle	Intensité de la pluie efficace (mm/h)			Debits instantanés (m ³ /s)				
		fréquences				fréquences				fréquences			fréquences				
		0,1	0,01	0,001		0,1	0,01	0,001		0,1	0,01	0,001	0,1	0,01	0,001		
1	0,53	38,7	63	87	13,5	25,2	49,5	73,5	16	25,2	49,5	73,5	112	220	327		
2	0,62	45,3	74	102	14,0	31,3	60	88	28	15,65	30	44	122	233	342		
3	0,65	47,5	77,4	106,6	14,5	33	63	92	49	11	21	31	150	286	422		
4	0,68	49,6	81	111,5	15	34,6	66	96,5	92	8,7	16,5	24	733,5	298	613		
6	0,75	54,8	89,3	123	16	38,8	73,3	107	143	6,5	12,2	17,8	258	485	707		
12	0,85	62,0	101	139,4	19	43	82	120,4	1050	3,6	6,8	10	1050	1983	2917		
19	0,92	67,0	109,5	151	22	45	87,5	129	1650	2,4	4,6	6,8	1100	2108	3117		
20	0,94	68,6	112	154	23	45,6	89	131	3220	2,3	4,5	6,6	2000	4000	5900		
24	1,00	73	119	164	25	48	94	139	3360	2,0	3,9	5,8	1867	3640	5413		
27	1,04	76	124	170,6	25	51	99	145,6	3871	1,9	3,7	5,4	1943	3979	5807		
31	1,05	76,65	125	172	25	52	100	147	4006	1,7	3,2	4,7	1892	3361	5230		

Les valeurs obtenues par l'application de la méthode synthétique et par l'utilisation de l'abac de Chaumont sont assez stables.

Par contre la méthode (formule) de Mellet-Cautier semble inexploitable pour notre bassin versant.

Par conséquent, on adopte les valeurs des débits de crues maximales obtenues par la méthode synthétique.

$$Q_{\max,0,1} = 2000 \text{ m}^3/\text{s}$$

$$Q_{\max,0,01} = 4000 \text{ m}^3/\text{s}$$

$$Q_{\max,0,001} = 5900 \text{ m}^3/\text{s}$$

- hydrogramme des crues

La formule de "SOKOLOVSKI", permet par son application l'établissement des hydrogrammes fréquentiels des débits de crues.

- pour la crue : $Q_x = Q_{\max} \cdot \left(\frac{x_1}{t_1} \right)^2$

- pour la décrue : $Q_x = Q_{\max} \cdot \left(\frac{t_2 - x_2}{t_2} \right)^3$

x_1 : interval de temps de la crue (heure)

x_2 : interval de temps de la décrue (heure)

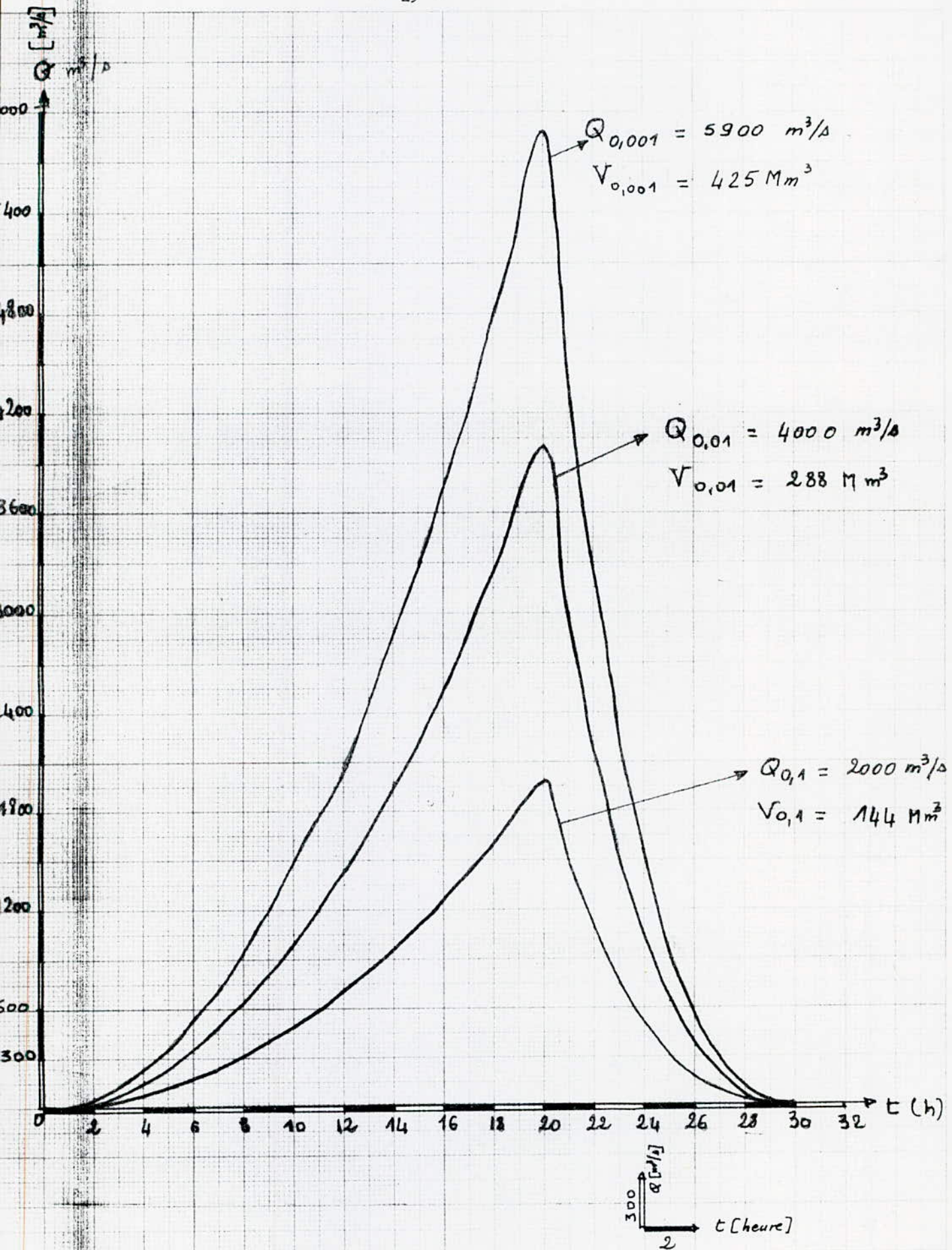
t_1 : temps de monté (heure) $t_1 = 20$ heures

t_2 : temps de baisse (heure) $t_2 = 11$ heures

(voir la représentation graphique)

$t_{(h)}$	Q_i / Q_{\max}	$Q_{0,1} m^3/s$	$Q_{0,01} m^3/s$	$Q_{0,001} m^3/s$
1	0,003	6	12	17,7
2	0,01	20	40	59
3	0,02	40	80	118
4	0,04	80	160	236
5	0,06	120	240	354
6	0,09	180	360	531
7	0,12	240	480	708
8	0,16	320	640	944
9	0,20	400	800	1195
10	0,25	500	1000	1475
11	0,30	600	1200	1785
12	0,36	720	1440	2124
13	0,42	840	1680	2478
14	0,49	980	1960	2891
15	0,5	1120	2240	3304

$t_{(h)}$	Q_i / Q_{\max}	$Q_{0,1} m^3/s$	$Q_{0,01} m^3/s$	$Q_{0,001} m^3/s$
16	0,64	1280	2560	3776
17	0,72	1440	2880	4248
18	0,81	1620	3240	4779
19	0,90	1820	3640	5325
20	1	2000	4000	5900
21	0,75	1500	3000	4425
22	0,55	1100	2200	3245
23	0,38	760	1520	2242
24	0,26	520	1040	1534
25	0,16	320	640	944
26	0,09	180	360	531
27	0,05	100	200	295
28	0,02	40	80	118
29	0,006	12	24	35
30	0,0008	1,5	3	5
31	0	0	0	0



12. Erosion hydrique

La carte d'érodabilité nous montre l'état actuel du bassin versant. celle-ci exprime le degré d'érosion des différentes zones du bassin. cette carte est faite à un échelle de 1/200 000 établie à partir de plusieurs centaines de photographies sérielles elle n'indique pas les types de processus d'érosion, mais montre la présence ou non d'une érosion et traduit celle-ci par une intensité.

l'intensité hydrique pour differente zones est :

Zones	superficie (km^2)	%	Notes
1 ^{ere}	2236	55,8	érosion faible et modérée
2 ^{eme}	1440	36	érosion forte et modérée
3 ^{eme}	330	8,2	érosion très forte

cette classification montre que le bassin versant est soumis à une érosion d'intensité très variées, mais n'empêche que la moitié du bassin est affecté par une érosion assez forte dont 8,2 % de la superficie totale est critique .Par conséquent ,il est nécessaire d'aménager le bassin versant pour la protection du barrage (reboisement ...) .

12.1- calcul du taux d'abrasion

1.1 utilisation des données de mesures

Vue l'immensité de la superficie du bassin versant de l'oued Mellegue ,des prélèvements systématiques concernant le transport solide ont été faite à la station de Cenza, pour une durée d'observation de trois années .

Années	apports			Taux d'abrasion $t/\text{km}^2 \cdot \text{an}$
	Liquides ($\text{M.m}^3/\text{an}$)	Solide $10^6 \text{t}/\text{an}$	Taux d'abrasion $t/\text{km}^2 \cdot \text{an}$	
1972-73	181	5,66		1240
1973-74	28	0,68		148
1974-75	71	2,19		480
moyenne	79	2,85		625

1.2 - Utilisation des formules d'estimations

a- Formule de "TTEYDONT"

Pour que cette formule trouve son application , on admet comme données de base la répartition de la superficie du bassin versant en fonction de sa perméabilité.

$$T_a = 75 \cdot R^{0,15} \quad : \text{valable pour les bassins versants à perméabilité moyennement élevée}$$

R : taux de ruissellement annuel R = 18

$$T_a = 350 \cdot R^{0,15} \quad : \text{valable pour les bassins à perméabilité moyennement faible.}$$

$$T_a = 1400 \cdot R^{0,15} \quad : \text{valable pour les bassins à perméabilité faible.}$$

L'application de ces trois formules et après pondération par les surfaces , nous donne une valeur moyenne de :

$$T_a = 570 \text{ t/km}^2 \cdot \text{an}$$

b - Formule de "FOURNTER"

L'estimation du taux d'abrasion à l'aide de cette formule nécessite l'utilisation des données pluviométriques.

Notamment pour chaque station ,nous avons :

stations	P (mm)	P ² (mm)
Djebel-kuif	96	404
M'daourouch	92	438
Rou-khadra	95	365
Morssott	109	490
Meskiana	85	322
Ouanza	89	421
Tebessa	75	339
Moyenne	92	327

$$T_a = 27,12 \cdot \frac{P^2}{F} - 475,4 \quad : \text{valable pour les bassins versants à relief peu accentué.}$$

où le rapport :

$$\frac{P^2}{F} \gg 17,5$$

$$T_a = 91,78 \cdot \frac{P^2}{\bar{P}} = 737,62$$

valable pour les bassins à relief accentué, ou quand le rapport :

$$\frac{P^2}{\bar{P}} < 17,5$$

P : pluviométrie moyenne des mois les plus arrosés (mm)

\bar{P} : pluviométrie moyenne annuelle (mm)

l'application de ces deux formules, nous donne le résultats suivant

$$T_a = 370 \text{ t/km}^2 \cdot \text{an}$$

- tableau récapitulatif des différents résultats du taux d'abrasion :

Procédés	Taux d'abrasion (t/km ² .an)	Notes
données de mesures	625	sans observations
Formule de Tixeront	570	formule composée
Formule de Fournier	370	formule composée
Moyenne	525	

On adopte pour la suite de notre étude, la valeur suivante :

$$T_a = 500 \text{ t/km}^2 \cdot \text{an}$$

13. Envasement

Pour une période de fonctionnement de 30 années, l'évolution de l'envasement sera donnée par la valeur du volume mort :

$$V_M = \frac{T_a \cdot T \cdot S}{\gamma}$$

T_a : taux d'abrasion (t/km².an)

T : temps de fonctionnement (années)

S : surface du bassin versant (km²)

γ : poids spécifique (t/m³)

- la hauteur correspondante au volume mort est de :

$$h = 26 \text{ m}$$

d'où le niveau du volume mort sera :

$$N.V_M = 540 + 26$$

$$N.V_M = 566 \text{ m}$$

13. REGULARISATION

13. 1 - Etude de la consommation en eau potable

de la ville de QUANZA

La détermination du nombre des consommateurs est très importants en vue de l'évaluation de la quantité d'eau nécessaire.

Pour la période 1977-2000 , le nombre de la population sera déterminé par la formule suivante :

$$N_n = N_0 \cdot \left(1 + \frac{P}{100} \right)^n$$

N_n : nombre de la population future (n= 23 ans)

N_0 : nombre de la population actuelle

$\frac{P}{100}$: taux d'accroissement moyen par année (P = 3,5)

Pour les différentes types de consommations , nous avons établi un tableau, regroupant toutes les données de bases qui permettent l'évaluation des besoins en eau potable de la ville de QUANZA . Les résultats sont obtenus à partir d'une dotation égale à :

150 l/hab/jour .

Les pertes pour chaque secteur sont estimées à 20 %

La dotation attribuée pour les lavages des rues , arrosages est de 30 l/j .

Besoins en eau potable de la ville de "OUANZA"

$$\frac{P}{100} = 3,5\% \quad \text{dotation : } 150 \text{ l/hab/j}$$

Points	Consommateurs	Quantité d'eau par année	
		1977	2000
	Habitants	3 0281	66618
I	Besoins domestiques et communautaires de la population	52,57	115,50
	Pertes (20%) [l/s]	10,51	23,10
	TOTAL	63,08	138,60
II	Industrie (10% du Total du pt I)	6,31	13,86
	TOTAL	69,39	152,46
III	- Lavage des Rues, Arrosages	10,51	23,1
	- Bétails	0,25	0,34
	- Autres besoins	3,00	6,00
	TOTAL [l/s]	13,76	29,44
	- Pertes du Point N° III (20% du total)	2,75	5,89
	total. [l/s]	16,51	35,33
	TOTAL des TOTALS [l/s]	85,90	187,79

- Donc le débit d'alimentation est estimé à :

$$Q_{2000} \approx 188 \text{ l/s} = 0,188 \text{ m}^3/\text{s}$$

13.2 - Determination du volume utile

Le barrage "GULDJET" est destiné à l'approvisionnement en eau potable de la ville de "GUANZA".

Par conséquent, le volume utile est en fonction des besoins de la région en eau.

On notera, qu'aucun besoin spécifique en irrigation n'a été indiqué.

Pour une détermination exacte de la valeur du volume utile on utilise, les procédés suivants :

a) procédé graphique :

A partir de la courbe "surface-capacité" cette courbe bathymétrique : $S_v = f(h)$, on établit les courbes :

$$h = f(v) \quad ; \quad h = f(s)$$

h : hauteur de la digue (m)

s : surface inondée (m^2)

v : volume de la retenue ($10^6 m^3$)

La détermination de la surface inondée moyenne de la retenue :

$$\bar{s} = \frac{\sum s_i}{12}$$

s_i : surface partielle inondée

nous permet de déterminer graphiquement par l'intermédiaire de la courbe $h = f(v)$.

Pour une meilleure interprétation de cette méthode, voir le graphique représentatif qui suit.

b) procédé analytique :

En considérant un taux de régularisation optimal, de l'ordre de 95 % à 96 %, on détermine le volume régularisé de l'apport annuel maximal à la ville de GUANZA.

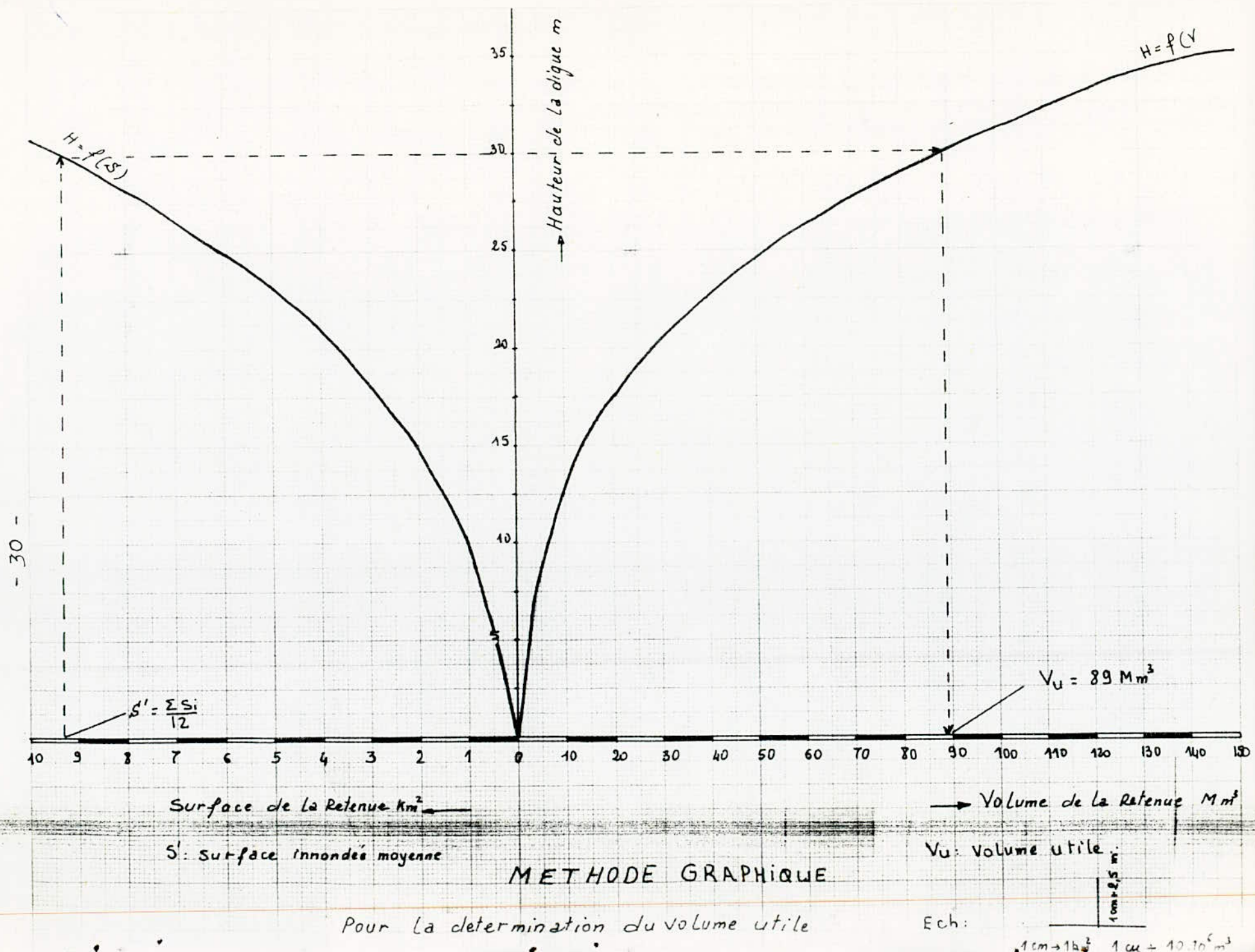
La consommation totale est déterminée en fonction :

- consommation propre à la ville

- consommation à l'amont du barrage de l'ordre : $17.10^6 m^3$ par an, équivalent à un volume mensuel de : $1,42.10^6 m^3$

- pertes par évaporation et par infiltration.

Le volume utile est déterminé par le procédé de calcul suivant



On a , comme données de base :

Mois	Apports (10^6 m^3)	Evaporation mm	Infiltration mm	consommation (10^6 m^3)
S	8,54	312	20,5	0,5
O	51,95	200	21,5	0,45
N	0,74	113	18,3	0,43
D	0,87	99	19,7	0,40
F	4,71	93	18,3	0,40
M	2,88	196	21,3	0,40
M	77,13	295	20,5	0,43
A	24,19	216	18,7	0,45
Ma	1,35	269	11,0	0,45
Ju	1,77	455	10,05	0,50
Jui	0,47	492	25,0	0,50
Ao	4,98	382	20,30	0,50

1°- ayant l'apport du premier mois , on détermine à l'aide de la courbe "APPORTURE-SURFACE" , la surface innondée correspondante :

$$(A_I + A_{i+1}) \cdot s_{i+1}$$

on évalue le volume d'eau évaporé de cette surface innondée par :

$$V_{\text{évp}}_{i+1} = s_{i+1} \cdot E_{\text{vp}}_{i+1}$$

de même pour le volume d'eau infiltré :

$$V_{\text{inf}}_{i+1} = s_{i+1} \cdot T_{\text{nf}}_{i+1}$$

Pour le second mois , la surface innondée est déterminée à partir de l'apport cumulé des deux mois :

$$(A_I + A_{i+1}) \cdot s_{i+1}$$

$$V_{\text{évp}}_{i+1} = s_{i+1} \cdot E_{\text{vp}}_{i+1}$$

$$V_{\text{inf}}_{i+1} = s_{i+1} \cdot T_{\text{nf}}_{i+1}$$

$$(\alpha_i + \alpha_{i+1} + \dots + \alpha_{i+n}) \dots) s_{i+n}$$

$$v_{\text{évp}} = s_{i+n} \cdot v_{\text{vp}}_n$$

$$v_{\text{inf}} = s_{i+n} \cdot t_{\text{nf}}_n$$

- la consommation totale est déterminée par :

$$c_t = v_{\text{évp}} + v_{\text{inf}} + v^t + v^{t+} + v_b$$

$v_{\text{évp}}$: volume évaporé 10^6 m^3

v_{inf} : volume infiltré 10^6 m^3

v^t : volume consommé par la ville 10^6 m^3

v^{t+} : volume consommé à l'amont du barrage 10^6 m^3

v_b : volume régularisé 10^6 m^3

$$v_b = \frac{\text{apport annuel} \cdot \text{Taux}}{12}$$

Le volume de fin du mois est donné par :

$$v_{f_i} = v_{\text{mort}} + \Delta v_i$$

Δv_i : variation du volume mensuel

$$\Delta v_i = \alpha_i - c_{t_i}$$

α_i : apport mensuel

c_{t_i} : consommation total mensuel

$$v_{f_{i+1}} = v_{f_i} + \Delta v_{i+1}$$

$$v_{f_{i+n}} = v_{f_{i+n-1}} + \Delta v_{i+n}$$

Le volume utile sera :

$$v_u = \text{Max} (v_f)$$

$$\text{Taux de Regularisation de } 95\% \Rightarrow V_{\text{Besoin}} = \frac{180,68 \times 95}{100 \times 12} = 14,30 \text{ Mm}^3$$

Mois	Apport M m ³	Surface s Km ²	EVP mm	Infiltration mm	V _{EVP} Mm ³	V _{inf} Mm ³	V _{consom. à l'amont 10cm} m ³	V _{cons. pan ouarenza} Mm ³	Σ Cons A+B+C+D Mm ³	V _B Mm ³	ΔV=Ap-Σc Mm ³	V _{fin du mois} Mm ³	Cotes m
S	9,54	1,40	312	20,50	0,44	0,03	1,42	0,5	2,39	14,30	-7,15	52,85	564,8
O	51,95	7,00	200	21,50	1,40	0,15	"	0,45	3,42	"	34,23	87,08	569,2
N	0,74	7,00	113	18,30	0,79	0,13	"	0,43	2,77	"	-16,33	70,75	567,4
D	0,87	7,00	99	19,70	0,69	0,14	"	0,40	2,65	"	-16,08	54,67	565,2
Ja	4,71	7,40	93	18,30	0,68	0,14	"	0,40	2,64	"	-12,23	42,44	563,2
F	2,88	7,70	196	21,30	1,51	0,16	"	0,40	3,49	"	-14,91	27,53	560,0
Ma	77,13	12,80	295	20,50	3,77	0,26	"	0,43	5,88	"	56,95	84,48	569,0
A	24,29	12,25	216	18,70	2,65	0,23	"	0,45	4,75	"	5,24	89,72	569,6
Mai	1,35	12,20	269	11,00	3,28	0,13	"	0,45	5,28	"	-18,23	71,49	567,6
Ju	1,77	12,30	455	10,05	5,60	0,12	"	0,50	7,64	"	-20,17	51,32	564,8
Jui	0,47	12,30	492	25,00	6,05	0,31	"	0,50	8,28	"	-22,11	29,21	560,2
A	4,98	12,45	382	20,30	4,75	0,25	"	0,50	6,92	"	-16,24	12,97	554,4

$$\text{Taux de Regularisation de } 96\% \Rightarrow V_{\text{Besoin}} = \frac{180,68 \times 96}{100 \times 12} = 14,45 \text{ Mm}^3$$

Mois	Apports Mm ³	Surface S Km ²	Evp mm	Inf mm	\sqrt{A} Evp Mm ³	\sqrt{B} inf Mm ³	\sqrt{C} cons l'umont Mm ³	\sqrt{D} cons ouAN+A Mm ³	Σ Cons. A+B+C+D Mm ³	\sqrt{B} Mm ³	$\Delta V = Ap - \Sigma C$	$\sqrt{f_i}$ fin du mois Mm ³	cotes (m)
S	9,54	1,40	312	20,25	0,44	0,03	1,42	0,50	2,39	14,45	-7,3	52,7	564,6
O	51,95	7,00	200	21,50	1,40	0,15	"	0,45	3,42	"	34,08	86,78	568,8
N	0,74	7,00	113	18,30	0,79	0,13	"	0,43	2,77	"	-16,48	70,30	567,2
D	0,87	7,00	99	19,70	0,69	0,14	"	0,40	2,65	"	-16,20	54,10	565
J	4,71	7,40	93	18,30	0,68	0,14	"	0,40	2,64	"	-12,38	41,7	562,9
F	2,88	7,70	196	21,30	1,51	0,16	"	0,40	3,49	"	-15,06	26,64	559,2
M	77,13	12,80	295	20,50	3,77	0,26	"	0,43	5,88	"	56,80	83,44	568,6
A	24,29	12,25	216	18,70	2,65	0,23	"	0,45	4,75	"	5,09	88,53	569
Ma	1,35	12,20	269	11,00	3,28	0,13	"	0,45	5,28	"	-18,38	70,14	567
Ju	1,77	12,30	455	10,05	5,6	0,12	"	0,50	7,64	"	-20,32	49,82	563,8
Jui	0,47	12,30	492	25,00	6,05	0,31	"	0,50	8,28	"	-22,26	27,56	559,2
A	4,98	12,45	382	20,30	4,75	0,25	"	0,50	6,92	"	-16,39	11,17	553,8

Les résultats obtenus par l'application des deux procédés sont :

- procédé graphique $v_u = 89 \cdot 10^6 \text{ m}^3$
- procédé analytique $v_{u_m} = 89,12 \cdot 10^6 \text{ m}^3$

v_{u_m} : volume utile moyen

Les résultats sont pratiquement identiques, la valeur adoptée du volume utile, pour la suite de notre étude est de :

$$v_u = 89 \cdot 10^6 \text{ m}^3$$

Le niveau de la retenue normal, correspond au niveau des volumes suivants :

$$v_{\text{mort}} + v_{\text{utile}} \quad \left. \right\} N.P.N = 574 \text{ m}$$

correspond à une hauteur de $H = 34 \text{ m}$

14 - Laminage des crues

14.1 - but :

La conception du barrage ainsi que les ouvrages annexes doit répondre à deux critères essentiels, à savoir :

- critères économiques (éviter le surdimensionnement de l'ouvrage)
- critère de sécurité (éviter toutes incidents pendant la mise en service)

14.2 - cause :

La crue de pointe contribuera à l'élevation du plan d'eau d'une hauteur "z", que l'on doit déterminer.

Cette hauteur est nécessaire au dimensionnement du barrage

Le principe se repose sur l'équation différentielle suivante :

$$Q_{\text{ent}}(t) \cdot d(t) = Q_{\text{sort}}(t) \cdot d(t) + A(z) \cdot d(z)$$

$Q_{\text{ent}}(t)$: débit de crue entrant dans la retenue

$Q_{\text{sort}}(t)$: débit sortant (de crue) de la retenue

$A(z)$: surface du plan d'eau correspondant à $d(z)$

$d(z)$: variation de côte du plan d'eau

$A(z) \cdot d(z)$: variation du volume dans la retenue

14.3- méthode de calcul:

En utilisant la méthode de " GRIMMEL " comme base de calcul qui consiste à tracer la courbe $v = f(u)$, à partir de la côte du N.M.P ; et en reproduisant les courbes $v + \frac{u^2}{2} = f(u)$,

$$v + \frac{u^2}{2} \equiv f(u)$$

Par la suite, on trace la courbe $\sigma = f(u)$, en prenant comme hypothèse de départ, la valeur arbitraire de la longueur du déversoir.

Le procédé qui permet de déterminer ces dites fonctions est purement analytique, la formule donnant le débit pour un déversoir est la suivante :

$$Q = L \cdot m \sqrt{2g} u^{3/2}$$

L : longueur du déversoir L = 150 m

m : coefficient de correction du débit m=0;5

$$H_d = H + \frac{V^2}{2g} = H_d : \text{étant la lame déversée (m)}$$

En prenant une variation constante de H_d , on détermine la valeur du débit correspondant, et en considérant un intervalle de temps constant, on obtient la valeur du volume respectif

$$V = Q/2 \cdot \Delta t$$

La représentation graphique est donnée par la planche n°2 les résultats de calcul de la lame déversée sont recapitulés dans le tableau qui suit .

En définitif, les résultats nous donne :

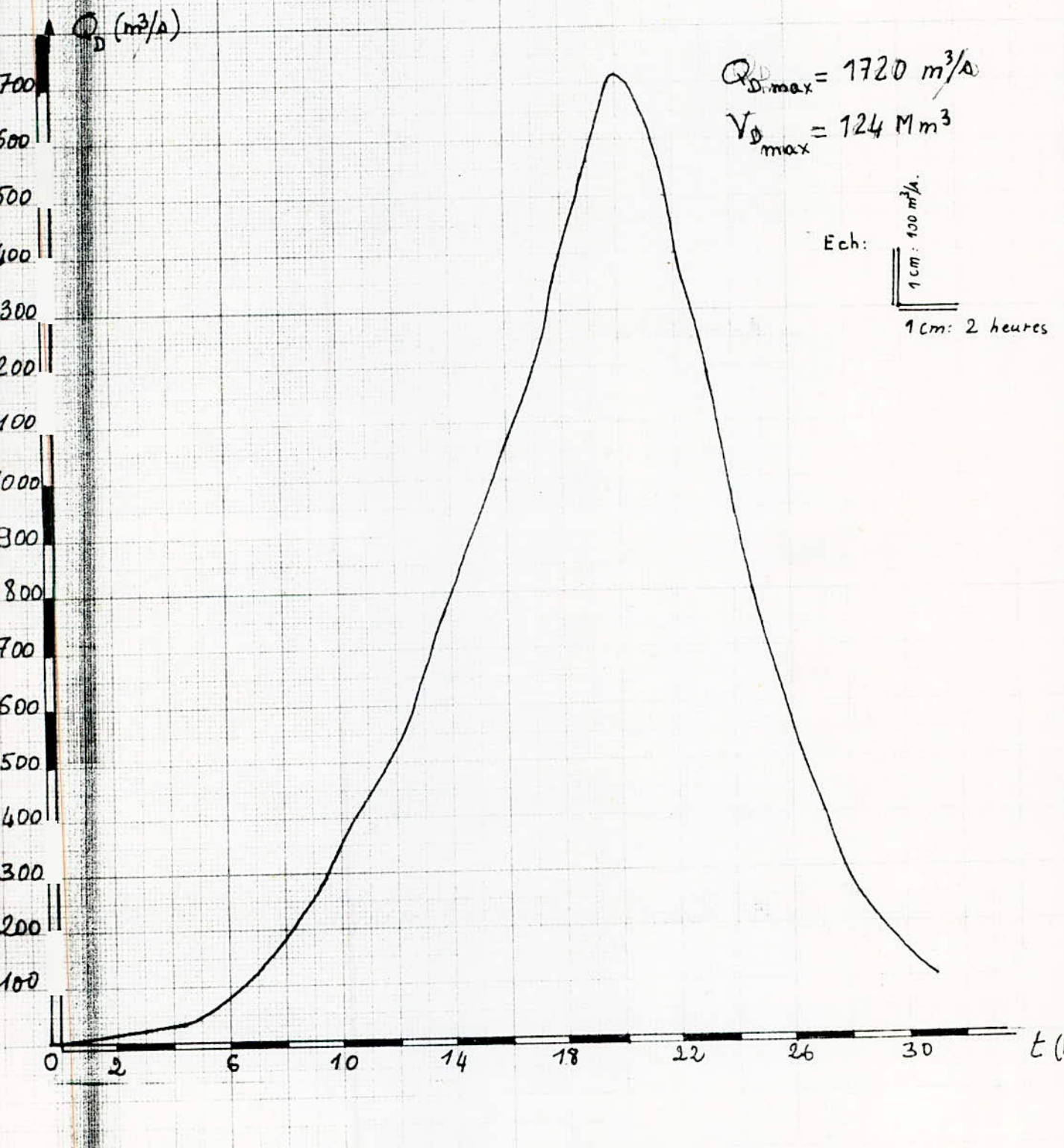
$$H_d = 3,00 \text{ m}$$

$$Q_d = 1720,00 \text{ m}^3/\text{s}$$

DETERMINATION DE LA LAME DEVERSANTE

Temps (h)	Crue (m ³ /s) millénale	Δt (h)	$\Delta V = \frac{Q_i + Q_{i+1}}{2} \Delta t$ 10^6 m^3	debit déversé (m ³ /s)	Hauteur déversée (m)
1	17,00	0 - 1	0,140	10,0	0,02
2	59,00	1 - 2	0,320	14,0	0,04
3	118,00	2 - 3	0,640	20,0	0,08
4	236,00	3 - 4	1,060	30,0	0,15
5	354,00	4 - 5	1,600	490	0,26
6	531,00	5 - 6	2,230	80,0	0,38
7	708,00	6 - 7	2,970	120,0	0,50
8	944,00	7 - 8	3,850	190,0	0,66
9	1195,00	8 - 9	4,810	250,0	0,82
10	1475,00	9 - 10	5,870	340,0	0,93
11	1785,00	10 - 11	7,040	440,0	1,01
12	2124,00	11 - 12	8,280	560,0	1,13
13	2478,00	12 - 13	9,660	650,0	1,22
14	2891,00	13 - 14	11,150	800,0	1,50
15	3304,00	14 - 15	12,740	940,0	1,82
16	3776,00	15 - 16	14,440	1060,0	2,00
17	4248,00	16 - 17	16,250	1160,0	2,30
18	4779,00	17 - 18	18,190	1400,0	2,35
19	5325,00	18 - 19	20,210	1560,0	2,70
20	5900,00	19 - 20	18,600	1720,0	3,00
21	4425,00	20 - 21	13,800	1640,0	2,60
22	3245,00	21 - 22	9,370	1400,0	2,34
23	2242,00	22 - 23	6,800	1200,0	2,04
24	1534,00	23 - 24	4,460	940,0	1,82
25	944,00	24 - 25	2,650	740,0	1,45
26	534,00	25 - 26	1,490	560,0	1,30
27	295,00	26 - 27	0,740	400,0	1,00
28	118,00	27 - 28	0,270	260,0	0,88
29	35,00	28 - 29	0,070	180,0	0,68
30	5,00	29 - 30	0,009	100,0	0,50
34	0,00	30 - 31			

Hydrogramme du débit déversé



TIT. ETUDE TECHNIQUE DE L'OUVRAGE

1. GENERALITE

La conception d'un barrage nécessite des données de bases géologique et topographique.

La connaissance des caractéristiques géotechniques des divers matériaux de constructions , constituant la recharge de l'ouvrage, facilitera le choix et le dimensionnement de celui-ci.

2. ETUDE GEOLOGIQUE

La structure géologique est caractérisée par la présence des alluvions gravilleuses et des argiles .

Au niveau du site , l'oued Mellegue franchit une barre de marno-calcaire cénonien supérieure à 90 m et une série de 100 m de marnes de même étage, sur lequel repose une grande partie du corps du barrage .

Ces couches sont grises et grises foncées, aucune faille n'affecte la régularité des couches .

2.1 - perméabilité

La perméabilité du site est liée à la nature de la roche mère , qui est constituée de marnes.

Les marnes assurent l'étanchéité au niveau de la fondation et à l'aval .

Les marnes possèdent une résistance assez forte ,ils sont imperméables ,par conséquent ils constituent une assise adéquate .

2.2- stabilité du bassin versant

Le relief du bassin versant est conditionné par un caractère typique à celui du site .

Aucune failles et aucun glissement du terrain n'a été enregistré au niveau de la cuvette .

La structure tectonique est calme , le pendage général des lits de la formation conglomeratique s'élève à 12° .. 15° vers l'ouest . Le coefficient dynamique dû au séisme est évalué à :

$$a = 0,15$$

2.3 - choix du type du barrage

Dans un tel choix deux facteurs interviennent, à savoir :

- la topographie du site
- la structure géologique du site

Pour notre site , nous envisageons un barrage en terre zoné , constitué par une recharge d'alluvions et d'un noyau étanche en argiles.

2.4 - caractéristiques géotechniques des matériaux

a) matériaux de recharge : ALLUVIONS (tout-venant)

densité seche	2,2 g/cm ³
densité saturée	2,4 g/cm ³
poids spécifique	2,71
angle de frottement interne	39°
cohesion	0,00 kpa
permeabilité	10 ⁻⁴ m/s

b) matériaux du noyau étanche : ARGILES

densité seche	2,64 g/cm ³
densité saturée	1,72 g/cm ³
poids spécifique	2,64
angle de frottement interne	24°
cohesion	10 kpa
permeabilité	0,6.10 ⁻⁹ cm/s

c) nature de l'assise

Le substratum étant constitué de marnes, donc il constitue une base rocheuse . Les caractéristiques géotechniques de ce substratum sont données par :

densité seche	1,69 g/cm ³
densité saturée	2,05 g/cm ³
poids spécifique	2,70
angle de frottement	24° 19°
cohesion	20kpa
permeabilité	10 ⁻¹⁰ m/s

2.5.. zone d'empreint

Sur un rayon de 10 km au nord-ouest du site , on peut trouver les matériaux de constructions en quantité considérable en pratiquant une excavation de 1 m de profondeur .

3. Conception du barrage

3.1 - dimensionnement de la digue

La hauteur du barrage est déterminée en fonction du niveau du volume maximal de la retenue (V_{Max}).

Cette hauteur est majorée d'une revanche qu'on déterminera en fonction de plusieurs paramètres climatiques.

Notons qu'un décapage de 4 m de profondeur est prévu pour pouvoir y accéder à la roche mère qui est constituée de marnes.

3.1.2 - détermination de la revanche

Par mesure de sécurité, on assure une certaine hauteur dite revanche, entre le niveau d'eau maximal et le couronnement. Cette revanche dépend :

- de l'énergie cinétique $\frac{v^2}{2g}$, correspondante à la propagation des vagues .
- de la hauteur des vagues .
- du tassement résiduel du barrage (naturel ou à des secousses sismiques)
- relâchement du plan d'eau

Pour une meilleure estimation de la valeur de la revanche, on utilise plusieurs formules telles que (formule de Stevenson, de Malitor, ...)

... Formule de "MALTOR"

$$R = 0,7 \cdot h_v + \frac{v^2}{2g} + h_s$$

h_s : hauteur de sécurité dû à l'affaissement du corps

h_v : hauteur des vagues

Cette hauteur est déterminée par plusieurs approches indiquées ci-dessus ; parmi ces formules empiriques, on cite :

--- formule de "STEVENSON"

$$h_v = 0,75 + 0,33L \cdot \sqrt{L} - 0,26 \sqrt[4]{L}$$

L : fetch ou longueur de la retenue (km)

h_v : hauteur des vagues (m)

--- formule de "MAILLET et BACQUANT"

$$h_v = 0,5 + 0,33\sqrt{L}$$

L : fetch (km)

--- formule d' "ANDREANOFF"

$$h_v = 0,0208 \cdot w^{5/4} \cdot L^{1/3}$$

w : vitesse du vent maximale) w = 28 m/s = 100,8 km/h
L : fetch (km)

--- formule de "MAILTOP"

$$h_v = 0,75 + 0,032\sqrt{L \cdot w} = 0,26\sqrt[4]{L \cdot w}$$

w : vitesse des vents (km/h)
L : fetch (km)

La vitesse des vagues est données par :

-- formule de "GATTIARD"

$$v = 1,5 + 2 \cdot h_v$$

v : vitesse des vagues (m/s)
h_v : hauteur des vagues (m)

La valeur de la revanche peut être déterminée, par la formule simplifier suivante :

$$R = 1 + 0,3\sqrt{L}$$

T. LES RESULTATS DE CALCULS : sont données par le tableau qui suit :

Formules	Hauteur des vagues (m)	Revanches (m)
STEVENS	1,06	1,40
MAILLET-BACQUANT	1,16	1,55
ANDREANOFF	1,30	1,76
MAILTOP	1,02	1,35
STMLLET	/	1,60

La valeur moyenne adoptée pour la suite de notre étude est :

$$R = 1,5 \text{ m}$$

3.1.3 - détermination de la hauteur du barrage

La hauteur du barrage est donnée par la relation suivante :

$$H_b = H_c + H_e$$

H_e : hauteur escavée -----) $H_e = h$ m

H_c : hauteur du couronnement du barrage (m)

$$H_c = H + H_d + h'_s$$

H : hauteur correspondante au niveau de la retenue normal

H_d : hauteur deversée

h'_s : hauteur de sécurité -----) $h'_s = R + 1,5$

toute application faite , on a :

$$H_c = 40,00 \text{ m}$$

d'où :

$$H_b = 44,00 \text{ m}$$

3.1.4 - longueur en crete du barrage

La longueur en crete mesurée directement sur plan à l'échelle

1 : 1000 est de :

$$L = 372 \text{ m}$$

3.1.5 - largeur en crete du barrage

La largeur en crete du barrage , depend de la hauteur de celui-ci

La valeur pratique de cette crete, est fonction de son utilité
(route , pont, ... etc)

L'application de plusieurs formules empiriques , nous permet d'estimer correctement la valeur de la largeur de la crete .

- formule de "KNAPEN"

$$b = 1,65 \cdot \sqrt{H_b}$$

b : largeur en crete du barrage (m)

H_b : hauteur du barrage (m)

b) formule de "FREECE"

$$b = 1,1 \cdot \sqrt{H_b} + 1$$

H_b : hauteur du barrage (m)

c) formule empirique

$$b = 3,6 \cdot \sqrt[3]{H_b} - 3$$

H_b : hauteur du barrage (m)

d) formule de recherche

$$b = \frac{H_b}{5} + 3$$

H_b : hauteur du barrage (m)

Les résultats sont reportés dans le tableau suivant :

Méthodes (formules)	KNAPPEUR	FREECE	empirique	recherche
Largeur en crete : b (m)	10,63	7,96	9,32	11,0

On admet une valeur moyenne, estimée à :

$$b = 10,00 \text{ m}$$

3.1.6. Risberme

On a prévu, un risberme de 6 m de large, projeté à une hauteur de 20 m au niveau du talus aval.

Il contribuera à la stabilité de l'ouvrage et servira comme passage.

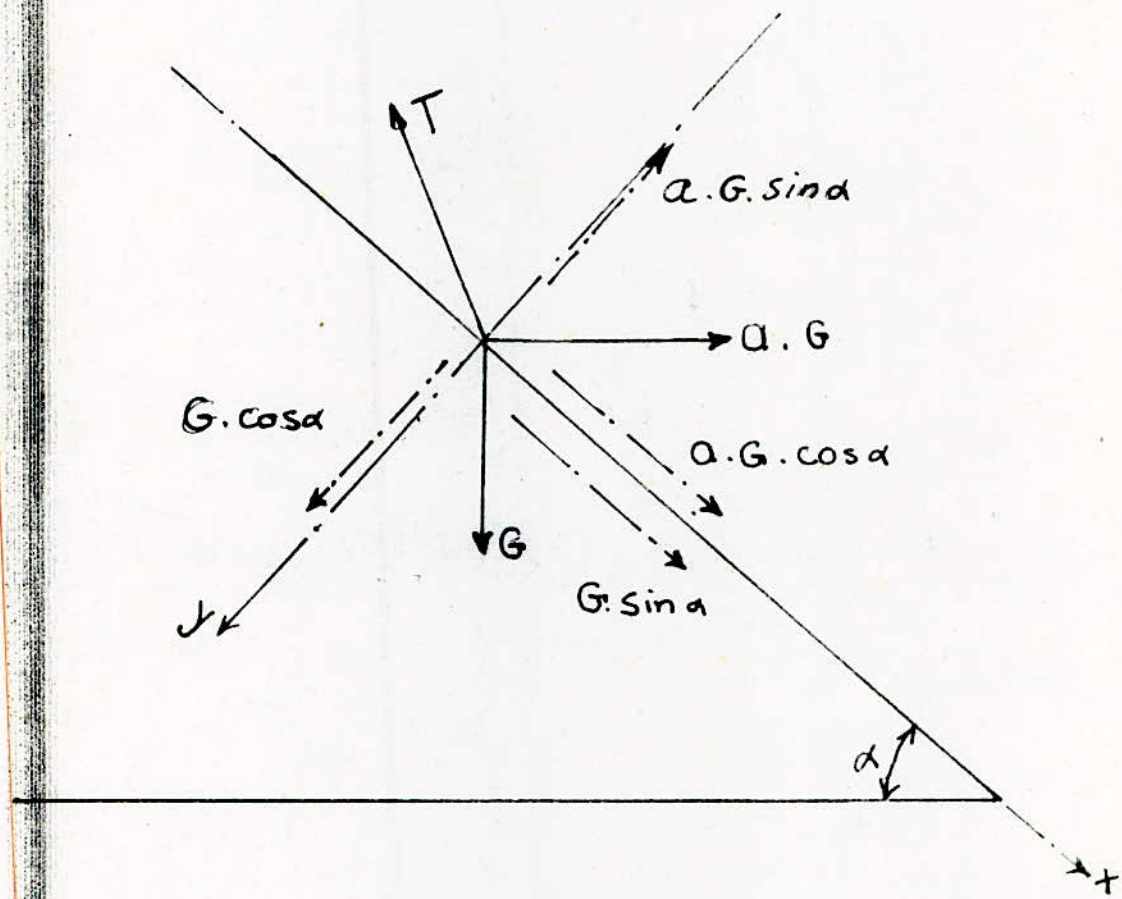
3.2. Pentes des talus

Pour pouvoir faire un choix plus ou moins précis des pentes des talus, on établi un calcul pseudostatique.

Ce procédé repose sur l'étude de la stabilité d'une particule de masse " m' " ($G = m \cdot g$), sur un plan incliné d'angle

L'inventaire des forces qui agissent sur cette particule est représenté par le schéma suivant :

Schema de calcul "Pseudostatique"



La projection de ces forces suivant leurs axes , nous donne :

~ suivant xx' :

$$T_p = G \cdot (\sin\alpha + a \cos\alpha)$$

~ suivant yy' :

$$N = G \cdot (\cos\alpha - a \sin\alpha)$$

La force de frottement correspondante :

$$T = N \cdot f = G \cdot (\cos\alpha - a \sin\alpha) \cdot \operatorname{tg}\varphi$$

... : angle de frottement interne

Pour que la particule soit stable , il faut que la condition suivante soit satisfaite :

$$T \geq F_a$$

$$\text{donc : } G \cdot (\cos\alpha - a \sin\alpha) \cdot \operatorname{tg}\alpha \geq G \cdot (\sin\alpha + a \cos\alpha)$$

Apres une transformation mathematique, nous obtenons l'expression qui determine la valeur du fruit aval :

$$\operatorname{cotg}\alpha = m \geq \frac{1 + 0,15}{\operatorname{tg}39^\circ - 0,15} = \frac{1 + a \cdot \operatorname{tg}\varphi}{\operatorname{tg}\varphi - a}$$

a : coefficient sismique a = 0,15

φ : angle de frottement interne = 39°

en admettant un coefficient de securite , qui depend de la nature des materiaux constituant la racharge du plan incliné

$k = 1,15$ (alluvions)

A.N :

pour talus aval : $m = 2,50$ pente de 1/2,5

$$m_1 = 1,5 \cdot m$$

Alors : $m_1 = 3,75$ pente de 1/3,75

Toute fois , il existe un tableau donnant differentes pentes en fonction des hauteurs et des types des barrages :

Hauteur du barrage	type de barrage	Pentes	
		Amont	Aval
$H_b < 5 \text{ m}$	- homogène à zones	1/2,5 1/2	1/2 1/2
$H_b = (5 \text{ à } 10) \text{ m}$	- homogène à granulométrie étandue - homogène à fort % d'argile - à zones	1/2 1/2,5 1/2	1/2 1/2,5 1/2,5
$H_b = (10 \text{ à } 20) \text{ m}$	- homogène à granulométrie étandue - homogène à fort % d'argile - à zones	1/2,5 1/3 1/2,5	1/2,5 1/2,5 1/2,5
$H_b > 20 \text{ m}$	- homogène à granulométrie étandue - homogène à fort % d'argile - à zones	1/3 1/3,5 1/3	1/2,5 1/2,5 1/3

Suivant une comparaison faite entre les valeurs obtenues nous adoptons , les valeurs des pentes suivantes :

- talus aval :

1/ 2,5 -----) du niveau du lit jusqu'à la côte
545,00 m

1/ 3,0 -----) de la côte 545,0 m jusqu'à la crête
du barrage

- talus amont :

1/ 4,0 -----) de la base jusqu'à la côte 580,0 m

Le changement de pente est caractérisé par des ribermes .

3.3 Dimensionnement du noyau

L'inexistence de règles théoriques , pour dimensionner le noyau, nous conduit à faire un prédimensionnement de celui-ci tout en vérifiant la condition suivante :

$$J = \frac{\Delta H}{\Delta t} \leq J_{adm}$$

J : coefficient hydraulique

ΔH : différence de charge à l'entrée et à la sortie du noyau

Δt : largeur moyenne du noyau (m)

$$\Delta t = \frac{t_1 + t_2}{2}$$

Pour éviter tout risque de siphonnage par dessus la crête du noyau , il est indispensable d'adopter une hauteur du noyau supérieure à la hauteur du niveau d'eau maximal .

Ce phénomène physique est dû à l'effet de capillarité .

Un ancrage du noyau est nécessaire du fait qu'il diminue les débits de resurgence et contribue à la stabilité de celui-ci .

3.4 Protection des talus

Une protection des talus contre l'érosion provoquée par les vagues et par le ruissellement des eaux de pluie, sera nécessaire.

- talus amont :

On protège le talus amont contre le batillage des vagues et contre les averses violentes. En général, on prévoit une protection en roche, rangées à la main ou en vrac.

Devant un tel choix, deux facteurs primordiaux apparaissent à savoir : économie; temps.

Pour notre cas, on utilisera un enrochement en vrac.

La couche d'enrochement en général, une épaisseur qui varie de 60 cm à 1,0 m. L'épaisseur minimale de la couche d'enrochement par les formules empiriques suivantes :

$$a) t_{\min} = \frac{n \cdot 0,178}{\delta_p - \gamma} \cdot h_v \cdot \sqrt{\frac{1 + m_1^2}{m_1^2}}$$

t_{\min} : épaisseur minimale de l'enrochement (m)

n : facteur de sécurité n = 1,2 à 1,5

m_1 : fruit du talus amont

δ_p : poids volumique de la pierre (t/m^3) $\delta_p = 1,98 \text{ t/m}^3$

γ : poids volumique de l'eau (t/m^3)

h_v : hauteur des vagues (m)

$$b) t_{\min} = 1,7 \cdot h_v \cdot \frac{\gamma}{\delta_p - \gamma} \cdot \left(\frac{1 + m_1^2}{m_1 \cdot (m_1 + 2)} \right)^{\frac{1}{2}}$$

L'application de ces formules, nous donne la valeur moyenne suivante :

$$t_{\min} = 0,45 \text{ m}$$

Cette couche d'enrochement repose sur un tapis drainant jouant ainsi le rôle d'un filtre.

- talus aval

Pratiquement , la protection du talus aval contre l'érosion, se fait par enherbement.

Cette protection est réalisée par une couche végétale de 5 cm à 20cm. Cette opération se fait au fur et à mesure que les travaux avancent .

3.5 Digue de col

La présence d'une dépression, au niveau de la rive gauche de l'oued (nord-ouest du site), nous permettra de projeter une digue de col .

Une partie de ce col servira pour site à l'évacuateur de crue . Le niveau de la dépression est donné par une altitude de 560 m, en colmatant ce col à cette digue , il s'opposera au déversement de l'eau de la retenue.Tel est le but qui justifie sa construction .

3.5.1 - dimensionnement de la digue auxiliaire

$$H_{\text{digue}} = 20,00 \text{ m}$$

$$\text{pente mont} \quad \dots \dots \rightarrow 1/3$$

$$\text{pente aval} \quad \dots \dots \rightarrow 1/2,5$$

$$\text{l'argeur en crête } b_c = 7 \text{ m}$$

Les matériaux constituant la recharge de cette digue , seront les mêmes que ceux du barrage principal, ainsi que la protection des talus qui sera faite du même type que celle adopté pour notre barrage

4. RESEAU D'ECOULEMENT

4.1- Infiltrations

Les infiltrations à travers une digue , donnent naissance à un reseau d'ecoulement à l'intérieur de celle-ci.

Si ces infiltrations augmentent en intensité, elles provoquent le phénomène de RENARD et par consequent la destruction totale de l'ouvrage.

4.2- Ligne de saturation

Ce reseau d'ecoulement est caracterisé par une ligne dite " LIGNE DE SATURATION". Un tel écoulement fut étudier par KOZENY , par la suite CAZAGRANDE apporta quelques précisions

Cette étude se fait sur la base de la parabole theorique qui est donnée par l'équation suivante :

$$x^2 + y^2 = (x+y_0)^2$$

x, y : étant les coordonnées de la parabole

y_0 : ordonné de la parabole

$$y_0 = \sqrt{H^2 + d^2} - d$$

H : hauteur d'eau correspondante au niveau normal de la retenue (m)

On détermine les paramètres de la parabole par les expressions mathématiques suivantes :

$$d = t_2 - 0,7.s$$

$$s = H \cdot m_1 \quad m_1 ==> \text{fruit du talus du noyau}$$

t_2 : largeur de la base du noyau

$$t_2 = 2 \cdot m_1 \cdot H_n + t_1$$

H_n : hauteur du noyau

t_1 : Largeur en crete du noyau

Les résultats de calculs sont :

$H(m)$	$H_n(m)$	m_1	s	$t_2(m)$	$d(m)$	$y_0 (m)$
34	42	5	0,75	25,5	68	50,15

La présence de deux zones à l'intérieur de la digue , l'écoulement à travers celle-ci est caractérisé par l'écoulement à l'intérieur du noyau. On pourra appliquer à ce dernier, les règles valables pour un écoulement à travers une digue homogène en admettant que la ligne de saturation dans la recharge amont et aval ,est horizontale et coïncide avec les plans d'eau amont et aval .

Dans ce genre de calcul , on négligera les zones de transitions coordonnées pour le tracé point par point de la ligne de saturation

Rappelons que l'équation de cette ligne de saturation est :

$$x^2 + y^2 = (x + 10,4h)^2$$

x	-5,22	-3	-1	0	5	10	15	20	30	40	50,
y	0	6,8	9,38	10,4h	14,6	17,83	20,55	29,95	27,12	30,72	31

Le point d'intersection de la parabole de base avec le parement aval du noyau est déterminé à partir de l'équation des coordonnées polaires de cette parabole .

$$a + \Delta a = \frac{r_0}{1 - \cos \alpha}$$

$$c = \frac{\Delta a}{a + \Delta a} ; c : \text{est une fonction de l'angle au pieds du noyau}$$

Pour un angle au pieds = $53,13^\circ$

on a : $c = 0,33$

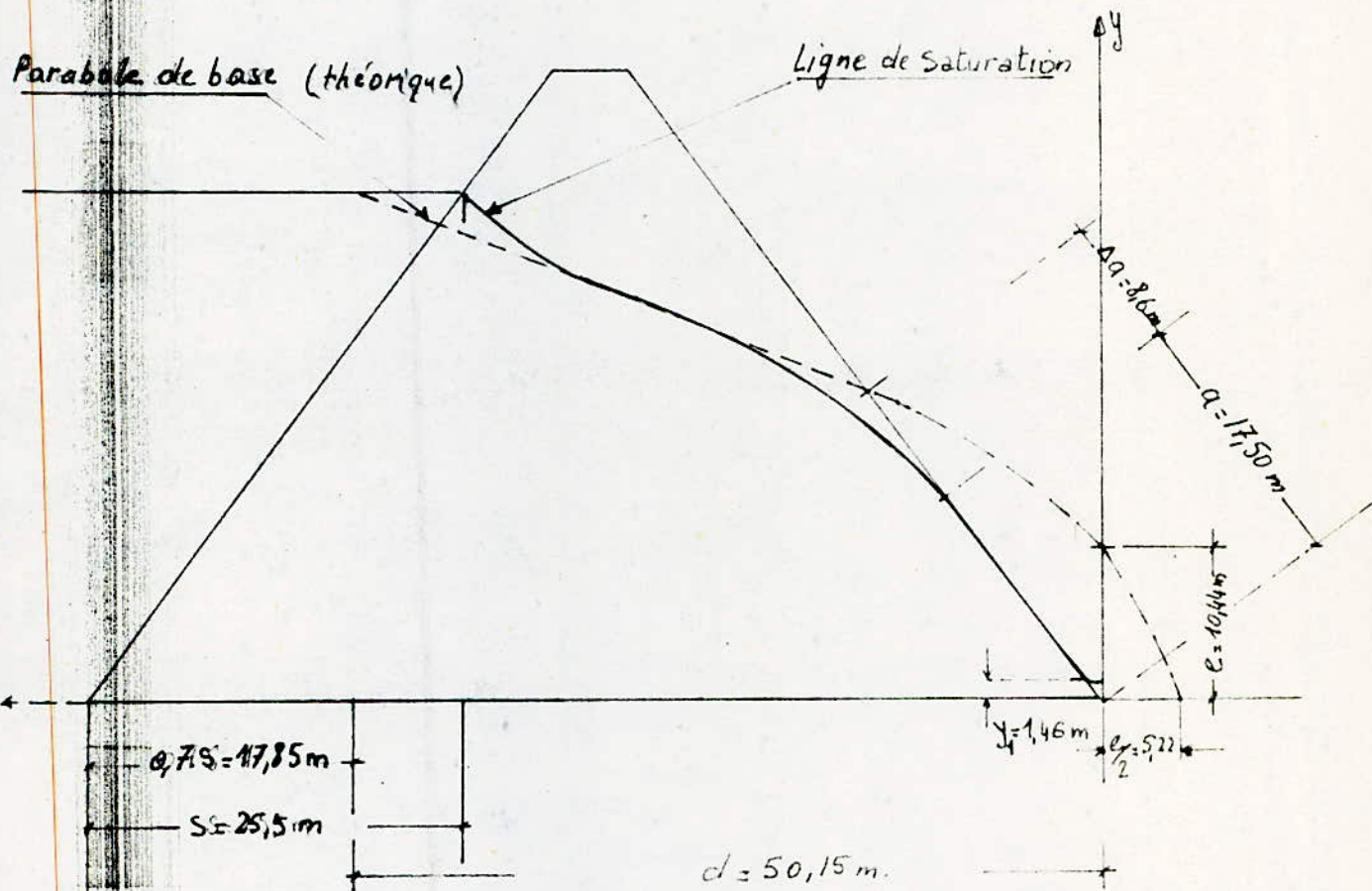
d'où : $a + \Delta a = 26,1$

$\Delta a = 8,6 \text{ m}$

$a = 17,50 \text{ m}$

Voir schéma d'écoulement (échelle 1 : 500)

Représentation graphique de la ligne de saturation
à l'intérieur du noyau.



À la sortie du noyau , l'ordonnée sera :

$$h_1 = \sqrt{2 \cdot L \cdot y_0 \cdot \frac{k_1}{k} + h_0^2}$$

L : longueur du massif aval (m) L = 91,5 m

h_0 : niveau d'eau à l'aval $h_0 = 1$ m

y_1 : côte amont de la ligne de saturation dans la recharge aval

k_1 : perméabilité du noyau

k : perméabilité de la recharge

$y_0 = 0$: ordonnée de la parabole théorique

Toute application faite on obtient :

$$h_1 = 1,465 \text{ m}$$

4.3 - Evaluation du débit de fuite

L'écoulement étant permanent , la loi de Darcy nous permet d'écrire :

$$q = k \cdot i \cdot A$$

k : perméabilité du corps du barrage

A : aire soumise à l'infiltration par unité de largeur

$$A = y \cdot 1$$

$$i = \frac{dy}{dx} \quad i : \text{gradient hydraulique}$$

$$\text{d'où : } q = k \cdot y \cdot \frac{dy}{dx}$$

$$\text{toute intégration faite , on a : } q = k \cdot \frac{h_1^2 - h_0^2}{2 \cdot L}$$

$$\text{A.N : } q = 6,26 \cdot 10^{-7} \text{ m}^2/\text{s}$$

Pour une vérification éventuelle , on a :

$$q = k_1 \cdot e$$

$$e = y_0 = 10,66 \text{ m}$$

k_1 : perméabilité du noyau

$$\text{A.N } q = 6,26 \cdot 10^{-7} \text{ m}^2/\text{s}$$

En conclusion le débit de fuite est infiniment petit, ce qui est rassurant pour la stabilité de notre ouvrage .

4.4 Vérification des dimensions du noyau

Les dimensions adoptées pour le noyau , doivent satisfaires la condition ci-dessous :

$$J = \frac{\Delta H}{\Delta t} \leq J_{adm} = 6 \text{ à } 12$$

rappelons que :

ΔH : différence de charge à l'entrée et à la sortie du noyau (m)

Δt : largeur moyenne du noyau (m)

Pour : $\Delta H = 32,54 \text{ m}$

$\Delta t = 36,5 \text{ m}$

on a : $J = 0,89 < J_{adm}$

Le gradient hydraulique étant faible , ce qui garantie la bonne tenue du noyau . Aucun risque d'entrainement des particules de celui-ci vers l'aval .

Les dimensions du noyau sont admissibles, puisque la condition précédente est largement satisfaite .

4.5 Filtres

Pratiquement, ce filtre s'opposera à l'entrainement des particules vers l'aval.

Intervposé entre le noyau d'argile et la recharge d'alluvions , il assurera une continuité granulométrique entre les deux zones.

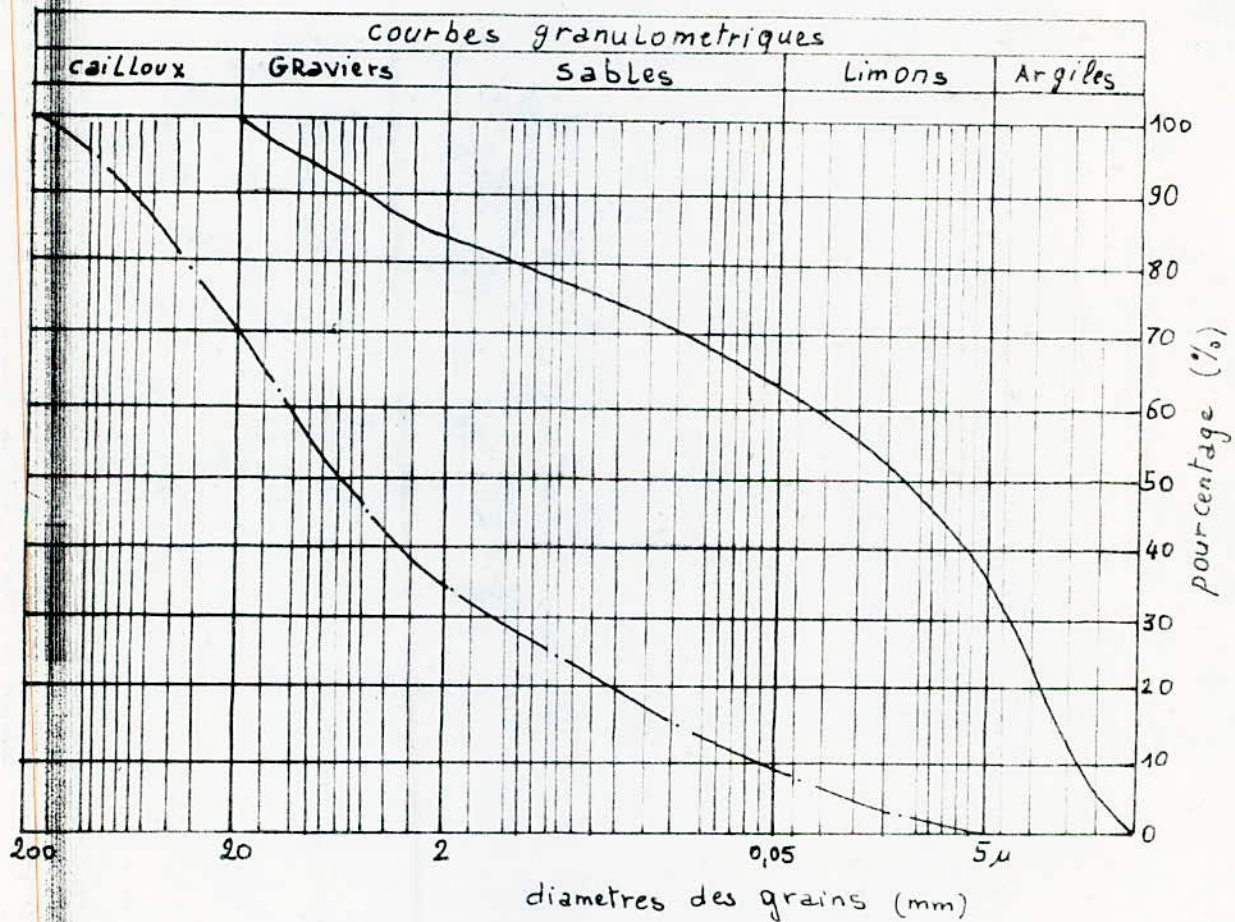
Le choix des matériaux du filtre doit satisfaire la condition :

$$C = \frac{d_{60}}{d_{10}} < 2$$

C : coefficient d'uniformité de chaque particule

Pour s'assurer de la stabilité du filtre , on doit vérifier la condition suivante :

$$5 < \frac{F_{50}}{B_{50}} < 10$$



: courbe granulométrique des matériaux constituant le filtre du noyau.

: courbe granulométrique des matériaux de recharge. (corps du barrage)

E_{50} et B_{50} : désignent respectivement les dimensions des grains du filtre et du matériau de base , correspondant à un pourcentage de 50% (voir courbe granulométrique)

L'épaisseur total du filtre est prise égale à 1 m .

4.6 Prisme de drainage

son rôle est de drainé les eaux d'infiltations, il contribut à la bonne tenue de l'ouvrage en abaissant la ligne de saturation , diminuant ainsi les effets néfaste de l'érosion provoqué par le phénomene de renards .

Il sera projeté au pieds du talus aval , les dimensions de ce prisme sont :

H_p : hauteur du prisme de drainage

$$H_p = 9 \text{ m}$$

b_p : largeur en crête du prisme

$$b_p = 2 \text{ m}$$

m' : fruit du talus (amont et aval)

$$m' = 2,5$$

4.7 Etanchéité de l'assise

L'étanchéité de l'assise étant assuré par les marnes constituant la fondation de notre ouvrage .

Par concéquent , il n'y aura aucun risque d'affouillement .

5. ETUDE DE LA STABILITE DES TALUS

5.1 - Exposé du problème

Le glissement du terrain se produit d'une manière très variée, il affecte toutes ouvrages construit par l'homme et toutes pentes naturelles.

Il peut se produire soudainement, ou après plusieurs mois voire même plusieurs années. En réalité, la rupture épouse une forme qui ne présente aucune caractéristique géométrique particulière.

La cause évidente du glissement est l'action hydrodynamique de l'eau.

En face de tels problèmes, plusieurs chercheurs ont proposé leurs solutions, parmi lesquelles on cite la méthode suédoise dite "méthode des tranches" due à "PATTERSON" en 1916 et développée pour les ruptures circulaires par "FILIPPIUS" en 1927 perfectionnée récemment par "BISHOP" en 1954, appliquée aux ruptures non circulaires par "MONVETILLER" en 1965.

5.2 - Procédé de la méthode

Cette méthode, admet que la rupture présente une forme circulaire sur laquelle, le glissement se produit instantanément le long de cette surface cylindrique à axe horizontal, de centre 'o' et de rayon "r".

En faisant l'inventaire des forces qui s'applique sur une tranche d'ordre "n", nous obtenons :

G_n : poids de la tranche

N_n : composante normale de G

T_n : composante tangentielle de G

x_n : composante horizontale due à l'action de la tranche voisine (n-1)

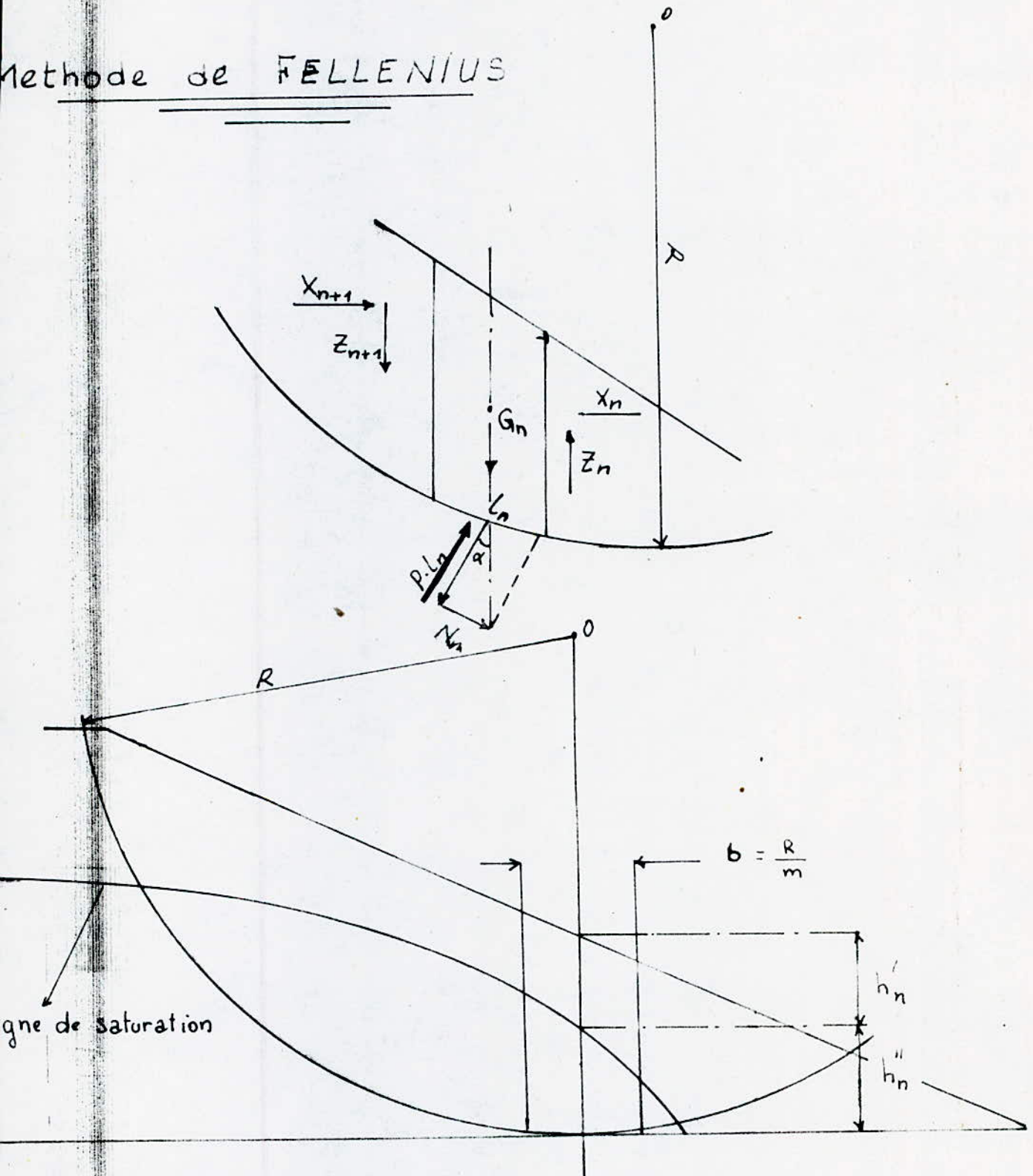
z_n : composante verticale due à l'action de la tranche voisine (n-1)

Pour une éventuelle simplification, il est admis qu'au niveau de chaque tranche on a :

$$x_{n+1} - x_n = 0 \quad (---) \quad x_{n+1} = x_n$$

$$z_{n+1} - z_n = 0 \quad (---) \quad z_{n+1} = z_n$$

Méthode de FELLENIUS



Cette simplification, signifie que l'interaction entre les tranches est nulles.

- classification des forces agissantes :

a) forces stabilisatrices :

force de frottement

$$(N - P \cdot dl) \cdot \operatorname{tg} \varphi$$

N : composante normale de G

P : pression hydrostatique

dl : longueur de l'arc délimitant la base de la tranche

force de cohésion

$$c \cdot dl$$

c : cohésion du sol

dl : longueur de l'arc délimitant la base de la tranche

La somme des moments correspondant aux forces de frottement par rapport au centre de glissement "O" est donnée par :

$$\sum M^t(F)_f = \sum ((N - P \cdot dl) \cdot \operatorname{tg} + c \cdot dl) \cdot R$$

b) forces motrices :

T () composante tangentielle de G cette force motrice à tendance de provoquer le glissement.

La somme des moments par rapport au centre de glissement de cette force est donnée par :

$$\sum M^t(F)_m = \sum R \cdot T = R \cdot \sum T$$

Pour le calcul de la stabilité des talus, on introduit un coefficient de sécurité pour obtenir les conditions normales compatibles avec la bonne tenue de l'ouvrage.

Par définition, le coefficient de sécurité contre le glissement s'exprime par le quotient de la somme des moments des forces stabilisatrices sur la somme des moments des forces motrices.

$$\kappa_s = \frac{\sum M^t(F)_f + \sum M^t(F)_c}{\sum M^t(F)_m}$$

$$\nu_s = \frac{R \cdot \sum ((n-p.dl) \cdot t \cdot \varphi + c \cdot dl)}{R \cdot \sum T}$$

tant donné que les matériaux constituant la recharge de notre digue possèdent une cohésion nulle, l'expression du coefficient de sécurité sera :

$$\nu_s = \frac{\sum (n-p.dl) \cdot t \cdot \varphi}{\sum T}$$

Le découpage des tranches dans la partie du massif susceptible au glissement se fait de la façon suivante :

- La largeur de chaque tranche est donnée par l'expression :

$$b = \frac{R}{n_t} = c^{ste}$$

R : rayon du cercle de glissement (m)

n_t : nombre total des tranches

(pour notre étude $n_t = 10$)

- La tranche coupée par la verticale issue du centre de glissement est affectée du chiffre zéros (0).

Pour le talus aval, le numérotage se fait de la manière suivante :

- les tranches se trouvant à gauche de la tranche n°0, seront numérotées positivement et celles se trouvant à droite, négativement

- pour le talus amont, les signes seront inversés (voir schéma)

On détermine le poids d'une tranche d'ordre "n", par l'expression :

$$G_n = b \cdot (\gamma_1 h'_n + \gamma_2 h''_n + \gamma_3 h'''_n)$$

b : largeur de la tranche (m)

γ_1 : densité de la zone du massif située au dessus de la ligne de saturation (densité sèche)

γ_2 : densité de la zone située au dessous de la ligne de saturation (densité saturée)

γ_3 : densité de l'assise

h'_n : hauteur moyenne de la partie de la tranche d'ordre "n" non saturée

h''_n : hauteur moyenne de la partie de la tranche d'ordre "n" saturée

...

$h_n^{\prime \prime}$: hauteur moyenne de la partie de la tranche d'ordre "n"
appartenant à l'assise .

Pour notre étude , les paramètres $h_n^{\prime \prime}$ et n n'interviennent pas dans les calculs (base rocheuse)

donc , on aura :

$$c_n = b \cdot (\gamma \cdot h_n' + \gamma \cdot h_n^{\prime \prime})$$

- La force tangentielle est donnée par :

$$T = c_n \cdot \sin \alpha_n$$

- Lacomposante normale du poids de la tranche est donnée par :

$$N = G_n \cdot \cos \alpha_n$$

avec : $\sin \alpha_n = \frac{n}{n_t}$

n : numéros de la tranche considérée

n_t : nombre total des tranches

d'où : $\cos \alpha_n = \sqrt{1 - \sin^2 \alpha_n}$

α_n : angle formé par l'interception de la tranche d'ordre "n"
avec la verticale.

- La pression hydrostatique due aux infiltrations des eaux est
donnée par :

$$P \cdot dl = \gamma \cdot h_p \cdot dl$$

avec : $dl_n = l_n = \frac{b}{\cos \alpha_n}$

d'où : $X_s = \frac{\sum (c_n \cdot \sqrt{1 - (\frac{n}{n_t})^2} - \gamma \cdot h_p \cdot \frac{b}{\cos \alpha_n}) \cdot \operatorname{tg} \varphi}{\sum c_n \cdot \frac{n}{n_t}}$

Rappelons que la cohésion de la recharge est nulle .

- types de fonctionnement considérés lors de l'étude de la stabilité des talus :

On a considéré deux types de fonctionnements pour chaque talus, à savoir :

.. talus amont :

... fin de construction : (réservoir vide)

.. vidange rapide :

L'abaissement rapide du niveau de l'eau dans la retenue peut provoquer un entraînement simultané des petites particules formant le massif, par conséquent un glissement peut se produire.

En effet, une fois que le niveau de l'eau est ramené au pieds du talus, le corps du barrage emmagasine une certaine quantité d'eau qui ne s'est pas encore écoulée. Celle-ci qui est stockée est génératrice d'une pression qui tient en équilibre une partie de la recharge mouillée.

On admet que la composante normale sera égale :

$$(N - P.dL) = (\gamma_{sat} - 1).n.b$$

$\gamma_{sat} - 1$: densité immersée

$$n = h_n \cdot \cos \alpha_n$$

$$\text{d'où : } (N - P.dL) = (\gamma_{sat} - 1). b.h_n \cdot \cos \alpha_n$$

.. la composante tangentielle sera :

$$T = \gamma_{sat} \cdot t \cdot b$$

$$\text{avec : } t = h \cdot \sin \alpha_n$$

$$\text{d'où : } T = \gamma_{sat} \cdot b \cdot h \cdot \sin \alpha_n$$

Cette force tangentielle est génératrice d'un mouvement d'entraînement des particules.

En réalité, lors du vidange rapide, l'angle de frottement interne des matériaux constituant la recharge diminue en valeur.

Mais cette réduction ne peut être évaluée théoriquement, car cela fait appel aux essais in-situ.

- talus aval :

--- fin de construction : (réservoir vide)

--- fonctionnement normal : barrage en exploitation

En fonctionnement normal , le réservoir étant plein , d'où la naissance d'un écoulement continu vers l'aval .

- sollicitation dûes au séisme

Le séisme est un facteur naturel qui peut nuire à la stabilité de l'ouvrage . De ce fait , on tient compte de la force due à l'accélération d'un tel mouvement .

La somme des moments dûs à cette force naturelle est :

$$\sum a \cdot c_n \cdot d_n = \sum M^t (\pi)_{\text{naturelle}}$$

En définitif, le coefficient de sécurité contre le glissement sera déterminé par l'expression suivante :(cas de séisme)

$$\kappa_{s.s} = \frac{\sum (M_n - P_n \cdot d l_n) \cdot \operatorname{tg} \varphi}{\sum T_n + \frac{1}{R} \sum a \cdot c_n \cdot d_n}$$

avec : $a \cdot c_n$: force dûe au séisme

d_n : bras de levier

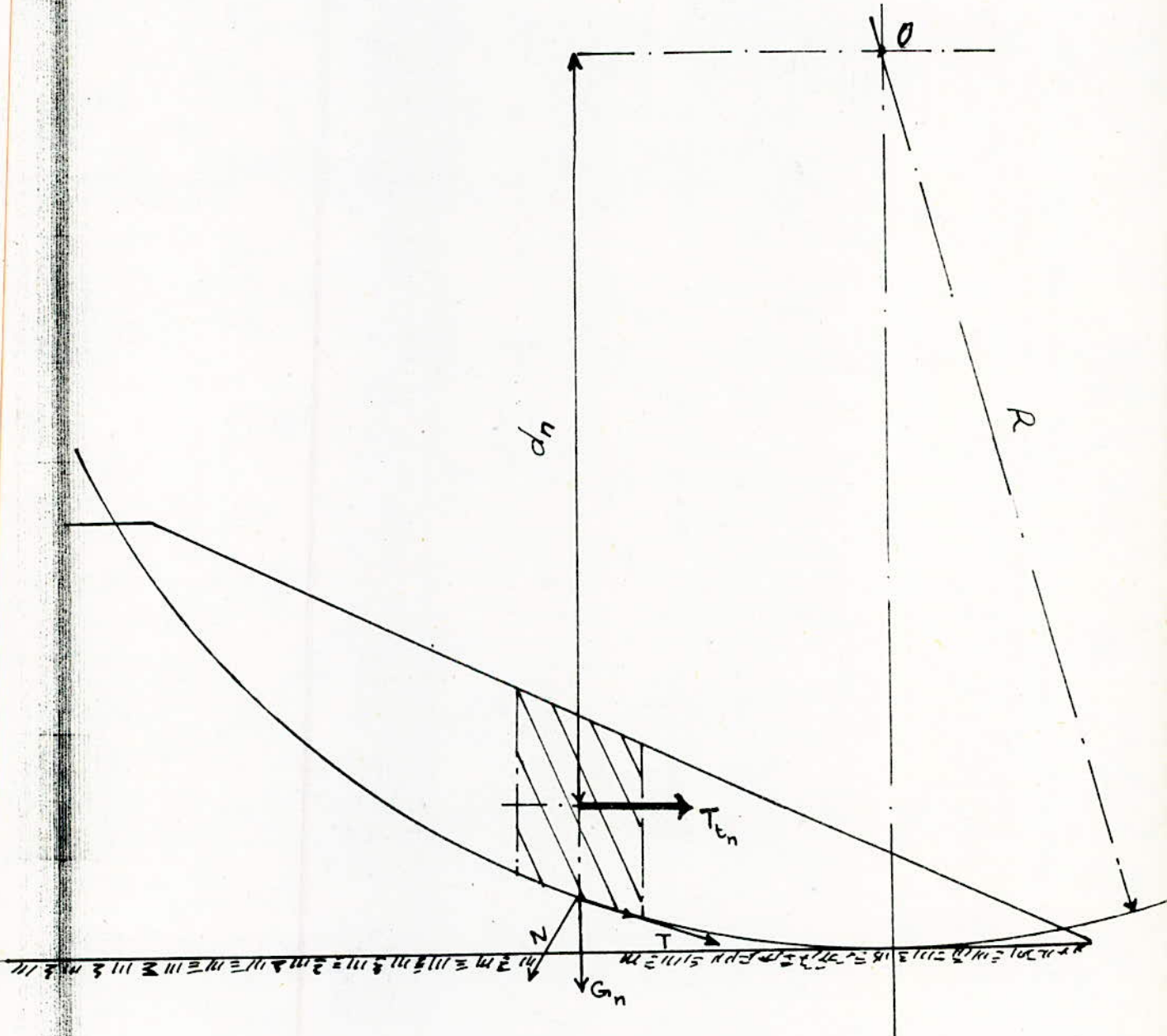
α : coefficient sismique $\alpha = 0,15$

γ : accélération du mouvement sismique

$$\gamma = a \cdot g$$

Les résultats de calculs de l'étude de la stabilité sont récapitulés dans les tableaux qui suivent :

SOLlicitations DUES AUX SEISMES



PROGRAMME DONNANT LA STABILITE SUR TI 66

LBLA $\gamma_1 \frac{h_n}{G_n} \gamma_2 \frac{h_n''}{n} \gamma_3 \frac{h_n'''}{m} \frac{\sin \alpha_n}{R/S} \frac{b}{RCL00 \times RCL03 + RCL01 \times RCL04 + RCL02 \times RCL05 = X RCL06 =}$
 $\frac{G_n}{ST007} R/S \frac{RCL08 \div RCL09 = ST010}{RCL08 \div RCL09 = X^2}$
 $\pm 1 = \sqrt{x} \frac{\cos \alpha_n}{ST011 R/S}$
 LBLB $RCL07 \times RCL10 = ST012 \frac{G_n \cdot \sin \alpha_n}{SUM 25 RCL07 \times RCL11 = ST013 SUM 29 RCL11 \times RCL12 = ST014}$
 LBLC $RCL06 \div RCL11 = ST014 \frac{L_n}{RCL04 + RCL05 = X RCL14 \times RCL30 = ST015}$
 $\varphi_i \frac{\operatorname{tg} \varphi_i}{RCL16 \tan = ST017 R/S}$
 LBLC $RCL13 - RCL15 = X RCL17 = ST018 SUM 26 RCL19 \times RCL14 = ST020$
 $\frac{a}{SUM 27 RCL22 \times RCL07 = ST023 \times RCL21 = ST024 SUM 28 R/S} \frac{P.L_n}{R/S}$

FIN TABLEAU

LBLE $RCL26 + RCL27 = \frac{1}{RCL25} = ST031 R/S$
 LBLA' $RCL26 + RCL27 = \frac{1}{\overbrace{RCL28 \div 10 \div RCL06 + RCL25}^R} = ST032 R/S$
 Appuyer : $A \rightarrow \sin \alpha \quad R/S \rightarrow G_n \quad B \rightarrow G_n \cos \alpha \quad RCL12 \rightarrow G_n \cdot \sin \alpha$
 $C \rightarrow \operatorname{tg} \varphi_i \quad RCL15 \rightarrow P.L_n \quad RCL14 \rightarrow L_n$
 $D \rightarrow T_{t_n} \cdot d_n \quad RCL23 \rightarrow T_{t_n} \quad RCL20 \rightarrow C_i \cdot L_n \quad RCL15 \rightarrow w_\phi$
 $RCL18 \rightarrow (G_n \cdot \cos \alpha - P.L_n) \operatorname{tg} \varphi_i$

INTRODUIRE $\delta_{eau} \rightarrow ST030 \quad \varphi \rightarrow ST016 \quad \gamma_1 \rightarrow ST000 \quad \gamma_2 \rightarrow ST001$
 $\gamma_3 \rightarrow ST002 \quad h_n \rightarrow ST003 \quad h_n'' \rightarrow ST004 \quad h_n''' \rightarrow ST005$
 $b \rightarrow ST006 \quad n \rightarrow ST008 \quad m \rightarrow ST009 \quad d_n \rightarrow ST021$
 $a \rightarrow ST022 \quad C_i \rightarrow ST019$

Pour d'autres valeurs du Rayon du cercle de glissement, on appuie sur B' et on introduit les données de calculs

Fonctionnement Normal

R = 69 m.

N° des tranches	b (m)	h' (m)	h'' (m)	γ_1 t/m³	γ_2 t/m³	Gn	sinα	cosα	Cn sinα	Gn cosα	Ln	VtLn	tgt	(Gn cosα - Wn) tg	C.Ln	dₙ (m)	Ttₙ	Ttₙ dₙ
-5	6,9	11	1,35	2,2	2,4	189,34	-0,5	0,87	-94,67	163,97	7,93	10,71	0,81	124,14	0	60	37,87	2272,08
-4	"	13,5	1,40	"	"	228,11	-0,40	0,92	-91,25	209,07	7,5	10,50	"	161,48	"	63,5	45,62	2897,0
-3	"	15,5	1,45	"	"	259,30	-0,30	0,95	-77,79	247,36	7,26	10,53	"	191,83	"	66,5	51,86	3422,76
-2	"	17,5	1,5	"	"	294,29	-0,20	0,98	-58,86	288,34	7,05	10,58	"	224,98	"	67,5	58,86	3972,92
-1	"	18,5	1,5	"	"	305,67	-0,10	0,99	-30,57	304,14	6,97	10,46	"	237,88	"	68,5	61,13	4187,68
0	"	21,85	1,5	"	"	356,52	0	1	0	356,52	6,90	10,35	"	280,40	"	66,9	71,30	4769,98
+1	"	25,4	1,51	"	"	410,58	0,10	0,99	41,06	408,52	6,97	10,46	"	322,43	"	68,0	82,12	5625,22
+2	"	26,0	1,52	"	"	419,85	0,20	0,98	83,97	411,37	7,05	10,65	"	324,58	"	67,0	83,97	5667,98
+3	"	28,25	1,53	"	"	454,17	0,30	0,95	136,25	433,25	7,26	11,04	"	341,99	"	65,5	90,83	5949,63
+4	"	30,4	1,54	"	"	486,97	0,40	0,92	194,79	446,32	7,5	11,55	"	352,16	"	63	97,39	6135,82
+5	"	32,5	1,54	"	"	518,85	0,50	0,87	259,43	449,34	7,93	12,21	"	354,07	"	60	103,77	6226,20
+6	"	28,5	8,25	"	"	569,25	0,60	0,80	341,55	455,4	8,63	71,20	"	311,2	"	56	113,85	6375,60
+7	"	22,0	17,0	"	"	615,48	0,70	0,71	430,84	439,54	9,72	165,24	"	222,18	"	49,8	123,1	6130,18
+8	"	18,5	22,75	"	"	657,57	0,80	0,60	526,06	394,54	11,5	261,63	"	107,66	"	42	131,51	5523,60
+9	6,5	17,5	26,4	"	"	662,09	0,90	0,44	595,88	288,61	14,77	389,93	"	-82,08	"	32	132,42	4237,4
Σ										2256,69	Σ				0	Σ		
$K_s = \frac{3474,9 + 0}{2256,69} = 1,54$											Σ				Σ			
}											Σ				Σ			
$K_{ss} = \frac{3474,9 + 0}{2256,69 + 73394,5 - \frac{1}{69}} = 1,0465$											Σ				Σ			

Fonctionnement Normal.

R = 81 m.

N° de la tronçonneuse	b (mm)	h' (m)	h'' (m)	δ_1 $\frac{\text{m}}{\text{m}^2}$	δ_2 $\frac{\text{m}}{\text{m}^2}$	G _n	Sind	Cosa	G _n sin a	G _n cosa	W _{gn}	tg φ	(G _n cosa - W _{gn}) tg φ	L _n	C. L _n	d _n (m)	T _{tn}	T _{gn} d _n
-4	8,1	8	1	2,2	2,4	162	-0,4	0,92	-64,8	148,48	8,84	0,81	113,08	8,84	0	74,5	24,5	1810,35
-3	"	11	1	"	"	215,46	-0,3	0,95	-64,64	205,34	8,49	"	159,56	8,49	"	77,5	32,32	2504,7
-2	"	13,5	1	"	"	260,01	-0,2	0,98	-52	254,76	8,27	"	199,60	8,27	"	79,5	39,0	3100,62
-1	"	15,75	1,25	"	"	304,97	-0,1	0,99	-30,50	303,44	10,18	"	237,50	8,14	"	80,55	45,75	3683,89
0	"	17,15	1,35	"	"	331,86	0	1	0	331,86	10,94	"	259,88	8,1	"	78,900	49,78	3920,06
+1	"	20,5	1,35	"	"	391,55	0,1	0,99	39,16	389,59	10,99	"	306,59	8,14	"	80,75	58,73	4742,7
+2	"	23,5	1,4	"	"	445,99	0,2	0,98	89,20	436,98	11,57	"	344,48	8,27	"	79,5	66,90	5318,38
+3	"	26,0	1,5	"	"	492,48	0,3	0,95	147,75	469,8	12,74	"	370,12	8,49	"	77,5	73,87	5726,06
+4	"	28,5	1,51	"	"	590,68	0,4	0,92	236,3	541,4	13,35	"	427,59	8,84	"	74,5	88,6	6600,7
+5	"	31,5	1,52	"	"	590,88	0,5	0,87	295,44	511,72	14,22	"	402,87	9,35	"	71	88,63	6292,86
+6	"	31,5	4	"	"	639,09	0,6	0,80	383,46	511,27	49,5	"	381,22	10,13	"	66	95,86	6326,99
+7	"	24	14,5	"	"	709,56	0,7	0,71	496,69	506,73	164,66	"	277,16	11,34	"	59	106,43	6279,61
+8	"	19,5	21,5	"	"	765,45	0,8	0,60	612,35	459,27	290,3	"	136,87	13,5	"	51	114,82	5855,69
+9	5	12,5	25,5	"	"	443,5	0,9	0,44	399,15	193,32	292,5	"	-80,32	11,47	"	42	66,53	2794,0
Σ										2487,53		Σ	3536,17	Σ	0	Σ	64978,0	

$$K_{S.S.} = \frac{3536,17 + 0}{2487,53} = 1,4216$$

$$K_{SS} = \frac{3536,17 + 0}{2487,53 + 64978 \cdot \frac{1}{81}} = 1,0745$$

Fonctionnement normal.

: R = 96,5 m.

n° des franges	b (m)	h' (m)	h'' (m)	γ_1 t/m^3	γ_2 t/m^3	G_n	$\sin \alpha$	$\cos \alpha$	$G_n \cdot \sin \alpha$	$G_n \cdot \cos \alpha$	w_n	$\tan \varphi$	$(G_n \cdot \cos \alpha - w_n) \tan \varphi$	L_n	C.L. c_n	d_n	T_{bn}	$T_{bn} \cdot d_n$
-3	9,65	8	1	2,2	2,4	793	-0,3	0,95	-57,9	184,11	10,12	0,81	140,9	10,12	0	92	28,95	2663,4
-2	"	11	1	"	"	256,69	-0,2	0,98	-51,34	251,5	9,85	"	195,69	9,85	"	94,5	38,15	3638,58
-1	"	13,75	1,25	"	"	320,86	-0,1	0,99	-32,09	319,25	12,12	"	248,71	9,7	"	96	48,13	4620,42
0	"	16,75	1,35	"	"	386,87	0	1	0	386,87	13,03	"	302,73	9,65	"	94,5	58,03	5481,02
+1	"	19	1,35	"	"	434,64	0,1	0,99	43,46	432,46	13,09	"	339,59	9,7	"	96	65,20	6258,76
+2	"	22,1	1,4	"	"	501,61	0,2	0,98	100,32	491,47	13,79	"	386,82	9,85	"	95	75,24	7147,9
+3	"	25	1,5	"	"	565,49	0,3	0,95	169,65	539,44	15,17	"	424,55	10,12	"	92,5	84,82	7846,17
+4	"	27,5	1,5	"	"	618,565	0,4	0,92	247,43	566,92	15,79	"	446,30	10,53	"	89,5	92,78	8304,24
+5	"	30,85	1,54	"	"	690,61	0,5	0,87	345,31	598,09	17,16	"	470,43	11,14	"	85	103,59	8805,3
+6	"	31	4,5	"	"	762,35	0,6	0,8	457,41	609,88	54,28	"	449,91	12,06	"	80	114,35	9148,2
+7	"	22,25	16,5	"	"	854,51	0,7	0,71	598,16	610,4	222,96	"	313,61	13,51	"	73	128,18	9356,86
+8	"	18	24,0	"	"	937,98	0,8	0,60	750,38	562,79	386	"	143,16	16,08	"	63,5	140,7	8934,26
+9	4,5	17	27,0	"	"	459,9	0,9	0,44	413,91	200,47	278,74	"	-63,39	10,32	"	55	68,98	3794,18
Σ																	Σ 85998,18	
Σ 2984,7																		

$$K_s = \frac{3799,01 + 0}{2984,7} = 1,273$$

$$K_{ss} = \frac{3799,01 + 0}{2984,7 + 85998,18} \cdot \frac{1}{96,5} = 0,98$$

Fin de Construction Aval $R=96,5\text{ m}$

$$R = 96,5 \text{ m}$$

N° de la Tranche	b (m)	h (m)	γ_n	G _n	sin α	cos α	G _n .sin α	G _n .cos α	tg. φ	tg. φ [cm/m]	l _n (m)	c _{ln}	d _n (m)	T _{ln}	T _{ln} .d _n	
-3	9,65	9	2,2	191,07	-0,3	0,95	-37,32	182,27	0,81	147,64	10,12	0	88	28,66	2522,07	
-2	"	11,5	"	244,15	-0,2	0,98	-48,83	239,21	"	193,76	9,85	"	89,0	36,62	3259,18	
-1	"	15	"	318,45	-0,1	0,99	-31,85	316,85	"	256,65	9,7	"	90	47,77	4299,30	
0	"	18	"	382,14	0	1	0	382,14	"	309,53	9,65	"	88,0	57,32	5044,16	
+1	"	19,5	"	413,98	0,1	0,99	41,40	411,91	"	333,65	9,7	"	85	62,1	5278,50	
+2	"	23,5	"	498,90	0,2	0,98	99,78	488,83	"	395,95	9,85	"	83	74,84	6211,72	
+3	"	26,5	"	562,6	0,3	0,95	168,80	536,68	"	434,71	10,12	"	82,5	84,39	6962,17	
+4	"	29,5	"	626,29	0,4	0,92	250,52	574,0	"	464,94	10,53	"	80,5	93,94	7562,17	
+5	"	32,5	"	689,98	0,5	0,87	344,99	597,53	"	484,0	11,14	"	78,5	103,5	8124,75	
+6	"	35,5	"	753,67	0,6	0,80	452,20	602,93	"	488,37	12,06	"	78,0	113,05	8814,0	
+7	"	38,5	"	817,36	0,7	0,71	572,15	583,71	"	472,8	13,51	"	73	128,6	9387,8	
+8	"	42	"	891,66	0,8	0,6	713,33	535	"	433,35	16,08	"	63,5	133,75	8493,06	
+9	4,5	44	"	435,6	0,9	0,44	392,04	189,87	"	153,80	10,32	"	55	65,34	3593,7	
							Σ	2717,21		Σ	4572,15	Σ	0		Σ	79552,58

$$k_s = \frac{4572,15 + 0}{2717,21} = 1,683 \quad ; \quad k_{ss} = \frac{4572,5 + 0}{2717,21 + 79552,58 \cdot \frac{1}{96,5}} = 1,29$$

Table de Construction Aval. $R = 81 \text{ m.}$

N° des tranche	b_{m}	h_{m}	γ_n	G_n	$\sin \alpha$	$\cos \alpha$	$G_n \cdot \sin \alpha$	$G_n \cdot \cos \alpha$	$\operatorname{tg} \varphi$	$\operatorname{tg} \varphi \cdot G_n \cos \alpha$	L_n	$C_n L_n$	d_n	T_n	$T_n \cdot d_n$
-4	8,1	9	2,2	160,38	-0,4	0,92	-64,15	146,99	0,81	119,06	8,84	0	74,5	24,06	1792,25
-3	"	12	"	213,84	-0,3	0,95	-64,15	203,99	"	165,23	8,49	"	77,5	32,08	2485,89
-2	"	14,5	"	258,39	-0,2	0,98	-51,68	253,17	"	205,07	8,77	"	79,5	38,75	3081,0
-1	"	17,25	"	307,4	-0,1	0,99	-30,74	305,85	"	247,74	8,14	"	80,75	46,11	3723,38
0	"	20	"	356,4	0	1	0	356,4	"	288,64	8,1	"	78,9	53,46	4218,06
+1	"	22	"	392,04	0,1	0,99	39,21	390,87	"	315,96	8,14	"	80,0	58,81	4748,9
+2	"	25	"	445,5	0,2	0,98	89,1	436,5	"	353,56	8,27	"	79,0	66,83	5312,99
+3	"	27,5	"	490,05	0,3	0,95	147,02	467,48	"	378,66	8,49	"	77,5	73,50	5696,25
+4	"	30	"	534,6	0,4	0,92	213,84	489,97	"	391,98	8,84	"	74,5	80,19	5974,16
+5	"	33	"	588,06	0,5	0,87	294,03	509,27	"	412,51	9,35	"	71	88,21	6262,84
+6	"	35,5	"	632,61	0,6	0,80	379,57	506,09	"	409,93	10,13	"	66	94,89	6266,7
+7	"	38,5	"	686,07	0,7	0,71	480,25	489,95	"	396,86	11,34	"	59	102,91	6071,72
+8	"	41	"	766,26	0,8	0,6	613,01	459,76	"	372,40	13,5	"	51	114,94	5861,94
+9	5	43	"	473,0	0,9	0,44	425,7	206,18	"	167,0	11,47	"	42	70,95	2979,9
							Σ	2471,01		Σ	4224,6	Σ	0	Σ	64475,22

$$K_s = \frac{4224,60 + 0}{2471,01} = 1,71$$

j

$$K_{ss} = \frac{4224,6 + 0}{2471,01 + 64475,22 \cdot \frac{1}{87}} = 1,293$$

Fin de Construction Av2L

 $R = 69,0 \text{ m.}$

N° des tranches	b _m	h' _m	f ₁	G _n	Sinα	Cosα	G _n Sinα	G _n Cosα	tg φ	G _n Cosα · tg φ	L _n	C _{ln}	d _n	T _{ln}	T _{en} dn
-5	6,9	12,35	2,2	187,47	-0,5	0,87	-93,73	162,36	0,81	131,5	7,97	0	60	28,12	1687,2
-4	"	14,9	"	226,18	-0,4	0,92	-90,47	207,80	"	167,9	7,53	"	63,5	33,93	2154,6
-3	"	16,95	"	257,3	-0,3	0,95	-77,19	245,44	"	198,8	7,23	"	66	38,6	2547,6
-2	"	19,25	"	292,22	-0,2	0,98	-58,44	286,31	"	231,90	7,04	"	67,5	43,83	2958,5
-1	"	20	"	303,6	-0,1	0,99	-30,36	302,08	"	244,70	6,93	"	68,9	45,54	3119,5
0	"	23,35	"	354,45	0	1	0	354,45	"	287,10	6,9	"	68,0	53,17	3615,7
+1	"	26,91	"	408,49	0,1	0,99	40,85	406,44	"	329,20	6,93	"	68,5	61,27	4197,
+2	"	27,52	"	417,75	0,2	0,98	83,55	409,31	"	331,54	7,04	"	67,5	62,66	4229,6
+3	"	29,78	"	452,06	0,3	0,95	135,62	431,24	"	349,3	7,23	"	65,5	67,81	4441,6
+4	"	31,94	"	484,86	0,4	0,92	193,94	444,37	"	359,94	7,53	"	63	72,73	4582
+5	"	34	"	516,12	0,5	0,87	258,06	446,97	"	362,04	7,97	"	60	77,42	4645,2
+6	"	36,75	"	557,87	0,6	0,8	334,72	446,29	"	361,5	8,63	"	56	83,68	4686
+7	"	39	"	592,02	0,7	0,71	414,42	422,78	"	342,5	9,66	"	49,8	88,8	4422,3
+8	"	41,25	"	626,18	0,8	0,6	500,94	375,71	"	304,3	11,5	"	42	93,93	3945,1
+9	6,50	43,9	"	627,77	0,9	0,44	565,00	273,64	"	221,65	14,9	"	32	94,16	3013,2
				Σ	2176,91				Σ	4223,78	Σ	0		Σ	54245,1

$$K_s = \frac{4223,78 + 0}{2176,91} = 1,94$$

$$K_{ss} = \frac{4223,78 + 0}{2176,91 + 54245,1} = 1,425$$

Fin de Construction Amont R = 96,5 m

N° des tranchées	b _n (m)	h' (m)	δ _{y,nf}	G _n	sin δ	Cosa	G _n · sin δ	G _n · cosa	tg φ	G _n cosa + tg φ	l _n	C ₁ l _n	d _n	T _{Tn}	en · T _{Tn}
-5	6,5	14	2,2	200,2	-0,5	0,87	-400,1	173,38	0,81	140,26	7,5	0	85,5	30,03	2567,57
-4	9,65	16	"	339,68	-0,4	0,92	-135,87	311,32	"	252,08	10,53	"	89,0	50,95	4534,73
-3	"	18,5	"	392,76	-0,3	0,95	-117,83	374,66	"	303,37	10,12	"	92,5	58,91	5449,48
-2	"	20,5	"	435,22	-0,2	0,98	-87,65	415,17	"	336,16	9,7	"	92,75	65,28	6185,49
-1	"	23,0	"	488,29	-0,1	0,99	-48,83	465,80	"	377,16	9,7	"	94,6	73,24	6928,50
0	"	25,25	"	536,06	0	1	0	536,06	"	434,05	9,65	"	96,5	80,40	7276,20
+1	"	27,75	"	589,13	0,1	0,99	58,91	586,18	"	474,63	9,7	"	92,6	88,37	8183,06
+2	"	30,7	"	636,9	0,2	0,98	63,69	633,71	"	513,11	9,7	"	92,75	95,54	8861,34
+3	"	32,5	"	689,98	0,3	0,95	205,99	658,19	"	532,93	10,12	"	91,5	103,5	3470,25
+4	"	34,75	"	737,74	0,4	0,92	221,32	703,76	"	570,10	10,53	"	88,5	110,66	9793,5
+5	"	37,0	"	785,51	0,5	0,87	392,76	680,27	"	550,82	11,14	"	83,5	117,83	3838,15
+6	"	39,5	"	838,59	0,6	0,8	503,15	670,87	"	543,20	12,06	"	77,5	125,79	9748,55
+7	"	41,75	"	886,35	0,7	0,71	620,45	632,98	"	512,53	13,51	"	69,0	132,95	9173,75
+8	8,5	40,0	"	748	0,8	0,6	598,4	448,8	"	363,39	14,17	"	52,5	112,20	5890,5
							Σ 2175,99	Σ 5903,69		Σ 0				Σ 103901,42	

$$K_s = \frac{5903,69 + 0}{2175,99} = 2,713$$

$$K_{ss} = \frac{5903,69 + 0}{2175,99 + 103901,42 \cdot \frac{1}{96,5}} = 1,815$$

N° des tranches	b (m)	h' (m)	γ ₁	G _n	sin α	cos α	G _n · sin α	G _n · cos α	l _n	tg f.	G _n · cos α · tg f	cil l _n	c _l _n	T _{t_n}	T _{t_n} ; d _n
-6	6,5	17,75	2,2	253,83	-0,6	0,8	-152,28	203,06	8,13	0,81	164,5	0	56	38,07	212,8
-5	7,05	19,5	"	304,45	-0,5	0,87	-151,22	263,13	8,1	"	213,13	"	61	45,37	2767,6
-4	"	21,0	"	325,71	-0,4	0,92	-130,28	299,65	7,66	"	242,72	"	64,5	48,85	3150,8
-3	"	23,0	"	356,76	-0,3	0,95	-107,02	338,89	7,42	"	274,5	"	65,5	53,51	3504,9
-2	"	24,5	"	380,0	-0,2	0,98	-76,0	372,4	7,19	"	301,65	"	66,0	57,0	3762,0
-1	"	26,25	"	407,14	-0,1	0,99	-40,71	403,06	7,12	"	326,48	"	67,0	61,07	4087
0	"	28,0	"	434,28	0	1	0	434,28	7,05	"	351,77	"	65,5	65,14	4266,67
+1	"	30,0	"	465,3	0,1	0,99	46,53	460,65	7,12	"	373,12	"	64,0	69,79	4466,56
+2	"	31,5	"	488,37	0,2	0,98	97,72	478,79	7,19	"	387,82	"	63	73,28	4616,63
+3	"	33,25	"	515,71	0,3	0,95	154,72	489,92	7,42	"	396,84	"	63,5	77,36	4918,36
+4	"	35,0	"	542,85	0,4	0,92	217,14	472,28	7,66	"	382,55	"	61,5	81,43	5007,95
+5	"	36,5	"	566,12	0,5	0,87	283,06	492,52	8,1	"	398,94	"	60	84,92	5035,0
+6	"	38,5	"	597,14	0,6	0,80	358,29	477,71	8,81	"	386,94	"	56	89,57	5015,9
+7	"	40,0	"	620,4	0,7	0,71	434,28	440,48	9,93	"	356,79	"	50	93,06	4653
+8	"	42,0	"	651,4	0,8	0,6	521,14	390,85	11,75	"	316,59	"	40,5	97,71	3957,3
+9	4,5	43,5	"	430,65	0,9	0,44	387,6	198,5	10,23	"	153,5	"	30,5	64,6	1970,3
								$\sum 1843,4$		$\sum 5027,86$		$\Sigma 0$		$\Sigma 63362,0$	

$$k_s = \frac{5027,86 + 0}{1843,4} = 2,72$$

$$k_{ss} = \frac{5027,86 + 0}{1843,4 + 63362,0 \cdot \frac{1}{70,5}} = 1,83$$

Fin de construction Amont

R = 121 m.

N° des tranches	b (m)	h' (m)	$\delta_{1/3}$	Gn	sinα	cosa	Gn.sinα	Gn.cosa	Ln	tgφ	Gn.cosa.tgφ	C.ln	dn	T _{ln}	T _{en. dn}
-4	7,5	11,0	2,2	181,5	-0,4	0,92	-72,6	166,35	8,18	0,81	134,69	0	112	27,22	3049,2
-3	12,1	13,5	"	359,37	-0,3	0,95	-107,81	342,82	12,68	"	277,58	"	115,5	53,91	6226,08
-2	"	16,5	"	439,23	-0,2	0,98	-87,85	430,36	12,35	"	348,46	"	118,75	65,88	7823,78
-1	"	19,5	"	519,09	-0,1	0,99	-51,9	516,49	12,16	"	418,20	"	119,05	77,86	9288,55
0	"	22,5	"	598,95	0	1	0	598,95	12,1	"	484,97	"	118,40	89,84	10637,04
+1	"	25,0	"	665,5	0,1	0,99	66,55	662,16	12,16	"	536,15	"	118,5	99,83	11828,9
+2	"	28,0	"	745,36	0,2	0,98	149,07	730,30	12,35	"	591,32	"	118,05	111,8	13199,73
+3	"	31,0	"	825,22	0,3	0,95	247,57	787,21	12,68	"	637,4	"	115,5	123,78	14296,94
+4	"	34,0	"	905,08	0,4	0,92	362,03	829,52	13,12	"	671,66	"	111,0	135,76	15069,58
+5	"	37,0	"	984,94	0,5	0,87	492,47	852,98	13,97	"	690,66	"	105,0	147,74	15512,81
+6	"	40	"	1064,8	0,6	0,8	633,88	851,84	15,13	"	689,73	"	97,5	159,72	15572,7
+7	"	43	"	1144,66	0,7	0,71	801,26	817,45	16,94	"	661,89	"	87,0	171,7	14937,81
Σ		2437,67		Σ		6142,71		= 0		Σ		137418,02			

$$K_s = \frac{6142,71 + 0}{2437,67} = 2,52$$

$$j \quad K_{ss} = \frac{6142,71 + 0}{2437,67 + 137418,02 \cdot \frac{1}{121}} = 1,72$$

Viclange Rapide R = 80 m.

N° des tranches	b (m)	h (m)	γ_2	Sind	Cosa	Gn	Gn Sind	N-PLn	tg.φ (N-PLn).tgφ	Ln	C. Ln	d _n (cm)	Tt _n	T _{tr} dn	
-5	5	12	2,4	-0,5	0,87	114	-72	55,43	0,81	44,80	5,77	0	70	21,6 1512	
-4	8	13,5	"	-0,4	0,92	259,2	-103,68	119,74	"	96,95	8,73	"	73	32,88 2838,24	
-3	"	15,5	"	-0,3	0,95	297,6	-89,28	153,92	"	124,63	8,39	"	76,25 44,64	3403,8	
-2	"	17,5	"	-0,2	0,98	336	-67,20	186,34	"	150,88	8,16	"	78,5 50,4	3956,4	
-1	"	19,5	"	-0,1	0,99	374,4	-37,44	215,76	"	174,7	8,04	"	79,25 56,16	4450,68	
0	"	22	"	0	1	422,4	0	246,43	"	199,53	8,0	"	78,0 63,36	4941,8	
+1	"	23,5	"	0,1	0,99	451,2	45,12	260	"	210,54	8,04	"	77,25 67,68	5828,84	
+2	"	25,5	"	0,2	0,98	489,6	97,92	271,53	"	219,85	8,16	"	76,5 73,44	5618,14	
+3	"	27,5	"	0,3	0,95	528,6	158,14	273,09	"	221,11	8,39	"	76,5 79,2	5900,0	
+4	"	29,5	"	0,4	0,92	566,4	226,56	261,64	"	211,85	8,73	"	71 84,96	6032,2	
+5	"	31	"	0,5	0,87	495,2	297,6	229,12	"	185,52	9,24	"	69,5 89,28	6204,96	
+6	"	33	"	0,6	0,8	633,6	380,16	176,90	"	143,23	10	"	64 95,04	6082,56	
+7	"	35	"	0,7	0,71	672	470,4	87,83	"	71,12	11,2	"	57,5 100,8	5796,0	
+8	"	37	"	0,8	0,6	710,4	568,32	-67,10	"	-54,33	13,33	"	48,5 106,56	5168,16	
						Σ	1874,88			Σ	2000,46	Σ	0	Σ	67139,14

$$K_s = \frac{2000,46 + 0}{1874,88} = 1,067$$

;

$$K_{ss} = \frac{2000,46 + 0}{1874,88 + 67139,14 \cdot \frac{1}{80}} = 0,74$$

Vidange

Rapide

R = 120 m.

1

N° des tranchés	b (m)	h" (m)	γ_2	$\sin \alpha$	$\cos \alpha$	Gn	Gn.sinα	N - PLn	tgf	(N - PLn).tgf	Ln	Ci.Ln	d _n (m)	T _{en}	T _{tn} .d _n
-3	9	7,5	2,4	-0,3	0,95	162	-48,6	70,76	0,81	67,84	9,43	0	115,5	24,3	2794,5
-2	12	10,5	"	-0,2	0,98	302,4	-60,48	128,6	"	135,79	12,25	"	118	32,4	5352,5
-1	"	13,5	"	-0,1	0,99	388,8	-38,88	162,82	"	181,42	12,06	"	119,5	58,32	6969,24
0	"	16,5	"	0	1	475,2	0	198	"	224,47	12	"	120	71,28	7983,36
+1	"	19	"	0,1	0,99	547,2	54,72	229,15	"	255,33	12,06	"	110,5	82,08	9068,96
+2	"	22,5	"	0,2	0,98	648	129,6	275,68	"	290,99	12,25	"	128	97,2	10497,6
+3	"	25,5	"	0,3	0,95	734,4	220,32	320,78	"	307,55	12,58	"	105	110,16	11566,8
+4	"	28	"	0,4	0,92	806,4	322,56	366,61	"	301,62	13,09	"	104	120,96	12579,84
+5	"	31	"	0,5	0,87	892,8	446,4	429,55	"	278,27	13,86	"	100	133,92	13392,0
+6	"	34	"	0,6	0,80	979,2	587,52	510	"	221,36	15	"	96,4	146,88	14100,48
+7	10	36,5	"	0,7	0,71	876	613,20	511,10	"	92,71	14	"	87,5	131,4	11497,5
						Σ	2226,36			Σ	2357,35	Σ	0		Σ 105802,8

$$K_S = \frac{2357,35 + 0}{2226,36} = 1,0588$$

$$; \quad K_{SS} = \frac{2357,35 + 0}{2226,36 + 105802,8} \cdot \frac{1}{120} = 0,76$$

Vidange Rapide R = 100 m.

N° des branches	b (m)	h (m)	δ_2	$\sin \alpha$	$\cos \alpha$	G _n	G _n sin α	N - Pl _n	T _g (N - Pl _n) / sin α	Pl _n , d ₁ (m)	T _d (m)	T _{b_n} + d _n			
-4	5,5	1,0	-1,0	-0,92	0,32	118,2	-47,52	54,88	289	44,43	6,0	0	92	14,32	163,4
-3	10	11,0	"	-0,3	0,95	264	-73,20	136,54	"	110,55	1,48	"	93	39,6	3762
-2	"	13,5	"	-1,2	0,28	324	-54,8	173,69	"	145,49	1,21	"	97,5	48,6	4738,5
-1	"	16,0	"	-1,1	0,39	384	-38,4	221,23	"	119,18	1,05	"	93	57,6	5702,4
0	"	13,5	"	0	1	444	0	259,03	"	209,73	10,0	"	97	66,6	6460
+1	"	21,0	"	0,1	0,99	554	50,4	290,34	"	235,17	10,05	"	98	75,6	7604,4
+2	"	23,5	"	0,2	0,89	564	112,8	312,68	"	253,28	1,21	"	97,5	84,6	8248,5
+3	"	26	"	0,3	0,85	624	187,2	322,62	"	261,32	1348	"	95	93,6	8892
+4	"	28	"	0,4	0,32	672	268,8	310,31	"	251,35	10,91	"	915	100,8	9223,2
+5	"	31	"	0,5	0,87	744	372	286,29	"	231,89	11,55	"	86,5	111,6	9653,4
+6	"	33,5	"	0,6	0,30	804	482,4	224,39	"	181,76	12,5	"	80	120,6	9648,0
+7	36	"	0,7	0,71	0,64	864	604,8	112,89	"	91,44	14,0	"	71	129,6	1201,6
+8	3,5	37,5	"	0,8	0,6	315	252	-29,74	"	-24,09	5,83	"	62,5	47,25	2953,13
							Σ 2100,48		Σ 2171,5	Σ 0			Σ 875350		

$$K_s = \frac{21715 + 0}{2100,48} = 10338$$

$$K_{ss} = \frac{21715 + 0}{2100,48 + 87535,0} = 0,729$$

IV . OUVRAGES ANNEXES

1. Dérivation provisoire

La dérivation totale d'un débit de crue décennal, de l'ordre de **2000 m³/s**, semble pratiquement impossible car seci nécessite une galerie de 22m de diamètre ce qui est inconcevable.

Devant un tel problème, la construction d'un batardeau pour amortir le débit de crue se voit nécessaire; mais celui-ci se voit limiter par son hauteur. De ce fait, on utilise un procédé analytique permettant la détermination du diamètre de la galerie en fonction de la hauteur du batardeau.

Procédé de calcul

- on prend par hypothèse une vitesse d'écoulement admissible à l'intérieur de la galerie
 $v = 10 \text{ m/s}$
- on se donne une série de valeurs des diamètres de la galerie, on détermine leurs sections correspondantes en application de la formule : $Q_{ev} = v \cdot s$; nous obtenons le débit évacué . . . (s : section de la galerie)
- le débit de crue amorti par le batardeau est donné par :

$$Q_{amorti} = Q_{0,1} - Q_{ev}$$

le volume correspondant est : $V_{amorti} = Q_{amorti} \cdot t$

t : temps correspondant au débit de crue amorti, obtenu par interpolation à partir de l'hydrogramme de crue décennal.

- en utilisant la valeur du volume amorti, on pourra déduire la hauteur du batardeau par interpolation à partir de la courbe "capacité --- altitude"

Les résultats de calculs sont regroupés dans le tableau qui suit

diamètres de la galeri (m)	section de la galerie	debis évacués (m ³ /s)	debis amortis (m ³ /s)	volumes amortis (m ³).10 ³	hauteur batardeau (m)
10	78,54	785,4	1214,6	68,21	27,0
11	95,0	950,0	1050,0	55,20	25,50
12	113,0	1130,0	870,0	41,34	23,00
13	132,73	1327,3	627,7	25,76	20,00
14	153,94	1539,4	460,6	16,00	16,5

Le choix d'une dimension reste lié aux conditions pratiques et économiques (norme des diamètres des galeries , hauteur admissible des batardeaux).

Par sécurité, un choix a été fait optant pour deux galeries de 8 m de diamètre chacune et de 300 m de longueur , équivalentes à une galerie de 11 m de diamètre ; pour une hauteur d'un batardeau de 26 m .

Par la suite , la présence de ces deux galeries sera utile, puisque celle se trouvant dans la rive gauche du site servira comme galerie de visite , par contre celle qui se trouve à droite du site servira comme galerie d'aménée pour les conduites de vidange de fond et de distribution d'eau pour la ville de ouanza .

II Evacuateur de crues

2.1- but

Pendant la période de crue, la submersion constitue un danger permanent pour les barrages en terre. Pour remédier à un tel risque on réalise un ouvrage évacuateur, qui aura pour rôle l'évacuation totale des débits de crues; évitant ainsi l'endommagement des autres ouvrages.

2.2- choix de l'évacuateur de crues

Devant les conditions topographiques et géologiques du site, et en tenant compte des données hydrologiques de notre bassin versant, notre choix se porte sur la réalisation d'un évacuateur lateral

D'autres solutions ont été envisagées, tel que la réalisation d'un évacuateur en puits, mais devant la quantité importante du débit de crue et le raccordement de cet ouvrage avec la galerie de vidange qui constituent des inconvenients d'ordre pratique et économique.

Sur ceux, cette solution se voit rejeter.

2.3- choix du site de l'évacuateur

En effet, notre choix se justifie par la présence d'une dépression au niveau de la rive gauche de l'oued. Les conditions topographiques et géologiques sont favorables, puisque la pente offerte par ce choix n'est pas trop forte et que la fondation du site choisi ne présente aucune failles.

2.4- profil type du déversoir

Le déversoir envisagé est à profil pratique type "CPIFACT".

Ce type de profil s'adapte mieux à la lame d'eau de façon que celle-ci ne puisse pas se décoller.

On l'obtient à partir du profil correspondant à la charge unitaire ($H=1 \text{ m}$).

En tenant compte du coursier correspondant à $H=1 \text{ m}$, on déduit le profil correspondant à une charge H_1 , cela en application de la loi de similitude de Routh-Froude.

Pour justifier l'application de cette loi, on admet que les forces d'inerties et de pesanteur sont prépondérantes devant les forces de viscosité.

Le rapport des dimensions linéaires étant constant, on peut écrire : $\lambda = \frac{H_1}{H} = \frac{x_1}{x}$) $x_1 \cdot H = H_1 \cdot x$

avec $H = 1 \text{ m}$) $x_1 = H_1 \cdot y$

$$\lambda = \frac{H_1}{H} = \frac{v_1}{v} \quad) \quad Y_1 \cdot H = H_1 \cdot v$$

avec $H = 1 \text{ m}$) $y_1 = H_1 \cdot v$

En utilisant les coordonnées (x, v) de la charge $H = 1 \text{ m}$ on détermine les coordonnées de la charge $H_1 = 3,0 \text{ m}$.

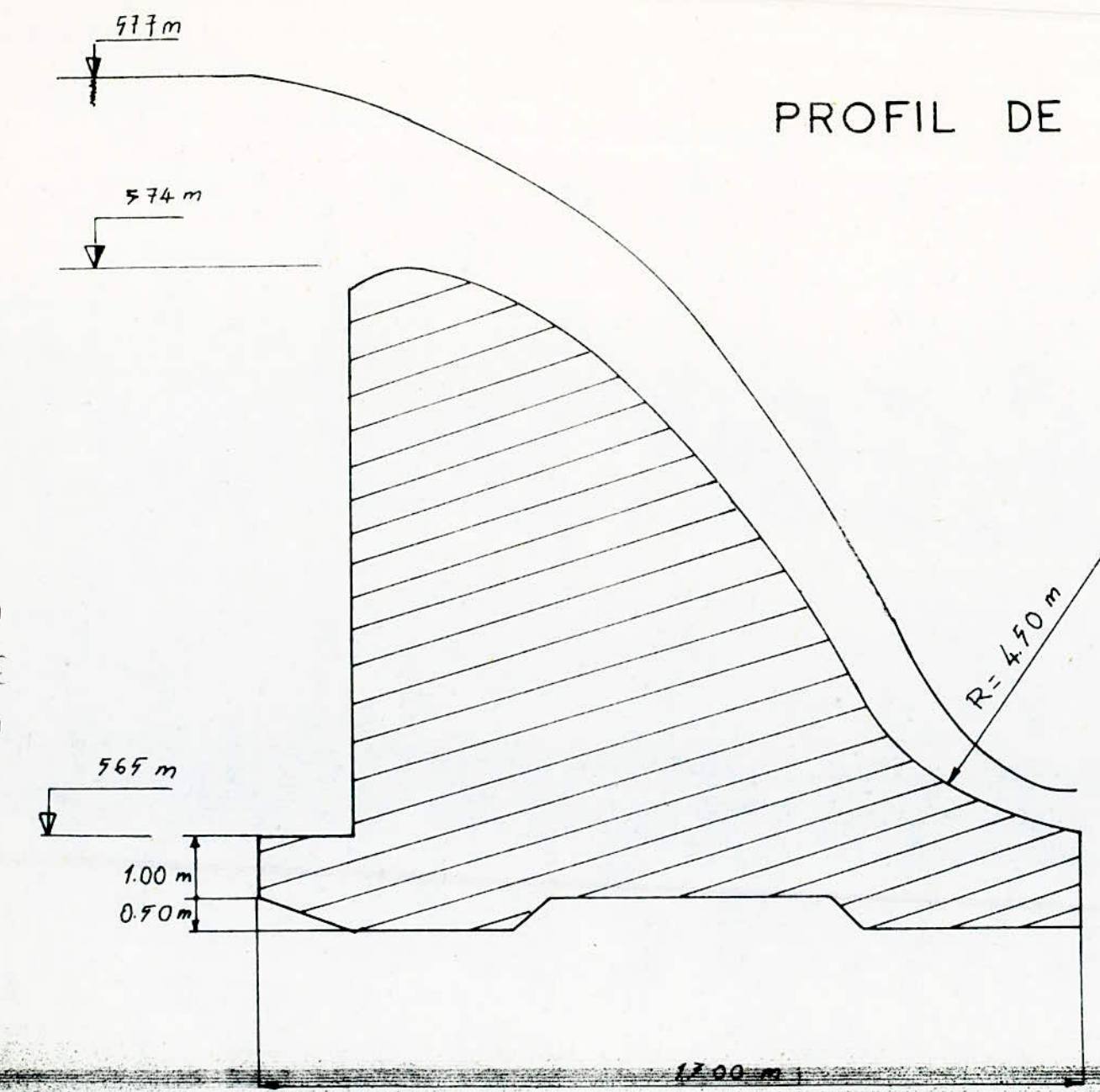
A partir de ces coordonnées, on trace le profil du coursier points par point.

Les résultats de calculs sont représentés dans le tableau qui suit.

Pour la représentation graphique du profil, voir schéma.

Profil $L \rightarrow H = 1,0\text{m}$		Profil $L \rightarrow H = 3,0\text{m}$	
X	Y	X ₁	Y ₁
0,0	0,126	0,0	0,378
0,1	0,036	0,3	0,108
0,2	0,007	0,6	0,021
0,3	0,000	0,9	0,000
0,4	0,006	1,2	0,018
0,5	0,027	1,5	0,081
0,6	0,060	1,8	0,180
0,7	0,100	2,1	0,300
0,8	0,146	2,4	0,438
0,9	0,198	2,7	0,594
1,0	0,256	3,0	0,768
1,1	0,321	3,3	0,963
1,2	0,394	3,6	1,182
1,3	0,475	3,9	1,425
1,4	0,564	4,2	1,692
1,5	0,661	4,5	1,983
1,6	0,764	4,8	2,292
1,7	0,873	5,1	2,619
1,8	0,987	5,4	2,961
1,9	1,108	5,7	3,324
2,0	1,235	6,0	3,705
2,1	1,369	6,3	4,107
2,2	1,508	6,6	4,524
2,3	1,653	6,9	4,959
2,4	1,804	7,2	5,412
2,5	1,980	7,5	5,940
2,6	2,122	7,8	6,366
2,7	2,289	8,1	6,867
2,8	2,462	8,4	7,386
2,9	2,640	8,7	7,92
3,0	2,824	9,0	8,472

PROFIL DE L'EVACUATEUR
DE CRUE



2.5.1 - stabilité de l'ouvrage évacuateur

Pendant la période d'exploitation, l'ouvrage est soumis à plusieurs sollicitations.

Pour la bonne tenue de cet ouvrage, on considère pour l'étude de sa stabilité plusieurs cas de charges afin de remédier à toutes contraintes extérieures.

L'étude de la stabilité se fera contre :

- le glissement
- le renversement
- le soulèvement

a) stabilité contre le glissement

Le coefficient de sécurité contre le glissement est défini par :

$$k_g = \frac{\text{forces stabilisatrices}}{\text{forces d'entrainements}}$$

$$k_g = \frac{f \cdot (G - w_g)}{P}$$

f : coefficient de frottement) f = (0,65 à 0,75)

G : poids de l'ouvrage

$$G = 1/2 \cdot \gamma_b \cdot b \cdot h$$

γ_b : poids spécifique du béton) $\gamma_b = 2,4 \text{ t/m}^3$

b : largeur de l'ouvrage) b = 13 m

h : hauteur au niveau du seuil) h = 9,0 m

w_g : pression de l'eau d'infiltration

$$w_g = 1/2 \cdot \alpha \cdot \gamma \cdot h \cdot b$$

α : coefficient) = (0,5 à 1,0)

γ : poids spécifique de l'eau) = 1 t/m^3

P : poussée de l'eau sur le parement amont

$$P = 1/2 \cdot \gamma \cdot h^2$$

Tout calcul fait, on obtient :

$$k_g = 1,31$$

b) stabilité contre le renversement

Le coefficient de sécurité contre le renversement est défini par :

$$k_r = \frac{\text{Moment des forces retenantes}}{\text{Moment des forces renversantes}}$$

d'où : $k_r = \frac{2/3 \cdot b \cdot (G + w_f)}{1/3 \cdot P \cdot h}$

Ainsi : $k_r = 4,85$

c) stabilité contre le soulevement

Le coefficient de sécurité contre le soulevement est donné par :

$$k_s = \frac{\text{forces empêchant le soulevement}}{\text{forces provoquant le soulevement}}$$

d'où : $k_s = \frac{G + P_1}{w_f}$

P_1 : poids de l'eau sur la console au niveau de la base du déversoir

$$P_1 = b_1 \cdot h$$

b_1 : largeur de la console de la base du déversoir

Ainsi : $k_s = 2,75$

-- conclusion

Suivant les valeurs des coefficients de sécurité obtenus pour différents cas de sollicitations, la stabilité de l'ouvrage est largement vérifiée.

2.5. Caractéristiques de l'évacuateur de crue

L'évacuateur de crue se caractérise par un déversoir type CERACEP, d'un canal d'évacuation trapezoidal en béton et d'un dissipateur d'énergie.

2.5.1 - calcul hydraulique

a) hauteur critique au dessus du seuil du déversoir :

$$k = \left(\frac{q^2}{g} \right)^{\frac{1}{3}} \quad (\text{m}) \quad \dots \quad q : \text{debit unitaire} \\ (\text{m}^2/\text{s})$$

$$q = \frac{Q}{b} \quad (\text{m}^2/\text{s})$$

Q : debit de pointe à évacuer (m^3/s) $Q = 1720 \text{ m}^3/\text{s}$

b : largeur du déversoir (m) $b = 150 \text{ m}$

g : accélération de la pesanteur (m/s^2) $g = 9,8 \text{ m/s}^2$

$$\therefore \quad q = 11,47 \text{ m}^2/\text{s} \quad ; \quad k = 2,375 \text{ m}$$

$$\text{La charge critique : } u_k = \frac{3}{2} \cdot k = 3,563 \text{ m}$$

En négligeant les pertes de charges sur le parment aval du déversoir la charge au pieds de celui-ci sera :

$$u = h_t + \frac{v_t^2}{2g} = u_k + (c_s - c_p) \quad (\text{m})$$

h_t : profondeur d'eau au pied du déversoir (m)

v_t : vitesse d'écoulement au pied du déversoir (m/s)

c_s : côte du seuil (m) $c_s = 574 \text{ m}$

c_p : côte du radier (m) $c_p = 565 \text{ m}$

$$\text{Eau : } H = 12,563 \text{ m}$$

$$\therefore \quad H_+ = \frac{H}{k} \quad \dots \quad H_+ = 5,29$$

on déduit de l'abaque (12a) :

$$100 \cdot h_{t+} = 32 \quad \dots \quad h_{t+} = 0,32 \quad \dots \quad h_t = k \cdot h_{t+} = 0,76 \text{ m}$$

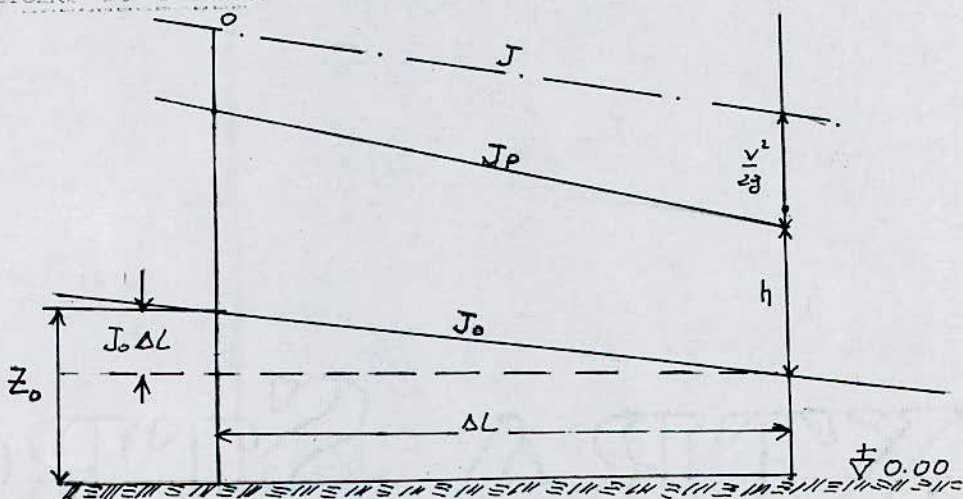
2.5.2 - étude de l'écoulement dans le canal d'évacuation

Le canal d'évacuation sert à véhiculer le débit déversé vers l'oued. Ce canal est de forme trapezoidale et linéairement convergent sa pente géométrique déterminée par les conditions topographiques est de l'ordre 9,3 %.

L'écoulement dans le canal est graduellement varié. Dans un tel écoulement, les différents paramètres hydrauliques sont variables et sont profil en long est nommé "courbe de remous".

Par définition, le remous dans une section donnée est la différence entre la profondeur réelle (h) et la profondeur normale (h_u) correspondant à un régime uniforme pour un débit considéré.

schéma de calcul :



si ΔL tend vers zéro, on aura la variation de la charge totale par unité de longueur se confond avec (J)

$$J = - \frac{d}{dl} \left(\frac{v^2}{2g} + z_o + j_o \cdot l + h \right) \quad (1)$$

z_o : profondeur qui correspond à $l = 0$ m

$$\text{d'où : } J = - \frac{v}{g} \cdot \frac{dv}{dl} + j_o - \frac{dh}{dl} \quad (2)$$

Pour un écoulement permanent, l'équation de continuité est :

$$w \cdot s = Q \quad (Q = c^{st}) \quad (3)$$

donc :

$$\zeta + \frac{dv}{dl} + v \cdot \frac{ds}{dl} = 0 \quad (4)$$

en posant $ds = e \cdot dh$

e : largeur du plan d'eau

l'expression (4) devient :

$$\frac{dv}{dl} = - \frac{v \cdot e}{S} \cdot \frac{dh}{dl} = - \frac{Q \cdot e}{S^2} \cdot \frac{dh}{dl} \quad (5)$$

en éliminant $\frac{dv}{dl}$ entre (2) et (5), on aura :

$$\frac{Q^2 \cdot e}{S^3} \cdot \frac{dh}{dl} + j_o - \frac{dh}{dl} = J \quad (6)$$

d'où :

$$dl = \frac{1 - Q^2 \cdot e / g \cdot S^3}{j_o - J} \quad (7)$$

dl : distance entre deux sections consécutives (m)

Q : débit véhiculé (m^3/s)

e : largeur du plan d'eau (m)

g : accélération de la pesanteur (m/s)

S : section mouillée (m^2)

j_o : pente géométrique du canal

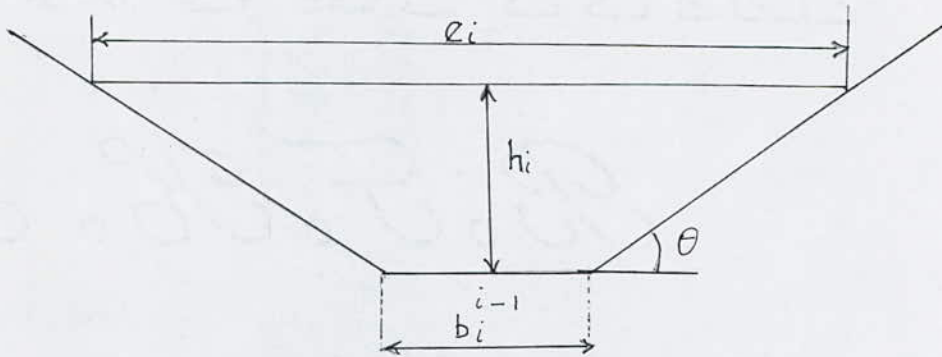
J : gradient de perte de charge

dh : différence des profondeurs d'eau des deux sections (m)

La détermination de la courbe de remous se fait par l'intégration de l'équation (7).

les calculs des paramètres de remous sont données par l'utilisation d'un programme pour une calculatrice T.T 59. Ce programme a été établi par M^r G.JAPPAY (ex : maître de conférence à F.N.P.A)

coupe transversale du canal évacuateur :



- formules de base

$$b_i^{i-1} = b_o + \frac{b_n + b_o}{T_n} \cdot \left(T_i + \frac{\Delta L}{2} \right) \quad (m)$$

$$A_i = (h_i + \frac{\Delta h_i}{2}) \cdot (b_i^{i-1} + 2(h_i + \frac{\Delta h_i}{2})) \quad (m^2)$$

$$v_i = b_i^{i-1} + (h_i + \frac{\Delta h_i}{2})$$

$$\chi = 2 \cdot \sqrt{1 + x^2}$$

$$x = \cotg \theta$$

avec : \tilde{x} : inclinaison des talus

P_i : périmètre mouillé moyen du tronçon (m)

h_i : dénivellement du plan d'eau entre les sections finales et initiales du tronçon (m)

χ : paramètre des talus

A_i : section mouillée moyenne des tronçons (m^2)

- h_i : profondeur d'eau initiale (m)
 b_o : largeur initiale du canal (m)
 b_n : largeur finale du canal (m)
 l_n : longueur du canal (m)
 b_i^{i-1} : largeur moyenne du tronçon (m)

le coefficient de frottement est donné par la formule de NTYUDADZE, en admettant que le régime est turbulent rugueux

$$f_r = (1,15 - 0,86 \cdot \ln \frac{\varepsilon}{D_h})^{-2}$$

ε : coefficient de rugosité (m)

$$D_h : diamètre hydraulique \dots \rightarrow D_h = 4 \cdot \frac{A_i}{P_i}$$

- le gradient de perte de charge est donné par la formule de "WEISBACH"

$$J = \frac{f_r \cdot Q^2}{D_h \cdot A^2 \cdot 2g}$$

Programme donnant le profil en long de la surface libre
tremous en canal trapezoïdal linéairement convergent

$$\text{LRN } 2^{\text{nd}} \text{ LBLA RCL05 } x^2 + 1 = \sqrt{x} \times 2 = ST009 RCL08 + RCL17 \div 2 = ST007 R/S$$

$$\Delta h$$

$$\text{LBLB RCL15 } ST014 \div 2 + RCL06 = + RCL20 \times (RCL16 - RCL18) + RCL18 = ST004 X$$

$$RCL07 + RCL05 \times RCL07 x^2 = ST010 \times 4 \div (RCL04 + RCL09 \times RCL07) = ST011 \frac{1}{x}$$

$$x RCL02 = ST029 \ln x \times .86 - 1.14 = x^2 \frac{1}{x} ST012 1 - RCL01 x^2 x$$

$$(RCL04 + 2 \times RCL05 \times RCL07) \div 9.8 \div RCL10 y^3 = ST013 \div (RCL03 - RCL12)$$

$$x (RCL01 \div RCL10) x^2 \div RCL11 \div 19.6 \times RCL17 = ST015 - RCL14 = 2^{\text{nd}} / x / 2^{\text{nd}}$$

$$X \geq t B RCL15 2^{\text{nd}} / x / \text{SUM06 RCL17 SUM RCL08 + RCL17} \div 2 = ST007$$

$$RCL01 \div RCL10 \times RCL11 \div RCL00 = ST019 RCL06 R/S$$

Allure de la profondeur critique hypothétique

$$2^{\text{nd}} \text{ LBLC } RCL04 + 2 \times RCL05 \times RCL27 = ST031 RCL04 + RCL05 \times RCL27 =$$

$$x RCL27 = ST030 \frac{1}{x} y^3 \times RCL27 = ST027 RCL28 - 1 = 2^{\text{nd}} / x / 2^{\text{nd}} x \geq t$$

$$C RCL09 \times RCL27 + RCL04 = ST026 \frac{1}{x} \times RCL30 \times 4 = ST023 \frac{1}{x} \times RCL02$$

$$= ST021 \ln x \times .86 - 1.14 = x^2 \frac{1}{x} ST024 \div RCL23 \times RCL01 x^2 \div RCL30$$

$$x^2 \div 19.6 = ST022 \div RCL03 = \frac{1}{x} ST025 RCL27 R/S$$

Allure de la profondeur normale hypothétique

$$2^{\text{nd}} \text{ LBLD } RCL04 + RCL05 \times RCL37 = x RCL37 = ST040 RCL04 + RCL37 =$$

$$ST040 RCL04 + RCL37 \times RCL09 = ST036 \frac{1}{x} \times 4 \times RCL40 = ST033 \div$$

$$RCL02 = \frac{1}{x} ST039 \ln x \times .86 - 1.14 = x^2 \frac{1}{x} ST035 \div RCL33 \times RCL01 x^2$$

$$\div RCL40 x^2 \div 19.6 = ST032 \div RCL03 = y^3 \times 3 \times RCL37 = ST037 RCL32$$

$$- RCL03 = 2^{\text{nd}} / x / 2^{\text{nd}} x \geq t D RCL01 \div RCL40 = ST034 \times RCL33 \div$$

$$RCL00 = ST038 RCL37 R/S$$

Introduire

$$\mathcal{J} = 10^{-6} \rightarrow ST000 \quad Q = 1720 \text{ m}^3/\text{s} \rightarrow ST001$$

$$E = 10^{-3} \rightarrow ST002 \quad J_u = 0,093 \rightarrow ST003 \quad I = 10^{-6} \rightarrow ST005$$

$$L_0 = 0 \rightarrow ST006 \quad H_0 = 0,76 \rightarrow ST008 \quad b_n = 20 \rightarrow ST016$$

$$b_0 = 150 \rightarrow ST018 \quad L_n = 265 \rightarrow ST020 \quad \Delta L = 5 \rightarrow ST015$$

$$k_s = 2,3 \rightarrow ST027 \quad h_{u_0} = 0,61 \rightarrow ST037 \quad 0,001 \times \leftarrow t$$

Δh varie par tranches

Appuyer sur A $\rightarrow h_u + \frac{\Delta h}{2} = 0,755 \rightarrow ST007$

$$RCL09 \rightarrow X = 2\sqrt{1+I^2} = 2$$

$$B \rightarrow L_{0,1} = 10,514 \text{ ST006}$$

$$RCL08 \rightarrow h_i = 0,75$$

$$RCL04 \rightarrow b_i = 147,414$$

$$RCL09 \rightarrow E/D_h = 0,000335$$

$$RCL19 \rightarrow IR = 4,62 \cdot 10^7 \text{ turb. rugueux.}$$

$$RCL12 \rightarrow f = f_r = 0,0155$$

$$C \rightarrow k_s = 2,404 \rightarrow ST027$$

$$D \rightarrow h_u = 0,67 \rightarrow ST037$$

Pour remplir les tableaux donnant les types de remous, on doit appuyer uniquement sur B, C, D, tout en faisant varier les Δh chaque fois qu'il est nécessaire

Remous Descendant type P₂
turbulent Rugueux, torrentiel supernormal

L _i	h _i	b _i ⁱ⁻¹	k _i	h _{ui}	Δh
0,00	0,76		2,375		
10,544	0,75	147,414			- 0,01
28,435	0,74	140,44	2,404	0,67	
32,208	0,739	135,125	2,483	0,69	
36,528	0,738	133,140	2,548	0,707	- 0,001
37,079	0,7379	131,945	2,573	0,714	
37,649	0,7378	131,679	2,588	0,718	- 0,0001
38,256	0,7377	131,382	2,592	0,719	
38,907	0,7376	131,070	2,596	0,720	
39,616	0,7375	130,740	2,60	0,721	
40,393	0,7374	130,376	2,604	0,722	
41,270	0,7373	129,970	2,609	0,723	
42,293	0,7372	129,504	2,614	0,725	
43,57	0,7371	128,939	2,621	0,726	
45,508	0,7370	128,151	2,628	0,728	
45,842	0,73699	127,600	2,639	0,731	
46,170	0,73698	127,438	2,647	0,733	- 0,00001
46,53	0,73699	127,438	2,649	0,734	+ 0,00001
46,966	0,7370	127,281	2,6489	0,7338	
47,567	0,73701	127,102	2,651	0,734	
48,469	0,73702	126,902	2,6536	0,735	
49,10	0,73703	126,068	2,6564	0,736	
49,513	0,73704	125,81	2,6681	0,739	
49,854	0,73705	125,626	2,6717	0,74	
			2,6743	0,7404	

Remous ascendant type P₃
turbulent Rugueux, Torrentiel subnormal

L _i	h _i	b _i ⁱ⁻¹	k _i	h _{ui}	Δh
50,143	0,73706	125,472	2,6765	0,7410	
50,401	0,73707	125,34	2,6784	0,7415	
50,636	0,73708	125,217	2,680	0,742	
50,854	0,73709	125,106	2,682	0,74	
51,058	0,7371	125,00	2,683	0,743	+ 0,0001
52,646	0,7372	124,563	2,6895	0,744	
		123,88	2,699	0,747	
53,846	0,7373	123,338	2,707	0,749	
54,852	0,7374	122,875	2,714	0,7508	
55,736	0,7375	122,46	2,72	0,7524	
56,535	0,7376	122,09	2,7258	0,754	
57,271	0,7377	121,737	2,731	0,755	
57,956	0,7378	121,41	2,736	0,7565	
58,60	0,7379	121,10	2,740	0,758	
59,21	0,738	120,81	2,745	0,7589	
59,79	0,7381	120,532	2,749	0,76	
60,348	0,7382	120,264	2,753	0,761	
60,882	0,7383	120,00	2,757	0,762	
61,397	0,7384	119,759	2,761	0,763	
61,894	0,7385	119,519	2,765	0,764	
62,376	0,7386	119,286	2,768	0,765	
62,844	0,7387	119,06	2,772	0,7659	+ 0,001
63,298	0,7388	117,975	2,789	0,77	
67,268	0,7398	116,17	2,818	0,778	
70,66	0,7408				

Réseau ascendant type P₃, turbulent
Rugueux, torrentiel, subnormal

L_i	h_i	b_i^{i-1}	k_i	h_{ui}	Δh
73,653	0,7418	114,60	2,843	0,7846	
		113,2			
76,373	0,7428	111,918	2,867	0,7906	
		110,725	2,888	0,7964	
81,235	0,7448	109,604	2,909	0,8018	
83,454	0,7458	108,543	2,929	0,807	
85,562	0,7468	107,532	2,948	0,8119	
87,577	0,7478	106,563	2,966	0,8167	
89,510	0,7488	105,632	2,9845	0,8214	
91,573	0,7498	104,734	3,00	0,826	
93,173	0,7508	103,965	3,019	0,8305	
94,917	0,7518	103,02	3,036	0,8349	
96,61	0,7528	102,20	3,0525	0,8392	
98,257	0,7538	101,404	3,0688	0,8434	
99,862	0,7548	100,627	3,0845	0,8476	
101,429	0,7558	99,867	3,1007	0,8518	
102,96	0,7568	99,124	3,1164	0,8559	
104,458	0,7578	98,396	3,132	0,8599	
105,926	0,7588	97,683	3,147	0,8639	
107,365	0,7598	96,9842	3,1627	0,8679	
108,777	0,7608	96,298	3,1779	0,8719	
110,164	0,7618	95,623	3,193	0,8758	
111,527	0,7628	94,959+	3,208	0,8797	
112,868	0,7638	94,307	3,223	0,8836	
114,188	0,7648		3,2378	0,8875	

Réseau ascendant, type P₃, turbulent
Rugueux, torrentiel, subnormal

L_i	h_i	b_i^{i-1}	k_i	h_{ui}	Δh
115,678	0,7658	93,664	3,3525	0,8914	
		93,032	3,2673	0,8952	
116,768	0,7668	92,408	3,282	0,899	
118,031	0,7678	91,792	3,2966	0,903	
119,276	0,7688	91,1857	3,311	0,9067	
120,505	0,7698	90,587	3,326	0,9104	
121,718	0,7708	89,995	3,34	0,9142	
122,916	0,7718	89,4112	3,355	0,918	
124,099	0,7728	88,834	3,3694	0,9218	
125,269	0,7738	88,2636	3,3839	0,9256	
126,425	0,7748	87,6995	3,3984	0,9294	
127,5689	0,7758	87,1417	3,413	0,9332	
128,70	0,7768	86,5897	3,4274	0,93695	
129,82	0,7778	86,044	3,442	0,9407	
130,926	0,7788	85,503	3,456	0,9445	
132,023	0,7798	84,968	3,4708	0,9483	
133,108	0,7808	84,438	3,485	0,9521	
134,184	0,7818	83,913	3,50	0,956	
135,249	0,7828	83,393	3,5144	0,957	
136,304	0,7838	82,877	3,529	0,963	
137,35	0,7848	82,366	3,544	0,967	
138,387	0,7858	81,86	3,558	0,9712	
139,414	0,7868	81,358	3,573	0,975	
140,433	0,7878	80,86	3,587	0,9787	
141,444	0,7888				

Remous ascendant type P₃, turbulent
Rugueux, torrentiel, subnormal.

L_i	h_i	b_i^{f-1}	k_i	h_{ui}	Δh
142,446	0,7898	80,366	3,602	0,9825	
		79,877			
143,441	0,7908		3,6168	0,9864	
		79,391			
144,428	0,7918		3,632	0,990	
		78,909			
145,407	0,7928		3,646	0,9941	
		78,432			
146,379	0,7938		3,661	0,9979	
		77,955			
147,343	0,7948		3,676	1,002	
		77,484			
148,3	0,7958		3,691	1,006	
		77,016			
149,251	0,7968		3,706	1,0096	
		76,551			
150,194	0,7978		3,721	1,0135	
		76,09			
151,132	0,7988		3,735	1,0175	
		75,632			
152,063	0,7998		3,751	1,0214	
		75,176			
152,987	0,8008		3,766	1,025	
		74,724			
153,906	0,8018		3,781	1,029	
		74,275			
154,818	0,8028		3,796	1,033	
		73,829			
155,725	0,8038		3,812	1,037	
		73,386			
156,626	0,8048		3,827	1,041	
		72,945			
157,521	0,8058		3,842	1,045	
		72,507			
158,411	0,8068		3,858	1,049	
		72,072			
159,290	0,8078		3,873	1,053	
		71,639			
160,174	0,8088		3,889	1,057	
		71,21			
161,048	0,8098		3,905	1,062	
		70,782			
161,917	0,8108		3,920	1,066	
		70,357			
162,781	0,8118		3,936	1,07	
		69,935			
163,639	0,8128		3,952	0,1,074	

Remous ascendant type P₃, turbulent
Rugueux, torrentiel, subnormal

L_i	h_i	b_i^{f-1}	k_i	h_{ui}	Δh
164,493	0,8138	69,515	3,968	1,078	
		69,097			
165,343	0,8148		3,984	1,082	
		68,681			
166,187	0,8158		3,9999	1,0865	
		68,268			
167,027	0,8168		4,016	1,0907	
		67,857			
167,863	0,8178		4,032	1,095	
		67,448			
168,694	0,8188		4,0485	1,099	
		67,042			
169,521	0,8198		4,065	1,104	
		66,637			
170,343	0,8208		4,08	1,108	+ 0,01
		66,235			
171,162	0,8218		4,098	1,112	
		64,70			
172,047	0,8318		4,198	1,136	
		60,297			
186,664	0,8418		4,363	1,182	
		56,637			
193,97	0,8518		4,548	1,2305	
		53,120			
201,00	0,8618		4,747	1,283	
		49,7307			
207,789	0,8718		4,9604	1,339	
		46,455			
214,356	0,8818		5,190	1,400	
		43,287			
220,723	0,8918		5,442	1,468	
		40,204			
226,907	0,9018		5,716	1,542	
		37,211			
232,923	0,9118		6,018	1,625	
		34,299			
238,783	0,9218		6,355	1,717	
		31,46			
244,491	0,9318		6,731	1,822	
		28,692			
250,069	0,9418		7,158	1,943	
		25,9906			
255,508	0,9518		7,645	2,084	
		23,354			
260,818	0,9618		8,210	2,251	
		20,780			
265,998	0,9718		8,875	2,454	

3. Vidange de fond

Cet ouvrage a pour but :

- abaisser le niveau de la retenue en cas de nécessité
- d'effectuer des chasses d'eau rapides
- d'évacuer une partie du débit pendant les crues exceptionnelles (évacuateur auxilliaire)

3.1 - calcul hydraulique de la vidange de fond

Vu les données relatives de l'apport, le volume vidangé sera fixer à 20 % du volume utile du réservoir.

Pour la vidange rapide, un délai de 21 jours a été fixer.

Procédé de calcul :

$$V_{vid} = 0,2 \cdot V_u$$

$$V_{vid} = 17,8 \cdot 10^6 \text{ m}^3$$

Le débit correspondant est de :

$$Q_{vid} = 9,81 \text{ m}^3/\text{s}$$

en prenant un diamètre de 2600 mm, pour la conduite de vidange (la vitesse d'écoulement à l'intérieur de cette conduite est évaluée à : $v = 3,12 \text{ m/s}$)

La valeur de la vitesse obtenue est admissible, puisqu'elle se trouve dans la gamme de la vitesse probable (3 à 4) m/s

b. Prise d'eau

L'ouvrage est destiné pour un prélèvement d'un débit, utiliser soit pour alimenter une ville, soit pour irriguer un périmètre. Pour notre cas, le débit prélevé est destiné pour alimenter la ville "GUANZA".

b.1 - calcul hydraulique

Pour un débit de pointe de : $Q_p = 0,188 \text{ m}^3/\text{s}$

le diamètre correspondant sera :

$$d = \left(\frac{h \cdot Q_p}{\pi \cdot v} \right)^{\frac{1}{2}}$$

A.U. :

$d = 469 \text{ mm}$ pour une vitesse découlement $v = 1 \text{ m/s}$

le diamètre normalisé est de :

$$d = 500 \text{ mm}$$

La vitesse d'écoulement est :

$$v = 0,957 \text{ m/s}$$

Tes conduites, de vidange de fond et celle de la prise d'eau emprunteront le tracé de la galerie situé dans la rive droite du site.

b.2 - dispositif de la prise d'eau

La prise d'eau sera constituée d'une tour en béton, inclinée et reposant sur le versant droit (versant à forte pente). Le dispositif assurant le prélèvement d'eau est constitué d'ouvertures situées à différentes côtes. Ceci permet l'alimentation sans avoir à manœuvrer des vannes ou des robinets soumis aux aleas d'érosion.

L'alimentation d'eau s'effectue par 5 conduites posées sur un socle en béton de diamètre 500 mm chacune. Ces conduites vont déboucher dans une chambre de manœuvre en béton, au dessus des ouvertures sont protégées par des grilles coulissant des vannes-batardeaux au moyen des rails.

(voir planche n° 7 et n° 8)

4.3 - nature des conduites

La conduite de vidange de fond sera en beton armé à double armatures équipée par une ame de tôle. Cette conduite reposera sur des butées en beton, dimensionnées et disposées de telles façon, la pression qui s'exerce sur la conduite soit équitablement répartie.

Pour utiliser l'espace offert par la galerie, la conduite de vidange sera enterrée, couverte par une couche de sable.

Sur la partie supérieure, on aménage une dalle de beton sur laquelle sera disposer la conduite de prise d'eau. Cette conduite est en acier, une protection de la conduite contre l'effet de la corrosion est nécessaire; cette protection est assurée par une couche de peinture.

5 ;. Coût - Estimation

L'estimation du coût de l'ouvrage permet de faire une analyse économique.

Le tableau qui suit nous donne les coûts approximatifs de l'ouvrage.

- Estimation des coûts

Désignation	Unité	Quantité	Prix unit.	Prix total (ch.DA)
Décapage	m ³	100000	70	7,00
Excavation + la dérivation provisoire	m ³	340.000		300
Cloppau	m ³	150000	160	24,0
Recharge barrage + digue de cd	m ³	930000	120	111,6
Filtre	m ³	50250	170	8,50
Déversoir + canal d'évacuat°	m	150 265		60,0
Enrochement	m ³	65975	160	10,5
Feise d'eau avec équipement	—	deux diamètres de 2m et 0,5m - vidange Rapide - A.E.P	—	5,00

256.6

taux d'anci 30% 076.98

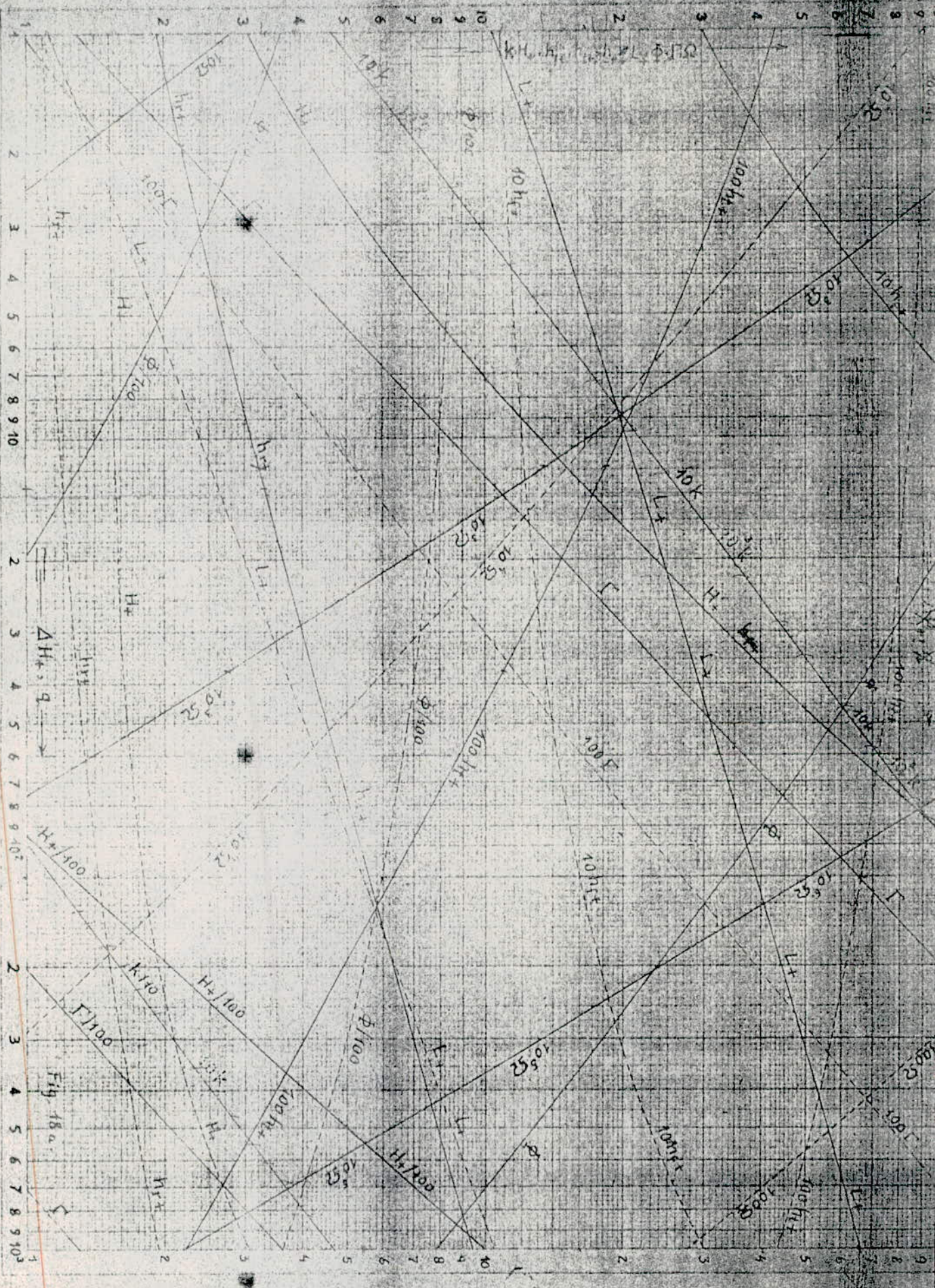
333.58 MDA

CONCLUSION

Conformement au but de cette presente these, et sur la base des études qualitatives et quantitatives ,on peut dire que la faisabilite d'un barrage sur l'oued Mellague est techniquement realisable. Par consequent, ce projet modifiera considerablement le regime hydrologique de l'oued dans la mesure où les degats causés par les crues et par la secheresse seront considerablement reduits .

Dans le cadre de l'aménagement hydraulique ,on doit prévoir une lutte efficace et planifiée contre les effets nuisibles de l'érosion hydrique ;pour cette raison, il est souhaitable de prévoir un aménagement integral du bassin versant, afin de pouvoir pallier les degats qui découlent de la perte du sol utile des surfaces ,d'une part et de la perte causée par la diminution de la capacite utile de la retenue provoquée par l'envasement d'autre part .

-0-0-0-0-0-0-0-0-0-0-



000000000 - REFERENCES - 000000000

000000000 - B I B L I O G R A P H I E - 000000000

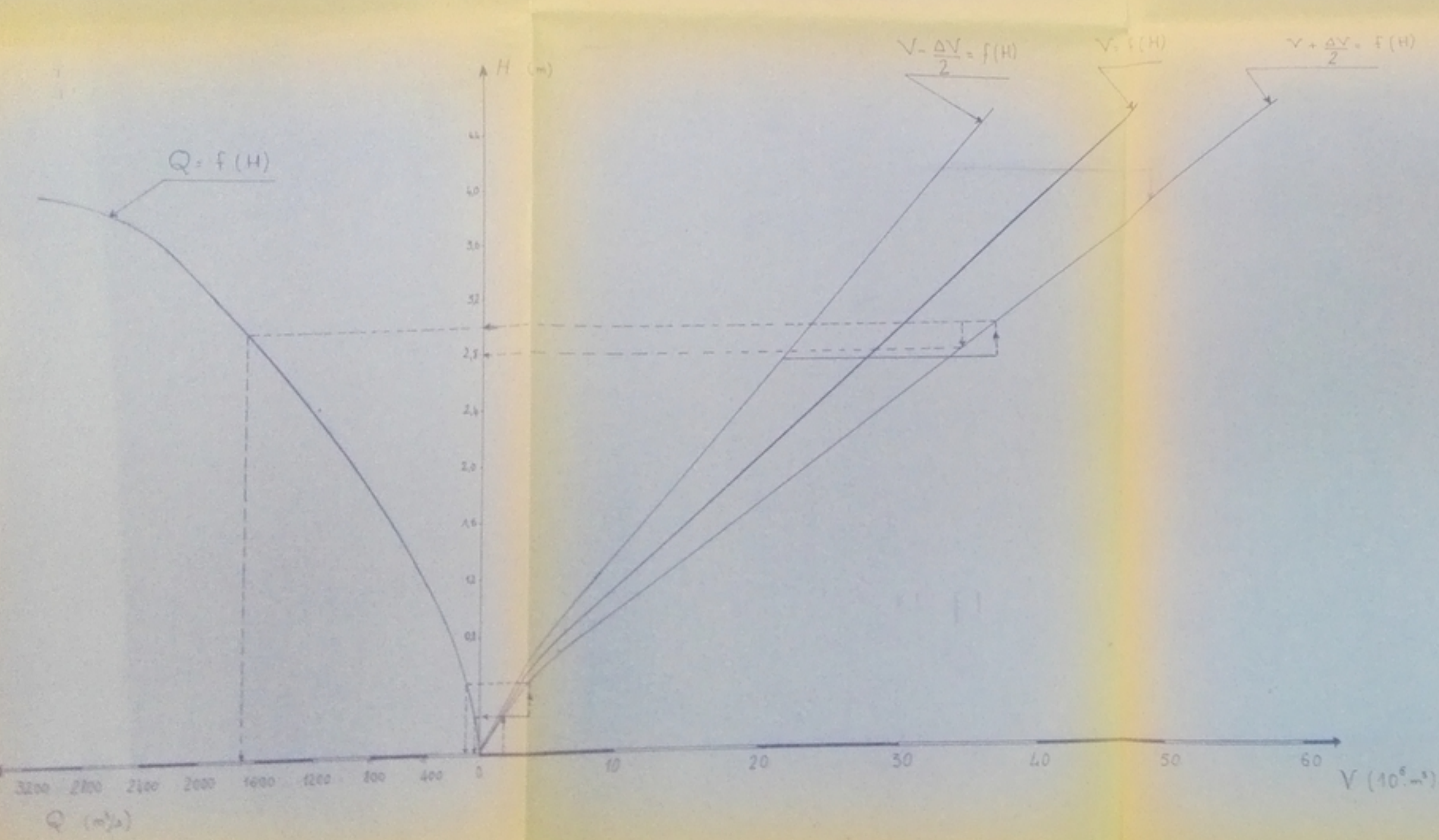
- REMENIERAS . G : Elements d'hydrologie de l'ingénieur
- SCHNEEBELI . G : Hydraulique souterraine
- = LAPRAY . G : Théorie de la longueur fluidodynamique
- CARLIER . M : Hydraulique générale et appliquée
- ROCHE . M : Hydrologie de surface
- E.N.P.A : These de fin d'études (année : 84:85)
- BELEKONEV . E : Barrages en matériaux locaux

COUPE GÉOLOGIQUE DE LA CUVETTE

Alluvions granuleuse

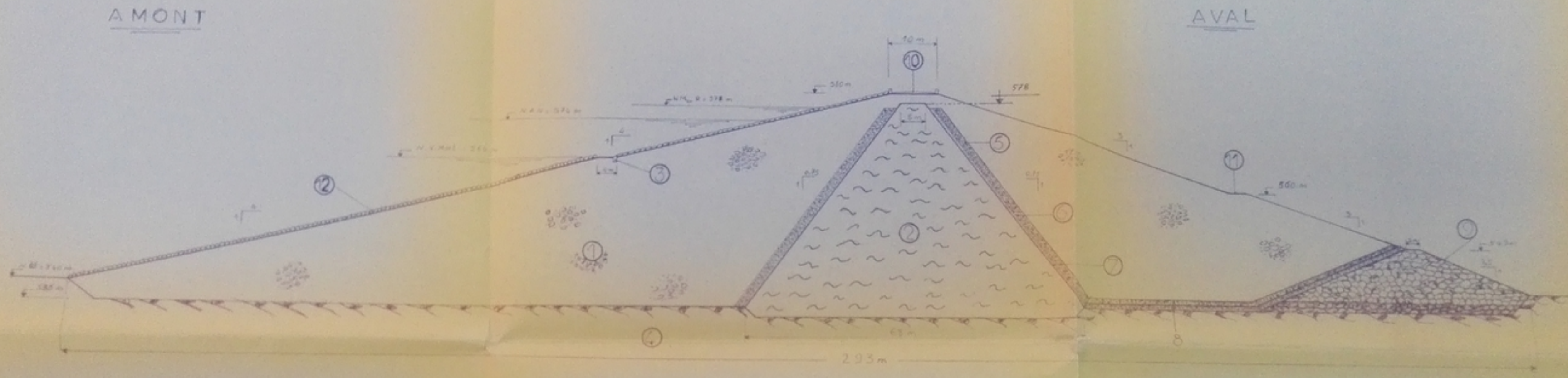
Marnes de Courteigrise
et grès grisâtre et marnocalcaires
C^{5b}

DETERMINATION DE LA LAME D'EAU DEVERSEE



Δt (s)	1-2	2-3	3-4	4-5	5-6	6-7	7-8	8-9	9-10	10-11	11-12	12-13	13-14	14-15	15-16	16-17	17-18	18-19	19-20	20-21	21-22	22-23	23-24	24-25	25-26	26-27	27-28	28-29	29-30	30-31	31-32	32-33	33-34	34-35	35-36	36-37	37-38	38-39	39-40	40-41	41-42	42-43	43-44	44-45	45-46	46-47	47-48	48-49	49-50	50-51	51-52	52-53	53-54	54-55	55-56	56-57	57-58	58-59	59-60	60-61	61-62	62-63	63-64	64-65	65-66	66-67	67-68	68-69	69-70	70-71	71-72	72-73	73-74	74-75	75-76	76-77	77-78	78-79	79-80	80-81	81-82	82-83	83-84	84-85	85-86	86-87	87-88	88-89	89-90	90-91	91-92	92-93	93-94	94-95	95-96	96-97	97-98	98-99	99-100	100-101	101-102	102-103	103-104	104-105	105-106	106-107	107-108	108-109	109-110	110-111	111-112	112-113	113-114	114-115	115-116	116-117	117-118	118-119	119-120	120-121	121-122	122-123	123-124	124-125	125-126	126-127	127-128	128-129	129-130	130-131	131-132	132-133	133-134	134-135	135-136	136-137	137-138	138-139	139-140	140-141	141-142	142-143	143-144	144-145	145-146	146-147	147-148	148-149	149-150	150-151	151-152	152-153	153-154	154-155	155-156	156-157	157-158	158-159	159-160	160-161	161-162	162-163	163-164	164-165	165-166	166-167	167-168	168-169	169-170	170-171	171-172	172-173	173-174	174-175	175-176	176-177	177-178	178-179	179-180	180-181	181-182	182-183	183-184	184-185	185-186	186-187	187-188	188-189	189-190	190-191	191-192	192-193	193-194	194-195	195-196	196-197	197-198	198-199	199-200	200-201	201-202	202-203	203-204	204-205	205-206	206-207	207-208	208-209	209-210	210-211	211-212	212-213	213-214	214-215	215-216	216-217	217-218	218-219	219-220	220-221	221-222	222-223	223-224	224-225	225-226	226-227	227-228	228-229	229-230	230-231	231-232	232-233	233-234	234-235	235-236	236-237	237-238	238-239	239-240	240-241	241-242	242-243	243-244	244-245	245-246	246-247	247-248	248-249	249-250	250-251	251-252	252-253	253-254	254-255	255-256	256-257	257-258	258-259	259-260	260-261	261-262	262-263	263-264	264-265	265-266	266-267	267-268	268-269	269-270	270-271	271-272	272-273	273-274	274-275	275-276	276-277	277-278	278-279	279-280	280-281	281-282	282-283	283-284	284-285	285-286	286-287	287-288	288-289	289-290	290-291	291-292	292-293	293-294	294-295	295-296	296-297	297-298	298-299	299-300	300-301	301-302	302-303	303-304	304-305	305-306	306-307	307-308	308-309	309-310	310-311	311-312	312-313	313-314	314-315	315-316	316-317	317-318	318-319	319-320	320-321	321-322	322-323	323-324	324-325	325-326	326-327	327-328	328-329	329-330	330-331	331-332	332-333	333-334	334-335	335-336	336-337	337-338	338-339	339-340	340-341	341-342	342-343	343-344	344-345	345-346	346-347	347-348	348-349	349-350	350-351	351-352	352-353	353-354	354-355	355-356	356-357	357-358	358-359	359-360	360-361	361-362	362-363	363-364	364-365	365-366	366-367	367-368	368-369	369-370	370-371	371-372	372-373	373-374	374-375	375-376	376-377	377-378	378-379	379-380	380-381	381-382	382-383	383-384	384-385	385-386	386-387	387-388	388-389	389-390	390-391	391-392	392-393	393-394	394-395	395-396	396-397	397-398	398-399	399-400	400-401	401-402	402-403	403-404	404-405	405-406	406-407	407-408	408-409	409-410	410-411	411-412	412-413	413-414	414-415	415-416	416-417	417-418	418-419	419-420	420-421	421-422	422-423	423-424	424-425	425-426	426-427	427-428	428-429	429-430	430-431	431-432	432-433	433-434	434-435	435-436	436-437	437-438	438-439	439-440	440-441	441-442	442-443	443-444	444-445	445-446	446-447	447-448	448-449	449-450	450-451	451-452	452-453	453-454	454-455	455-456	456-457	457-458	458-459	459-460	460-461	461-462	462-463	463-464	464-465	465-466	466-467	467-468	468-469	469-470	470-471	471-472	472-473	473-474	474-475	475-476	476-477	477-478	478-479	479-480	480-481	481-482	482-483	483-484	484-485	485-486	486-487	487-488	488-489	489-490	490-491	491-492	492-493	493-494	494-495	495-496	496-497	497-498	498-499	499-500	500-501	501-502	502-503	503-504	504-505	505-506	506-507	507-508	508-509	509-510	510-511	511-512	512-513	513-514	514-515	515-516	516-517	517-518	518-519	519-520	520-521	521-522	522-523	523-524	524-525	525-526	526-527	527-528	528-529	529-530	530-531	531-532	532-533	533-534	534-535	535-536	536-537	537-538	538-539	539-540	540-541	541-542	542-543	543-544	544-545	545-546	546-547	547-548	548-549	549-550	550-551	551-552	552-553	553-554	554-555	555-556	556-557	557-558	558-559	559-560	560-561	561-562	562-563	563-564	564-565	565-566	566-567	567-568	568-569	569-570	570-571	571-572	572-573	573-574	574-575	575-576	576-577	577-578	578-579	579-580	580-581	581-582	582-583	583-584	584-585	585-586	586-587	587-588	588-589	589-590	590-591	591-592	592-593	593-594	594-595	595-596	596-597	597-598	598-599	599-600	600-601	601-602	602-603	603-604	604-605	605-606	606-607	607-608	608-609	609-610	610-611	611-612	612-613	613-614	614-615	615-616	616-617	617-618	618-619	619-620	620-621	621-622	622-623	623-624	624

PROFIL TYPE
DE LA DIGUE EN TERRE



LEGENDES

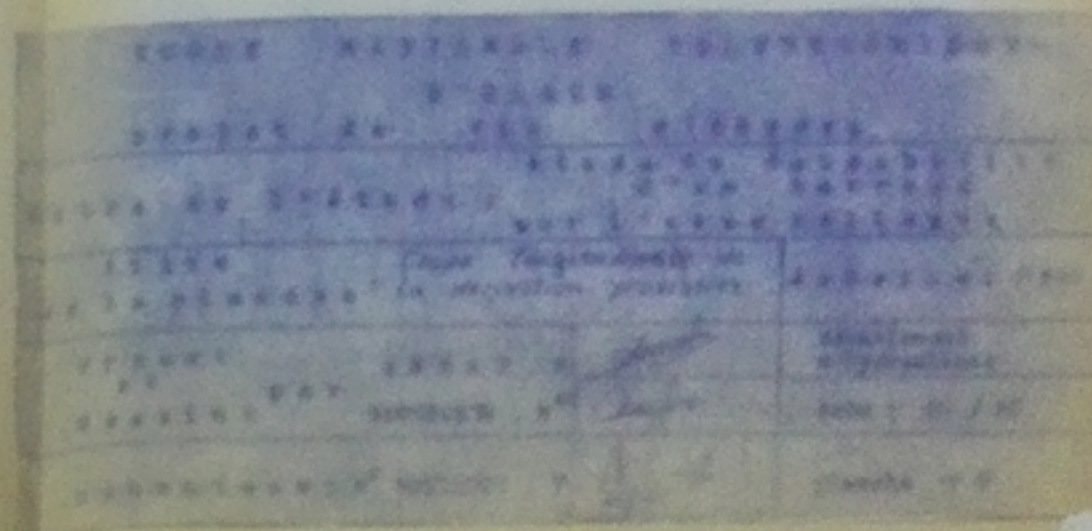
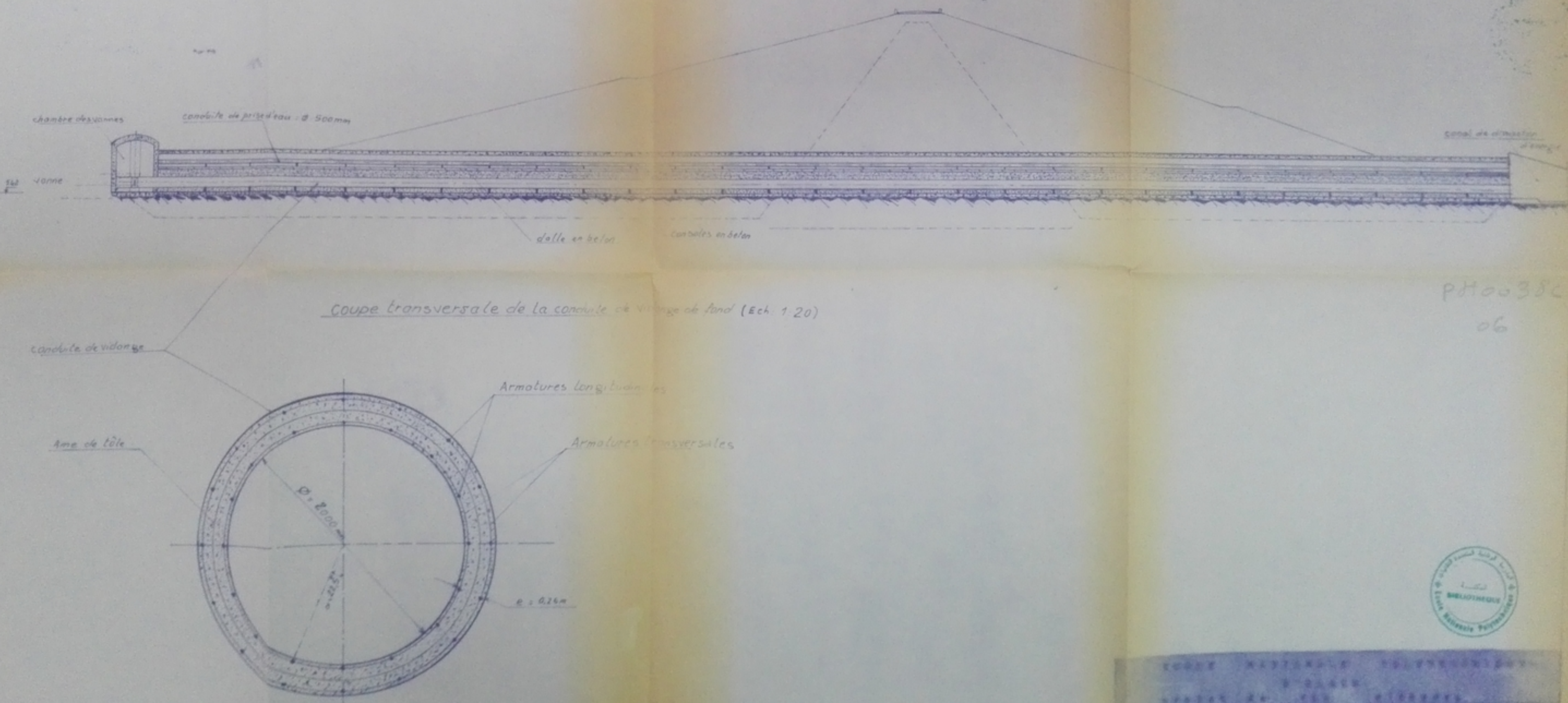
- (1) Recharge "corps du barrage" en alluvions, coefficient de perméabilité $K_2 = 1 \cdot 10^{-6} \text{ cm/s}$
- (2) Noyau en argiles, coefficient de perméabilité $K_1 = 0,6 \cdot 10^{-9} \text{ cm/s}$
- (3) Butée en béton
- (4) Fondation en Marnes, résistance à la compression $R_c = 80 \text{ MPa}$
- (5) Graviers, épaisseur de la couche 0,40 m (F₁)
- (6) Sables gros, épaisseur de la couche 0,30 m (F₂)
- (7) Sables fin, épaisseur de la couche 0,30 m (F₃)
- (8) Filtre horizontal avec constitution granulométrique : (F₁, F₂, F₃) épaisseur 1m
- (9) Prisme de drainage en enrochement,
- (10) Route aménagée au niveau de la crête du barrage, Largeur 8m.
- (11) Risberme, Largeur 3m
- (12) Rip-rap : enrochement épaisseur de 0,5m (protection talus Amont)



ÉCOLE NATIONALE POLYTECHNIQUE	
Projet n° 174	échelle 1:500
taille de l'étude r	taille de l'étude r
sur l'ouvrage	sur l'ouvrage
taille Profil type de la	échelle 1:500
de la plancher digue en terre	échelle 1:500
dimensions	dimensions



COUPE LONGITUDINALE DE LA DERIVATION
PROVISOIRE



ANNEXE : REVERSEMENT DU DISPOSITIF DE LA CLOISON



COURBE LONGITUDINALE DU CANAL D'EVACUATION

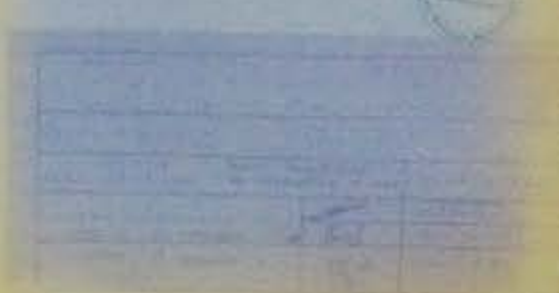
Distance de la rive	Hauteur d'eau	Hauteur d'assèchement
0 m	11.12	10.12
Distance amont		

Distance de la rive	Hauteur d'eau	Hauteur d'assèchement
0 m	11.12	10.12
Distance aval		

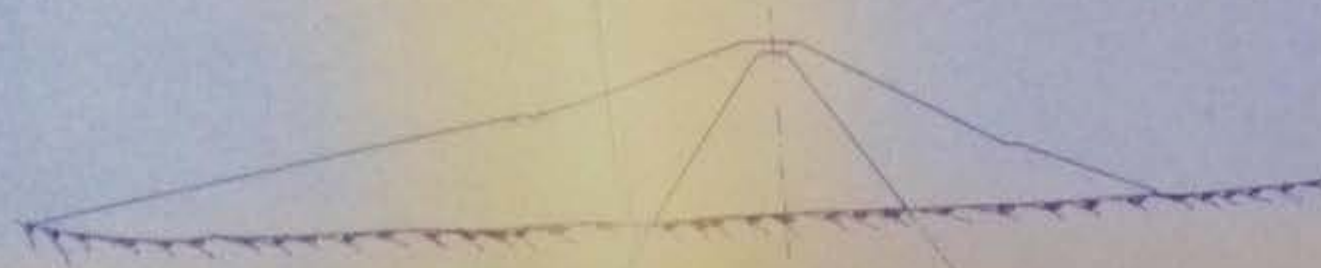


Distance de la rive	Hauteur d'eau	Hauteur d'assèchement
0 m	11.12	10.12
Distance amont		

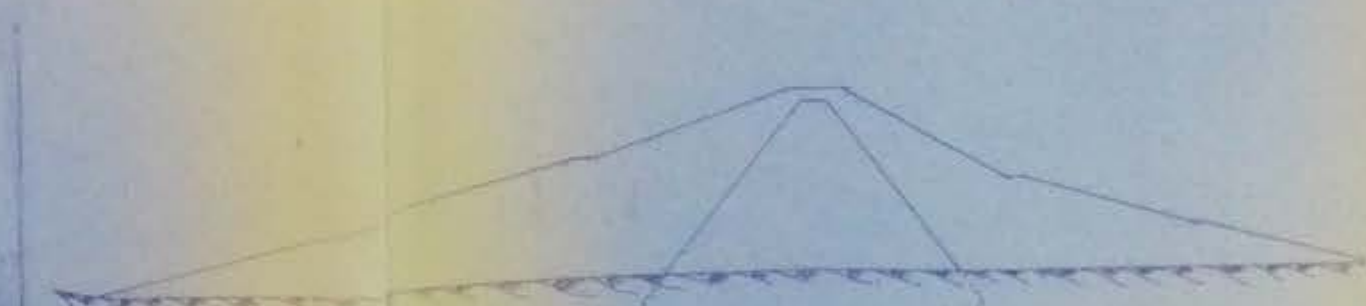
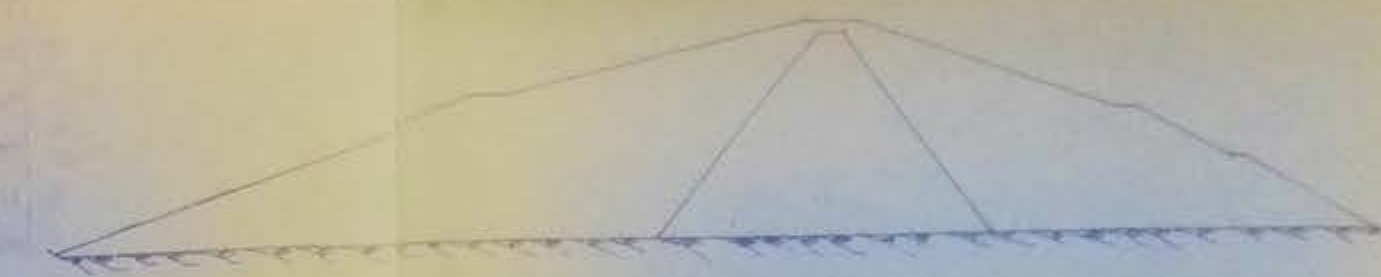
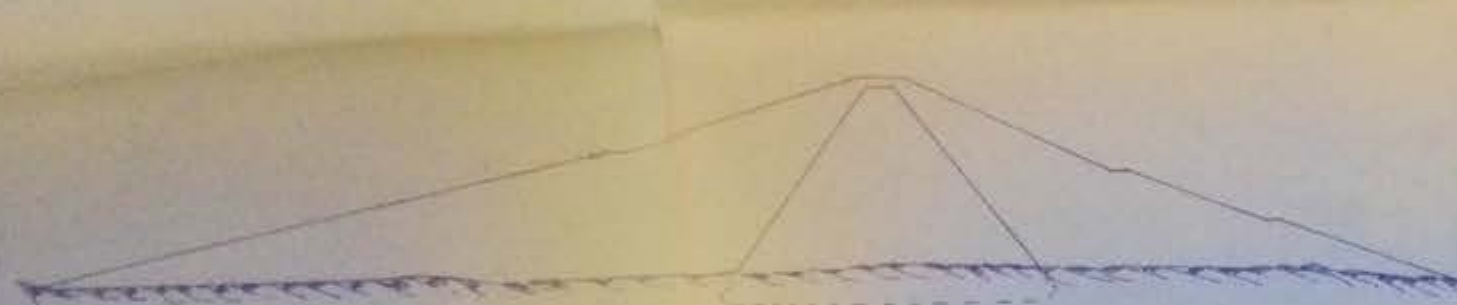
Distance de la rive	Hauteur d'eau	Hauteur d'assèchement
0 m	11.12	10.12
Distance aval		



SECTIONS TRANSVERSALES DE LA DIGUE



PK 003 86
10.



ECOLE NATIONALE POLYTECHNIQUE D'ALGER

PROJET DE FIN D'ETUDES

Titre de l'étude: ETUDE DE FEASIBILITE D'UN BARRAGE SUR L'OUED MELLEGUE

Titre du Dessin: COUPE TRANSVERSALE DE LA DIGUE

Echelle 1/1000

Dessiné par: ABDESSALAH BENHEDDAD
Dessiné le: 01/01/1965

Reverché par: DABOUDIY
Date: 01/01/1965

Reverché par: DABOUDIY

Date: 01/01/1965

PH 00386

- 41 -

CARTE DE L'ERODABILITE
pour la protection contre l'erosion Hydrolique
BASSIN DE L'OUED MELLEGUE
Code 12

DRESSEE PAR M. HUSSON A LA DEMRH

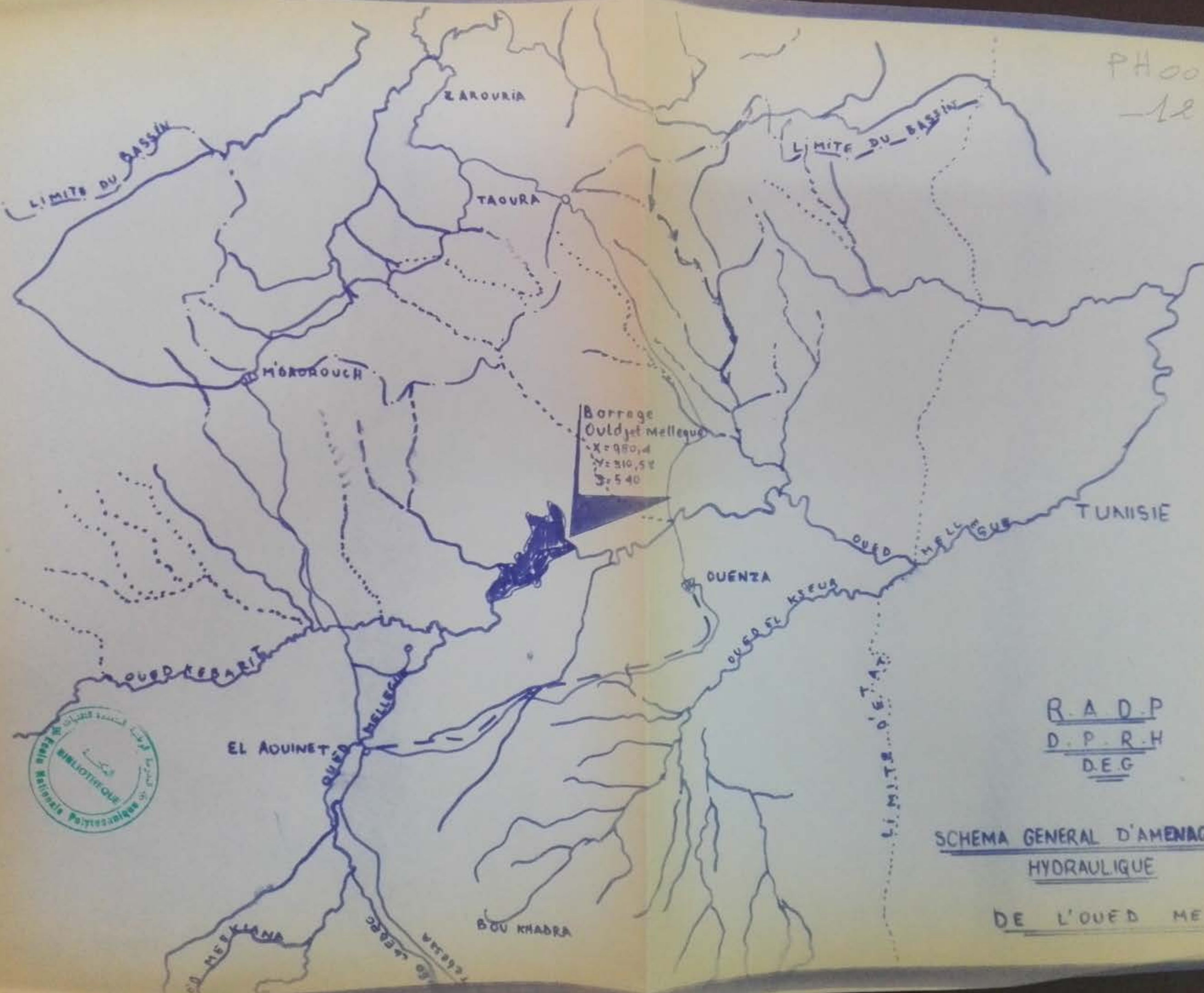
Erosion faible à modérée	Erosion pluviale embryonnaire lessivage, ruissellement	2236 km ² 53,8 %
Erosion modérée à forte	Erosion pluviale lessivage, ruissellement diffus et concentré	4440 km ² 30 %
Erosion très forte généralisée	Ruisseaulement généralisé bad lands, mouvement de masse, érosion de berge, éboulement	330 km ² 1,2 %

principaux secteurs de sapements de berges
E zone d'épannage et d'accumulation

Echelle 1/100 000
0 1 2 3 4 5 10 15 km



PH 00336
- 12 -



R.A.D.P.
D.P.R.H
D.E.G

SCHEMA GENERAL D'AMENAGEMENT
HYDRAULIQUE
DE L'OUED MELLEGUE

